

MINISTERUL EDUCAȚIEI SI ÎNVĂȚAMINȚULUI
INSTITUTUL POLITEHNIC „TRAIAN VUIA” TIMIȘOARA
FACULTATEA DE MECANICĂ AGRICOLĂ

Ing.IONACU NICULAE

CONTRIBUȚII TEORETICE SI DE PREGĂTITARE PRIVIND
TRANSPORTUL PNEUMATIC AL NUTRIȚIUNILOR CONCENTRATE
MACINATE, ÎN CONDUCTE ORIZONTALE

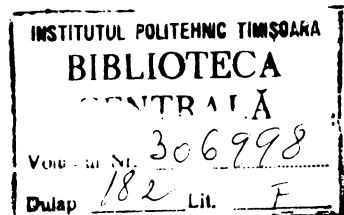
TEZA DE DOCTORAT
în vederea obținerii titlului de doctor în științe

BIBLIOTECĂ CENTRALĂ
UNIVERSITATEA "POLITEHNICA"
TIMIȘOARA

CONDUCATOR ȘTIINȚIFIC

Prof.dr.doc.ing.CAPROIU STEFAN

- 1975 -



M O T A T I I

A - aria secțiunii transversale a conductei (m^2);

A_k , B , B_1 , C , ..., f_1 , f_2 , P , Q , a' , Z - constante;

c , c_n - coeficient de rezistență frontală a unei particule aferice și a unei particule neaferice;

D - diametrul conductei de transport (m);

d - diametrul particulei de material (m);

f - coeficient de frecare;

F_f - forță de frecare (N);

F_i - forță de inerție (N);

Fr - numărul lui Froude pentru viteza aerului; $Fr = v_a / \sqrt{g \cdot D}$

Fr_n - numărul lui Froude pentru viteza medie a particulelor de material; $Fr_n = v_m / \sqrt{g \cdot D}$;

g - acceleratia gravitațională ($m \cdot s^{-2}$);

G_a - greutatea aerului (N);

G_m - greutatea materialului (N);

H_a - pierderea de presiune produsă de aerul curat ($N \cdot m^{-2}$);

H_m - pierderea de presiune produsă de particulele de material ($N \cdot m^{-2}$);

H_t - pierderile totale de presiune ($N \cdot m^{-2}$);

k - coeficientul lui Gasterstaedt;

L - lungimea conductei (m);

l_s - lungimea saltului unei particule după ciocnirea cu peretele conductei (m);

m - masa particulei de material (kg);

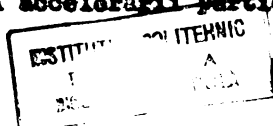
N_p - numărul de particule într-un volum delimitat;

P₁, P₂ - presiunea aerului în diferite puncte ale conductei de transport ($N \cdot m^{-2}$);

Δp - pierderea de presiune totală pentru o porțiune delimitată din conductă de transport ($N \cdot m^{-2}$);

Δp_{ac} - pierderea de presiune datorită frecării aerului pe peretele conductei ($N \cdot m^{-2}$);

Δp_{na} - pierderea de presiune datorită accelerării particulelor solide ($N \cdot m^{-2}$);



Δp_{mc} - pierderea de presiune datorită frecăriri și cicoanirii particulelor de material cu peretele conductei ($N.m^{-2}$);

Δp_{mn} - pierderea de presiune datorită frecăriri și cicoanirii particulelor de material între ele ($N.m^{-2}$);

q_a - debitul de aer ($Kg.s^{-1}$);

q_m - debitul de material ($Kg.s^{-1}$);

Re - numărul lui Reynolds pentru aer; $Re = v_a D / \nu$;

Re_m - numărul lui Reynolds pentru material; $Re_m = v_m D / \nu$;

S_1 - factorul de alunecare;

T - forța de reținere produsă de frecarea particulelor de material pe conductă (N);

t - timpul (s);

U - forța de reținere produsă de cicoanirea particulelor (N);

v_a - viteza medie a aerului în conductă de transport ($m.s^{-1}$);

v_o - viteza locală a aerului în conductă de transport ($m.s^{-1}$);

$v_{a\ max}$ - viteza maximă a aerului în conductă de transport ($m.s^{-1}$);

v_m - viteza medie a particulelor de material în conductă de transport ($m.s^{-1}$);

v_{m0} - viteza locală a particulelor de material în conductă de transport ($m.s^{-1}$);

v_{ma} , v_{mr} , v_{mt} - componenta axială, radială și tangențială a vitezei locale a particulelor de material în conductă de transport ($m.s^{-1}$);

v'_a , v'_m - viteza unei particule de material înainte și după cicoanire cu peretele conductei ($m.s^{-1}$);

v_p - viteza relativă a particulelor de material în conductă de transport; $v_p = v_a - v_m$ ($m.s^{-1}$);

v_p - viteza de plutire a particulelor de material ($m.s^{-1}$);

V - volumul specific al aerului din conductă de transport în condiții fizice normale ($m^3.kg^{-1}$);

x , y - coordonatele unei particule în conductă de transport;

α , θ - unghiuri (grad)

γ_a - greutatea specifică a aerului ($J.m^{-3}$);

γ_m - greutatea specifică a materialului ($N.m^{-3}$);

ν - viscozitatea cinematică a aerului ($m.s^{-2}$);

λ_{ac} - coeficient de rezistență datorită frecăriei aerului cu peretele conductei;

λ_{se} - coeficient de rezistență datorită frecării și cicoenirii particulelor de material cu peretele conductei;

λ_{ss} - coeficient de rezistență datorită frecării și cicoenirii între particule;

μ - concentrația gravimetrică ($\text{Kg} \cdot \text{Kg}^{-1}$);

ψ - coeficient de presiune a aerului;

ρ_a - densitatea aerului ($\text{Kg} \cdot \text{m}^{-3}$);

ρ_m - densitatea materialului ($\text{Kg} \cdot \text{m}^{-3}$);

ρ_{av} - densitatea medie a particulelor într-un volum elementar de conductă ($\text{Kg} \cdot \text{m}^{-3}$);

$\xi_0 + \xi_f$ - coeficienți de cicoare a particulelor solide;

η_u - coeficient de utilizare a energiei.

INTRODUCERE

Instalațiile de transport pneumatic, au reușit în ultimii ani, să se afirme în domenii de utilizare variate și numeroase, ajungind la un grad de dezvoltare care nu poate să fie explicat, decit prin avantajele evidente și certe acopre oricărui alt mijloc de transport cunoscut pînă în prezent.

Antualele instalații de transport pneumatic oferă o siguranță în exploatare atît de mare, încit se observă o tendință marcată de a fi folosite ca mijloace de bază în numeroase procese tehnologice și din agricultură, cum ar fi în fabricile de întrepruniri combinate, la diferite mașini și instalații agricole, în silozuri etc.

Această acțiune se inseră pe linia înălțuirii de mutații radicale în agricultură, în direcția transformării acesteia într-o variantă a muncii industriale, obiectiv important prevăzut în Programul Partidului Comunist Român de făurire a societății sociale multilateral dezvoltate și înălțare a României spre comunism, elaborat de cel de al XI-lea Congres, care presupune în primul rînd, creșterea cantitativă și îmbunătățirea calitativă a mijloacelor de mecanizare a proceselor de muncă din acest domeniu.

Înlăturarea acestui obiectiv, trebuie să asigure continuarea tot mai deplină a noilor mereu crescînde de produse agricole ale economiei naționale, să favorizeze dezvoltarea armonioasă și echilibrată pe ansamblu și în profil teritorial și întregii economii și să creze condițiile necesare pentru omogenizarea societății noastre sociale, pentru ridicarea continuă a bunăstării întregului popor și apropierea tot mai strînsă a condițiilor de muncă și de viață dintre cele două medii ale existenței noastre sociale.

Pentru traducerea în viață a celor arătate mai sus, se depun eforturi susținute în cercetarea științifică, în proiectare și execuție, pentru stabilirea soluțiilor corespunzătoare din punct de vedere tehnic și economic, privind crearea unor mașini și instalații care să satisfacă pe deplin cerințele producției agricole.

In această direcție de efort comun, se încadrează și

prezentă tocănd de doctorat, care prin conținutul său aduce o importantă contribuție la studiul teoretic și experimental al transportului pneumatic al surtoarelor concentrate măcinante, în cadrul arisorașale cu secțiune circulară, pentru stabilirea regimului optim de funcționare a instalațiilor ce folosesc acest sistem de transport.

Extinderea instalațiilor de transport pneumatic în agricultură, este cunoscătoare printre altele de faptul că ele permit automatizarea procesului tehnic, cî se pot invinge unele diferențe de nivel, cî impuritățile de dimensiuni mici disper din medial înconjurător al instalațiilor de transport etc.

În toate acestea, transportul pneumatic este privit încă cu o anumită rezervă. În ceea unei documentații tehnice adecvate, face ca în unele cazuri proiectantii să supradimensioneze instalațiile de transport pneumatic a surtoarelor concentrate măcinante, ajungindu-se astfel la consumuri ridicate de energie pe tonă de material transportat. În alte situații, instalațiile proiectate nu funcționează satisfăcător datorită alegerii greșite a soluțiilor constructive.

Studiile teoretice și experimentale, efectuate pînă în prezent în domeniul transportului pneumatic, nu au spus și nici nu au rezolvat complet toate problemele ridicate de dimensiunile optime a instalațiilor de transport pneumatic. Mai mult, aceste studii nu s-au extins asupra surtoarelor concentrate măcinante, care datorită proprietăților fizico-mecanice, prezintă particularități distincte privind transportul lor pneumatic.

Inerțile de specialitate, tratează numai anumite aspecte sau probleme ale transportului pneumatic, clarificînd în general calitativ, dar numai în parte și cantitativ fenomenele ce se produc în cazul acestui sistem de transport. Această lucru este atestat de faptul că în prezent, nu există o metodă care să permită dimensionarea unei instalații de transport pneumatic, numai din considerente pur teoretice. Din această cauză sunt necesare încă date însomnate atât teoretice cât și experimentale care să completeze pe cele actuale, lucru care ar face posibil în final, sinteza lor în relații matematice cu domeniul larg de aplicării în transportul pneumatic.

Tehnicile actuale oferă date care permit realizarea unei instalații de transport pneumatic sigure în exploatare, chiar

dacă nu și cele mai economice. Această lucru este valabil pentru anumite domenii industriale și mai puțin pentru sectorul agricol, deoarece pentru transportul pneumatic al nutrețurilor concentrate măcinante, proiectanții sunt obligați să adopte încă, valori prin comparație cu cele cunoscute din rezultatele unor cercetări care au folosit pentru încercările experimentale, materiale ca: praf de cărbune, ciment, nisip, rumegus de lemn, diverse produse chimice granulate etc. – deci aproximativ – întrucât literatura de specialitate nu oferă date care pot sta la baza dimensionării corecte a instalațiilor de transport pneumatic a nutrețurilor concentrate măcinante.

În acest context prezentul studiu teoretic și experimental al transportului pneumatic al principalelor nutrețuri concentrate măcinante, în conducte orizontale cu secțiune circulară, are scopul de a analiza factorii care conditionează optimizarea unei instalații de transport pneumatic și de a exprima dependența lor în relații matematice valabile pentru materialele folosite în cadrul experimentărilor și pentru regimurile de transport utilizate. Astfel, autorul având în vedere particularitățile pe care le prezintă nutrețurile concentrate măcinante în timpul transportului pneumatic, își propune:

– să stabilească o metodă de calcul a pierderilor de presiune cauzate de aceste materiale, în conductă de transport;

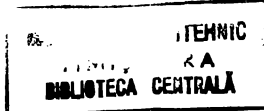
– să stabilească dependența vitezei particulelor de nutră concentrat măcinat, în funcție de viteză curentului de aer;

– să determine pe cale experimentală mărimea coeficientului global de rezistență la deplasarea nutrețurilor concentrate măcinante, în conductă de transport;

– să determine gradul de utilizare a energiei curentului de aer în cazul transportului pneumatic al acestor nutrețuri, în conducte orizontale.

De asemenei, autorul prin determinarea mărimilor unor caracteristici fizico-mecanice ale nutrețurilor concentrate măcinante, folosite în cadrul proceselor tehnologice din fabricile de nutrețuri combinate, valori indispensabile pentru interpretarea cu acuratețe a rezultatelor încercărilor experimentale proprii, va oferi date sigure și complete serviciilor de concepție, unde se proiectează instalații de transport pneumatic pentru astfel de materiale.

Autorul aduce mulțumiri conducătorului științific prof.dr.doc.ing.CAPROIU GHEORGHE, pentru orientarea în cercetare, pentru prețioasele indicații și sprijinul acordat în elaborarea tezei de doctorat și își exprimă profundă recunoștință.



SPATIUL ACTUATOR AL CERCETARII PENTRU TRANSPORTUL PNEUMATIC IN CONDITII DE AZONALE

CAPITOLUL I

DINAMICA PARTICULILOR SOLIDE IN CONDITII DE TRANSPORT PNEUMATIC

Observarea atentă a fenomenelor ce se produc în cadrul curentilor disperși de tipul aer - particule solide, acotează în evidență particularitatea caracteristică a existenței componentelor, minimum două și acțiunile lor reciproce.

Analizând acțiunea mecanică și hidroscopică dintre aer și particulele solide, în urma căreia se produc modificări calitative ale mediului dispers, mulți cercetători [6, 14, 19, 32, 45, 47, 48, 62, 74, 92, 100, 106, 118, 122, 125 și alții] au stabilit că pentru curentii disperși pot exista trei regimuri principale și anume:

a. Strat penetrant fix, caracterizat prin faptul că numai aerul se află în mișcare, particulele solide răminind în repaus;

b. Strat pseudolichidat, la care sub acțiunea mișcării aerului se realizează și mișcarea hastică a particulelor solide, dar fără antrenarea lor în direcția de deplasare a aerului;

c. Transportul pneumatic, care reprezintă un caz particular al curentului cu două componente total disperseate, cind sensul de mișcare al celor două componente coincide, iar viteză aerului depășește viteză de deplasare a particulelor solide.

Fundamental se deosebesc două posibilități de transport pneumatic: prin pluitire, cind particulele pot face și deplasări verticale față de direcția de înaintare și prin fluidizare, la care deplasarea laterală a particulelor, este limitată de particulele vecine.

Prezentul studiu se efectuează nu mai asupra transportului pneumatic prin pluitire, procedeu folosit în cadrul instalațiilor folosite în agricultură.

Mecanismul de ridicare și antrenare a particulelor

de material în curentul de aer, precum și legea de distribuție a particulelor în secțiunea unei conducte orizontale au constituit obiectul mai multor cercetări.

Aștea, K.-trahovici [12], P.G.Zuev [125] și alții, în baza cercetărilor efectuate au stabilit că pentru procesul de transport pneumatic, este caracteristic regimul de curgere turbulent. Îl au demonstrat că la mișcarea cu turbulentă mare, în apropierea fundului conductei, curentul este discontinuu și se par pulsări de presiuni, adică fenomenul care împiedică lumenarea curentului pe suprafața conductei, formându-se turbioni de fund. Acești turbioni determină deplasările verticale ale zeseelor de aer și apariția forței de ascensiune datorită căreia semințele sunt ridicate în curentul de aer și adunămate de către acesta în direcția de transport. Forța gravitațională face apă ca particulele de material să ajungă din nou la partea inferioară a conductei orizontale, unde se rostogolesc pe o distanță scurtă (fig.1).

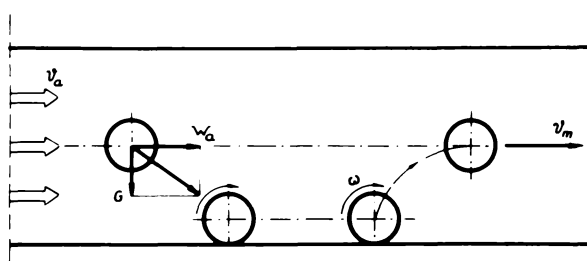


Fig.1. Traекторia unei particule de material în conductă orizontală de transport

Apoi procesul se repetă. În felul acesta transportul pe orizontală cuprinde o mișcare în salturi a particulelor după curbe apropiate de parabole. Încercările efectuate de Zuev P.G. cu semințe de grâu au scos în evidență faptul că salturile sunt cu atât mai mari, cu cât se alege mai mare viteza de transport a aerului. Rotirea semințelor în conductă este explicită prin faptul că în apropierea peretelui conductei, viteza curentului de aer este mai mică (fig.2).

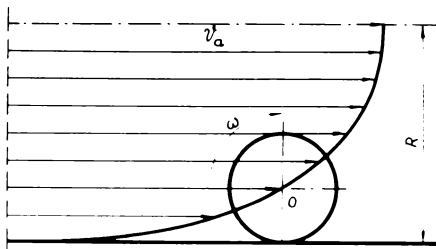


Fig.2. Influența vitezei curentului de aer asupra par-
ticulei de material

Din această cauză se imprimă particulelor o mișcare de rotație, care crește și sub influența frecării de rostogolire pe partea inferioară a conductei.

În lucrările lor, B.I.Roumštien [14] și Y.E.Todes [105], fac observația că explicația dată de K.J.Strahovici asupra mecanismului transportului pe orizontală a particulelor solide este incompletă. Apariția forței ascendențe, după ei, este condiționată de componentele vitezelor de natură pulsatorie a curentului de aer, care există nu numai în stratul din vecinătatea conductei ci în toată masa curentului.

După A.Juharev [45], la o anumită viteză a curentului de aer, specifică fizicării particule, acestea nu mai vin în contact cu peretele inferior și se deplasează de-a lungul axei conductei. Dacă însă viteză curentului de aer este redusă, particulele nu mai execută salturi, ci se deplasează continuu prin alunecare sau rostogolire pe peretele inferior al conductei. Juharev a cercetat acest proces cu ajutorul filmării rapide, dar în cadrul experiențelor a folosit numai particule convenționale singulare, condiții care nu redau situația reală din conductă de transport orizontală.

M.Soloviev, într-una din lucrările sale [101], pe baza cercetărilor efectuate cu ajutorul filmării rapide în conducte orizontale, afirmă că mecanismul suspensiei particulelor trebuie considerat dependent de neomogenitatea cimpului de viteză a aerului, ceea ce se manifestă mai ales în domeniul învecinat peretilor.

Astfel traiectoria fiecărei particule se asemănă cu o curbă sinusoidală a cărei axă coboară o dată cu reducerea vitezei particulei. Golovlev a urmărit acest proces în conducte cu diametrul de 60, de și 125 mm, la concentrații gravimetrice $\mu \in [0; 10]$.

În concluzie, rezultă că forța care produce ridicarea particulei de material de pe fundul conductei depinde de viteză aerului. Astfel, la viteză mici ale curentului de aer, ridicarea particulei, aproape dispără, materialul lăsând pe fundul conductei. Așa se poate explica distribuția neuniformă a particulelor în secțiunile conductei, ceea ce se observă mai ales la viteză mici ale curentului de aer.

1.1. Dinamica particulelor solide în conducta de transport orizontal, în zona de accelerare

În zona de accelerare a unei conducte orizontale, în casul transportului pneumatic, dacă particulele de material sunt introduse perpendicular pe axa conductei în care circulă un curent de aer cu viteză v_a , fiecare particulă este accelerată de la $v_{so} = 0$ la $v_{so} = v_a$.

Pentru obținerea variației vitezei particulei în funcție de timp, în perioada de accelerare mai mulți cercetători, pornind de la ipoteze de bază diferite privind fenomenul ce se produce în această perioadă, au ajuns la expresii matematice diferite ale acestei ecuații.

Astfel, L. Papai [77] tratează această problemă, considerind că forțele care acționează asupra unei particule în perioada de accelerare sunt:

- forța propulsată aerodinamică;

$$F_a = \frac{\rho}{2g} (v_a - v_{so})^2 \cdot f_0 \cdot \psi \quad (1)$$

- forța de reținere datorită ciocnirii, care este proporțională cu energia cinetică a particulei;

$$U = \frac{\rho}{2} m_1 \frac{v^2}{2} \quad (2)$$

- forța de inertie, care reacționează numai în zona de accelerare a particulei;

$$F_i = m_1 \cdot a = m \frac{dv}{ds} \quad (3)$$

În acest caz, ecuația de echilibru a acestor forțe este:

$$W_a = U + F_1 \quad (4)$$

Considerind că ψ și v_a sunt constante, L.Papai a scris ecuația vitezei particulelor de material sub forma:

$$v_{m0} = \frac{v_a}{1 + \beta} \cdot \frac{1 - e^{-\alpha t}}{1 - \delta e^{-\alpha t}} \quad (5)$$

în care:

$$\alpha = v_a \sqrt{\frac{F_c r_a f_0 \psi}{m_1 \epsilon}} \quad (6)$$

$$\beta = \sqrt{\frac{r_a \cdot m_1 \cdot g}{r_a \cdot f_0 \cdot \psi}} \quad (7)$$

$$\delta = \frac{1 - \beta}{1 + \beta} \quad (8)$$

În baza relației (5) L.Papai a reprezentat variația vitezei boabelor de gru într-un curent de aer cu $v_a = 30$ m/s (fig.3).

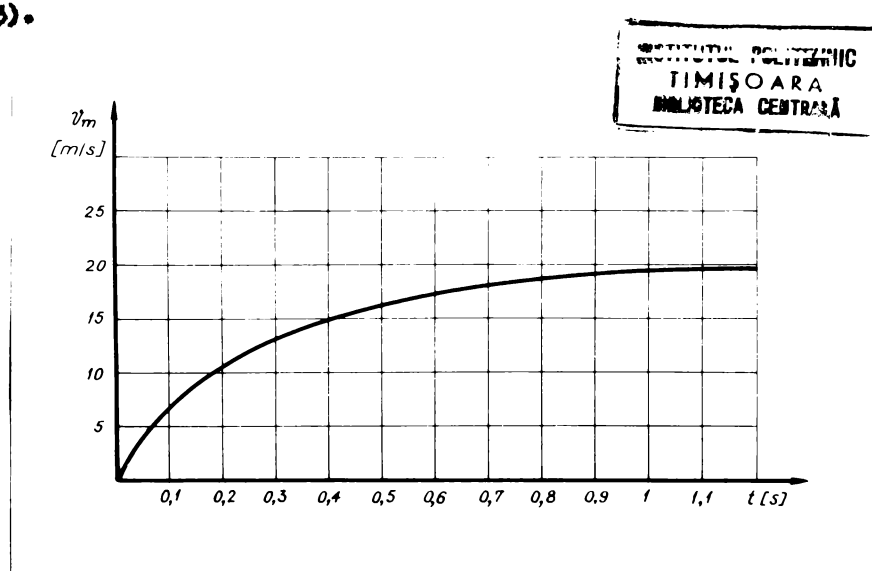


Fig.3. Dependență $v_{m0} = f(t)$ pentru boabe de gru, într-un curent de aer cu $v_a = 30$ m/s

Din această reprezentare grafică a variației vitezei

particulei de material în perioada de accelerare în cazul unei conducte orizontale, reiese faptul că viteza bobului de griu se apropie asymptotic de valoarea de regim $v_{m_0} \rightarrow v_m$, ceea ce teoretic se întimplă după un timp infinit de lung.

Alți cercetători cum sunt P.Chand și D.Ghosh¹⁹ pornind de la ecuația mișcării unei particule entrate într-o mișcare accelerată de un curent de aer exprimată prin relație:

$$a_a = \rho_a \frac{c \cdot f_0(v - v_a)}{2m} \quad (9)$$

considerînd că în timpul mișcării particulelor intervin rezistențe cauzate de: greutatea particulelor, frecarea dintre particule și perete, frecarea dintre particule, lovirea dintre particule și perete. În baza acestor ipoteze acești cercetători indică următoarea relație pentru calculul vitezei v_m :

$$v_m = \frac{\alpha - R}{\alpha + R} \cdot \frac{1 - e^{-2\alpha(t+C_1)}}{1 + e^{-2\alpha(t+C_1)}} \quad (10)$$

în care:

$$\alpha = \sqrt{\frac{P_d}{R} + \frac{R^2}{P_d}} \quad (11)$$

$$C_1 = \frac{1}{2} \log \frac{\alpha + R}{\alpha - R} \quad (12)$$

$$P_d = \frac{\rho_a \cdot c \cdot f_0 \cdot v_a}{2m} - g \cdot f_0 \quad (13)$$

$$R = \frac{f_{10}}{D} = \frac{a \cdot c \cdot f_0}{2m} \quad (14)$$

$$g = \frac{v_a \cdot \rho_a \cdot c \cdot f_0}{2m} \quad (15)$$

Ecuția (10) exprimă valoarea vitezei particulelor la un timp t - pentru deplasarea în conducte orizontale sau inclinate, nu numai pentru zona de accelerare ci și pentru zona de regim stabilitat. Întrucătă zonei de regim stabilisat ($t \rightarrow \infty$) se obține:

$$v_a = \sqrt{\frac{4}{3} f_c \cdot g \cdot \frac{\rho_a \cdot d}{\rho_a \cdot c}} + v_m (1 + \sqrt{\frac{4}{3} \frac{f_{10} \cdot d \cdot \rho_a}{g \cdot D \cdot \rho_a}}) \quad (16)$$

Verificată experimental numai pentru orez, noi și niciună relație (16) a scos în evidență variația liniară a vitezei particulelor solide în funcție de viteză curentului de aer numai într-un anumit domeniu de variație al vitezei v_g , pentru care s-au făcut determinările.

Distribuția cimpului de viteze a curentului de aer în conductă de transport este exprimată prin relația:

$$v_{ay} = v_a \max \left(\frac{y}{R} \right)^{1/n} \quad (17)$$

iar vitesa maximă a curentului de aer se poate determina cu ajutorul relației:

$$v_a \max = v_a \frac{(n+1)(2n+1)}{2n^2} \quad (18)$$

Din expresiile (17) și (18) rezultă viteză aerului la distanță y de la axul conductei:

$$v_{ay} = v_a \frac{(n+1)(2n+1)}{2n^2} \left(\frac{y}{R} \right)^{1/n} \quad (19)$$

în care:

n – coeficient ce depinde de numărul lui Reynolds;

R – raza conductei de transport.

Din expresie (19) rezultă că valoarea minimă a vitezei curentului de aer, este lingă peretele conductei și maximă în axa conductei de transport, lucru pus în evidență prin încercările lor experimentale, de mulți cercetători în acest domeniu.

1.2. Dimenziunea particulelor solide în conductă de transport, în zona de regim stabilizat

Zona de regim stabilizat este considerată porțiunea din conductă de transport, în care viteză particulelor solide este constantă și viteză aerului suficient de mare pentru a avea o repartiție uniformă a particulelor în secțiunea conductei.

Din lucrările existente care tratează această problemă se desprind două concluzii diferite, potrivit cărora viteză particulelor de material în condițiile regimului stabilizat este dată în funcție de viteză curentului de aer prin raportul v_p/v_a [6, 32, 47, 53, 98, 113, 114, 122, 124] pentru cazul cind v_g = constant, în timp ce a două concluzie exprimă viteză particulelor solide prin intermediul vitezei de alunecare ($v_g - v_m$) [17, 73, 85, 115] care rămâne constantă în timp.

In literatură se găsesc următoarele afirmații privind viteza particulelor pentru zona de regim stabilizat a unei conducte orizontale cu secțiune circulară:

- După M.P.Kalimukhin [47]

$$\frac{v_R}{v_a} \approx 1 \quad (20)$$

- După A.I.Karpov [49], A.Smolodirev [93] și alții:

$$\frac{v_R}{v_a} = \alpha < 1 \quad (21)$$

- După Gasterstaedt [115] :

$$\frac{v_R}{v_a} = \alpha_R = \frac{b}{v_a} \quad (22)$$

- După S.F.Richardson [86] :

$$\frac{v_R}{v_a} = 1 - \frac{v_p}{v_a (0,463 + 2,3 \cdot v_p / \beta_m)} \quad (23)$$

- După V.Prajak [83] și G.Weltchoff [122] :

$$\frac{v_R}{v_a} = 1 - \frac{1}{1 + Fr \sqrt{\beta/2}} \quad (24)$$

O astfel de contradicție în ceea ce privește rezultatele date de diferiți autori, indică fie o cunoaștere insuficientă din punct de vedere teoretic a problemei, fie dificultatea experiențelor și în general precizia mică a metodelor folosite.

Pentru stabilirea pe cale teoretică a ecuației vitezei particulelor solide în regim stabilizat, A.Vavra [115] consideră că asupra particulelor aplicate în acest regim de mișcare, acțiunile să următoarele forțe:

F_a - forță cu care acționează aerul de transport asupra particulei, în cazul cînd aceasta este înconjurată de aer;

G - componenta greutății particulei în direcția axei conductei;

T - rezistență la înaintare a particulei prin conductă creată de frecarea și ciocnirea particulelor de peretii conductei și a frecările între particule.

Valoarea forței F_a poate fi exprimată prin relația:

$$F_a = c \cdot f_0 \cdot \beta_a (v_a - v_m)^2 \quad (25)$$

Aproape toate contradicțiile care se găsesc în litera-

tura de specialitate cu privire la mărimea forței τ_a sunt în legătură cu valoarea coeficientului de rezistență frontală c .

In general acest coefficient depinde de modul în care aerul de transport inconjoară particula, deci de calitățile particulei (forma, suprafața, orientarea în curentul de aer etc.) precum și de calitățile de plutire (numărul lui Reynolds, intensitatea turbulentei, raportul de ocolire al particulei $\frac{d}{d_p}$).

Deoarece acest coefficient este studiat în general pe particule de formă sferică, pentru particule nesferice se propune expresia:

$$c_n = \psi_p \cdot c \quad (26)$$

în care:

ψ_p – coeficientul particulei nesferice;

c_n – coeficientul de rezistență unei particule nesferice.

O exprimare analitică generală a funcției $c = f(\text{Re}_p)$ nu este cunoscută. Din această cauză unii autori încearcă cel puțin pînă la o lîmită să approximeze cu ajutorul numărului lui Reynolds această funcție. Astfel în lucrarea lui A.Vavra [115] sunt date următoarele expresii:

– aproximarea după Gasterstaedt:

$$c = \frac{12}{\text{Re}_p} + \frac{2}{\sqrt[3]{\text{Re}_p}} \quad (27)$$

– aproximarea după I.Kuiriagov:

$$c = \frac{2,15}{\lg \text{Re}_p} \quad (28)$$

– aproximarea după V.Lobnev:

$$c = 0,2 + \frac{20}{\text{Re}_p} \quad (29)$$

– aproximarea după A.Vavra:

$$c = 0,204 + \frac{29,2}{\text{Re}_p} \quad (30)$$

Acstea aproximări au fost făcute de autori în baza experimentelor cu semințe de grâu, praf de cărbune sau nisip. Rezultă că autrele concentratii năcinate nu au făcut obiectul unor cercetări nici sub acest aspect.

Avinî în vedere că în general $\beta_a \ll \beta_m$, componenta greutății după axa conduselui, este dată de relația:

$$C = M \cdot g \cdot \sin \theta \quad (31)$$

In ceea ce privește rezistența la înaintare a particulei în conductă - T -, V.Prajak [83] afirmă că este proporțională cu energia cinetică a particulei și invers proporțională cu diametrul conductei, adică:

$$T = \frac{C}{\rho} \frac{m \cdot v^2}{2d} \quad (32)$$

în care:

C - coeficientul de rezistență la înaintare a particulei în conductă.

Concepțiile cercetătorilor asupra acestui coeficient sunt diferite.

M.Lempp [61] îl privește ca o constantă fără a avea un sens fizic. J.V.Urban [21] arată că pentru transportul boabeelor de gru într-o conductă cu $\rho = 0,102$ m coeficientul C depinde de viteza aerului de transport v_a . După G.Weidner [121] valoarea coeficientului C depinde de calitatea suprafeței conductei și a particulei precum și de elasticitatea acestora. După V.Prajak [83], C depinde de unghiul de înclinare al conductei, de concentrația aerului transportat, de diametrul conductei și de raportul v_s/v_a . O dependență concretă însă, nu se dă. J.Urban [113] precizează că coeficientul C depinde de intensitatea loviturilor particulelor transportate, de peretele conductei și valoarea dată de el pentru conductă orizontală este mai mare decât pentru cea verticală. Această diferență dispare numai la viteze mari ale aerului de transport, cind forța de presiune este mai mare decât forța gravitațională și particulele sunt distribuite uniform într-o secțiune transversală a conductei de transport.

În baza acestor ipoteze A.Vavra [115] a dedus următoarea relație:

$$\frac{v_s}{v_a} = \frac{1 + \frac{b}{2a \cdot \beta_0} \sqrt{(1 + \frac{b}{2a \cdot \beta_0})^2 - (1 - \lambda_0 \frac{d}{\rho} \frac{1}{3a \psi} \frac{\rho}{\beta_0})^2}}{1 - \lambda_0 \frac{d}{\rho} \frac{1}{3a \psi} \frac{\rho}{\beta_0}} \quad (33)$$

în care:

$$b = 1 + \frac{d}{a \cdot \lambda_0} - \frac{2}{3a \psi} \frac{\Delta F}{R_e^2} (\sin \alpha + \frac{v_0}{v_a} \cos \alpha) \quad (34)$$

$$\Delta F = \rho d^3 \beta_0 (\sqrt{3} \beta_0)^{-1} \quad (35)$$

Relația (33) dedusă de A. Vavra, poate fi aplicată pentru conducte orizontale, inclinate sau verticale. Se poate constata însă că utilizarea ei în practică este dificilă.

Cercetările lui H. Muschelknaust [73] sunt utile în practică, deoarece în afara de explicarea matematică a fenomenelor ce se produc în perioada de regim stabilizat, stabilesc și mărimele coeficienților experimentali pentru o serie de materiale ca: semințe de grâu, coco, cuant, huiliu.

După părere sa, forțele care acționează asupra noului de material existent într-o conductă orizontală, sunt următoarele:

- forța propulsivă a aerului exprimată într-o formă simplificată:

$$\frac{U}{a} = \beta \left(\frac{V_a - V_p}{V_p} \right)^2 \quad (36)$$

- forța de rezinare produsă de ciocnirea materialului de peetele conductei:

$$U = \frac{G}{\rho \cdot D} \cdot \frac{V_p^2}{2} \lambda_s^x \quad (37)$$

- forța de rezinare produsă de frecarea materialului pe conductă:

$$T = \beta \cdot a \quad (38)$$

În acest caz ecuația de echilibru are forma:

$$\frac{U}{a} - U - T = 0 \quad (39)$$

În baza acestei relații, considerind materialul uniform repartizat în conductă, la viteze pentru care $\beta = 0$, H. Muschelknaust a stabilit ecuația pentru determinarea vitezei materialului sub formă:

$$\frac{V_a}{V_p} = \frac{1}{1 + \sqrt{\frac{3 \rho_p}{2}} \sqrt{\frac{1}{\lambda_s^x} - \frac{1}{\lambda_z^x}}} \quad (40)$$

Relația (40) este valabilă numai pentru particule de material având dimensiuni $> 2 \text{ mm}$ și pentru viteze relative care dau $Re_f < 2 \cdot 10^5$.

1.3. Concluzii

Analizând metodele folosite de cercetători pentru stabilirea dinamicii particulelor solide, în zona de accelerare și în zona de regim stabilizat, a unei conducte orizontale

le cu secțiune circulară, se desprind următoarele concluzii.

- Dinamica particulelor solide nu este rezolvată satisfăcător. Metodele de calcul folosite în prezent, au un domeniu limitat de aplicabilitate, fiind condiționate de coeficienți stabiliți experimental pentru anumite regimuri de funcționare și pentru anumite materiale ca: zăriște de gru, coca, cuarț, bile de sticlă, huilă. Rezultă că pentru autrețurile concentrate măcinante este necesar să se stabilizeze o ecuație cu ajutorul căreia să se determine viteza materialului în conductă de transport, pentru regimul de mișcare stabilizat.

- În metoda propusă, L.Papai nu se ocupă de determinarea coeficientului de rezistență F_c decit pentru cazul particulei al transportului pneumatic al boabeilor de gru. De asemenea nu indică modul cum a fost determinat acest coeficient și nici erorile afectate de măsurători asupra acestui coeficient. De asemenea L.Papai, nu separă forța de reținere datorită greutății materialului, de cea datorită ciocnirilor. Pentru transportul pe orizontală, influența greutății materialului este inclusă în coefficientul F_c . Or, mulți cercetători, în lucrările lor [7, 8, 15, 45, 62, 73, 87, 89, 121, 122] au stabilit că influența greutății materialului, depinde de viteza curentului de aer. Din această cauză afirmația lui L.Papai despre coeficientul F_c că este o caracteristică a materialului, trebuie limitată numai în domeniul vitezelor ridicate de transport și pentru raportele v_p/v_a reduse.

- Metoda propusă de P.Chand și D.Ghosch, poate fi considerată mai completă decareea ecuația (1c) recomandată de ei pentru calculul vitezei particulei în plan orizontal, poate fi folosită și pentru conducte inclinate, atât pentru zona de accelerare cât și pentru zona de regim stabilizat. Metoda prezintă însă inconvenientul că necesita un calcul analitic greu, iar pentru coeficienții experimentalii utilizati nu indică modul de determinare al lor. Trebuie remarcat de asemenea faptul că cei doi autori au verificat ecuația (1c) numai pentru materiale ca nele, erau și nicii pentru care au stabilit că legătura dintre viteza curentului de aer v_a și viteza particulelor de material v_p este liniară, dar nu trebuie prin origine.

- Resolvarea numerică a ecuației (3c) propusă de A. Vavra pentru mișcarea particulelor în conductă de transport, în regim stabilizat, este dificilă și nu este suficient de convins-

gătoare în ceea ce privește influența anumitor factori și transportului pneumatic asupra dinamicii particulelor. Nici acest autor nu și-a extins aria încercărilor experimentale decât pentru esențe de gru. Astfel, se poate afirma că metoda propusă are un domeniu limitat de aplicabilitate, nefiind verificată și pentru alte materiale cum sunt nutrețurile concentrate micinante, care prezintă particularități deosebite de cele ale esențelor de gru.

- Metoda de calcul propusă de E.Muschelinkausa, este valabilă numai pentru materiale granulate cu diametrul $d > 2$ mm și pentru viteze relative care dau numărul lui Reynolds $Re_p < 2 \cdot 10^5$. Este evident că metoda nu poate fi folosită și în cazul transportului pneumatic al nutrețurilor concentrate micinante, deoarece acestea nu se inseră în condițiile de valabilitate ale ecuației (4). E.Muschelinkausa indică metoda de determinare a coeficientului λ_g^x precizând că cercarea de determinare este evaluată la circa 2%, ceea ce considerăm că este neacușător.

- Numărul mare de relații, recomandate de diferiți cercetători pentru raportul v_g/v_s , indică fie o cunoaștere insuficientă din punct de vedere teoretic a problemei, fie dificultățile experiențelor și în general precizia mică a metodelor folosite.

rezultă că pentru nutrețurile concentrate micinante, sunt necesare cercetări noi, pentru a se putea stabili sărimea raportului v_g/v_s în cazul transportului pneumatic în conduse orizontale cu secțiune circulară a acestor materiale, utilizate în fabricile de nutrețuri combinate.



CAPITOLUL 2

STUDIUL PIERDERILOR DE PRESIUNE IN CONDITIILE TRANSPORTULUI PROAVENTIV AL PARTICULULOR SOLIDI, IN CONDUCTE ORIZONTALE

Pierderile de presiune de-a lungul unei conducte orizontale, constituie una din problemele fundamentale ale transportului pneumatic, care a stat în atenția mulțor cercetători [1, 6, 9, 12, 17, 18, 20, 21, 27, 32, 37, 47, 50, 62, 72, 74, 85, 86, 87, 93, 94, 95, 97, 99, 109, 113, 117, 121, 122 și alții]. În mareea majoritate a acestor lucrări, autori au stabilit relații empirice între diferenți parametrii care condiționează pierderile de presiune, relații care nu pot fi utilizate în cas general.

Deglă s-a încercat să se sintetizeze rezultatele acestor lucrări, nu s-a obținut pînă în prezent o concluzie general valabilă, privind calculul pierderilor de presiune. Ceea ce prezintă interes, este faptul că, toți cercetătorii au considerat că pierderile totale de presiune (Δp) se compun din pierderile de presiune cauzate de deplasarea aerului în conductă orizontală (Δp_a) și pierderile de presiune cauzate de deplasarea materialului (Δp_m) în timpul transportului pneumatic.

2.1. Pierderile de presiune datorită deplasării acerului în conductă de transport

In cazul deplasării aerului într-o conductă orizontală cu secțiune circulară constantă, pierderile de presiune sunt produse de frecarea curentului de aer de pe rîuri conductei. Acest fenomen a fost exprimat de mai mulți cercetători [6, 74, 85, 94 și alții] sub formă:

$$\Delta p_a = \lambda_1 \frac{L}{D} \cdot \frac{v^2}{2g} \quad (41)$$

Pentru coeficientul de rezistență λ_1 , care depinde de numărul lui Reynolds, rugositatea și diametrul conductei, s-au propus mai multe relații empirice de calcul.

Deocamda după un timp relativ scurt de funcționare, conductă de transport devine netedă în interior, V.Ușensti [114] consideră că formula lui Blasius este cea mai ratională pentru determinarea acestui coeficient, adică:

$$\lambda_1 = 0,3164 \cdot Re^{-0,25} \quad (42)$$

Această relație se poate aplica însă cu rezultate bune numai pentru $Re \in [10^3 - 10^5]$.

Pentru un domeniu mai larg de variație a numărului lui Reynolds $Re \in [5 \cdot 10^3 - 10^7]$ cea mai utilizată formulă este cea a lui Nicuradse scriată sub forma:

$$\lambda_1 = 0,0032 + 0,221 \cdot Re^{-0,237} \cdot Re^{-1} \quad (43)$$

Din analiza relației (41) reiese faptul că pierderile de presiune (Δp_a) cresc foarte mult odată cu creșterea vitezei curentului de aer. Din această cauză, pentru transportul pneumatic este necesar că se stabilească valorile optime ale vitezei curentului de aer, pentru diferite regimuri de transport la care pierderile de presiune să fie minime.

2.2. Pierderile de presiune datorită deplasării particulelor de material în conductă de transport

Pierderile de presiune produse de particulele solide în timpul deplasării lor prin conductă de transport au un caracter diferit în funcție de zona în care se produc. Astfel se disting:

- pierderi de presiune în zona de accelerare;
- pierderi de presiune în zona de regim stabilizat.

Aceste pierderi de presiune au fost analizate de cercetători în mod separat, literatura indicând metode diferite de calcul pentru fiecare din ele.

2.3. Pierderile de presiune în zona de accelerare a particulelor solide

Într-o conductă orizontală de transport pneumatic, după secțiunea de alimentare, particulele de material sunt accelerate de la viteza minimă $v_{m0} = 0$ pînă la viteza de regim, adică $v_{m0} = v_m$.

Pierderea de presiune în această zonă este dată de A.Bulet [17] sub următoarea formă:

$$\Delta p_{ma1} = \Delta p_{nal} + \Delta p_{nag} \quad (44)$$

în care:

Δp_{nal} - pierderea de presiune datorită dispozitivului de introducere a materialului în conductă.

Se calculează cu relația:

$$\Delta P_{ma1} = \frac{\rho \cdot v^2}{2g} \quad (45)$$

Din relația (45) rezultă că influența materialului este neglijabilă datorită vitezei reduse pe care o are în dispositiv.

ΔP_{ma2} pierderea de presiune pentru accelerarea particulelor de material. Se determină cu expresia:

$$\Delta P_{ma2} = \frac{(v_f - v_i) \rho_0}{g \cdot A} \quad (46)$$

rezultă deci că pierderea totală de presiune în zona de accelerare, cu suficientă aproximatie are forma:

$$\Delta P_{ma} = \frac{\rho \cdot v^2}{2g} + \frac{(v_f - v_i) \rho_0}{g \cdot A} \quad (47)$$

O serie de cercetători [32, 77, 121 și alții], pornind de la ipoteze diferite de cea a lui A. Bulat, au ajuns la relații de calcul diferențiale pentru pierderile de presiune ce se produc în acestă zonă.

Astfel, L. Popai [77] consideră că pierderea de presiune în zona de accelerare, apare numai datorită imprimării particulelor de material, a energiei cinetice finale, recomandând relația:

$$\Delta P_{ma} = \frac{\rho \cdot v^2}{2g} \quad (48)$$

A.N. Daiașdăio [32], recomandă pentru pierderea de presiune în zona de accelerare, relația:

$$\Delta P_{ma} = \beta_1 \cdot \mu \cdot \frac{\rho \cdot v^2}{2} \quad (49)$$

în care, pentru calculale practice, coeficientul β_1 se determină în cazul conductelor orizontale cu relația:

$$\beta_1 = 7,85 \cdot 10^{-5} \cdot \text{Re}^{0,32} \cdot \text{Fr}^{0,5} \quad (50)$$

Din relația (49) se poate observa că A.N. Daiașdăio consideră că pierderile de presiune în zona de accelerare sunt condiționate în mod direct de concentrație gravimetrică μ . Din puncte de vedere, acest autor nu a verificat înălță relația, decât pentru un anumit debit de material. Această lucru ne îndreptățește să afirăm

că această relație de calcul are un domeniu limitat de aplicabilitate.

2.4. Pierderile de presiune în zona de regim stabilizat determinate prin coeficientul k

Gradientul de presiune care apare în conducte de transport orizontală, în cazul transportului pneumatic al particulelor solide, studiat de mulți cercetători [6, 17, 32, 37, 62, 72, 85, 87, 94, 97, 117, 121, 124, și alții] se exprimă de obicei prin expresia stabilită de Gasterstaedt:

$$\Pi = 1 + k \quad (51)$$

sau:

$$\Pi = \frac{\Delta p}{\Delta p_a} = \frac{\lambda}{\lambda_1} \quad (52)$$

în care:

Π – gradientul de presiune;

k – coeficientul lui Gasterstaedt.

Analizând această relație J.Urbán [113], a ajuns la concluzia că, sub această formă poate fi aplicată numai pentru zona de regim stabilizat într-o conductă orizontală la diferențe de presiuni mici.

Rezultă astfel că expresia (51) exprimă numai o parte a unei formule generale pentru calculul pierderilor de presiune totale, în cazul transportului pneumatic.

Problema stabilirii unei valori cît mai exacte și mai universale a coeficientului k , a stăt în atenția multor cercetători. N.Dorfman [29], N.Biaidzic [32], V.Uspenski [114] și alții au stabilit că factorii care influențează mărimea coeficientului k pot fi împărțiți în trei grupe:

1. Proprietățile particulelor din materialul transportat (formă, dimensiunile, caracterul suprafeței, viteza de pluțire, densitatea particulelor);

2. Starea și circulația aerului de transport (viteza curentului de aer, viscozitatea cinematică, concentrația amestecului și densitatea aerului);

3. Caracteristicile instalației de transport și a regimului de transport (diametrul conductei, coeficientul de frecare la circulația aerului curat și a materialului).

Prin cercetarea atentă a transportului pneumatic în conducte orizontale a boabelor de gru, V.Uspenski a ajuns la

concluzia că toți acești factori acționează asupra coeficien-
tului k prin faptul că determină plutirea particulelor de ma-
terial în conductă. Cu cît particulele sunt mai uniform distri-
butite în secțiunea conductei, cu atât valoarea coeficientului k
este mai mică.

În literatura de specialitate este prezentat un nu-
măr mare de valori și expresii, date de diferiți autori pe-
tru acest coeficient. Trebuie menționat însă că nici una din
aceste valori și expresii, nu se referă la măsurări conce-
nante măcinare.

O mică parte din aceste valori, în funcție de modul
cum au fost obținute, sunt prezentate în tabelul urmă-

Din analiza acestui tabel rezultă următoarele conclu-
ziile asupra valořii coeficientului k :

- valorile coeficientului k stabilite cu prima metodă
(I), au o valabilitate particulară și pentru măsurările conso-
nante măcinare pot fi numai orientative.

- Relațiile deduse prin metoda (II) au un caracter
formal matematic și nu stabilesc substratul fizic al fenome-
lui descris. Este cunoscut că același valori experimentale le
putem exprima prin mai multe relații matematice;

- Metoda a treia (III) oferă posibilitatea determina-
rii substratului fizic al coeficientului k , în acest sens Dnia-
doiu N. apropiindu-se cel mai mult de rezultat;

- A patra metodă (IV) este cea mai sigură pentru sta-
bilirea substratului fizic al coeficientului k .

Pentru deducerea teoretică a expresiei coeficientului k , A. Vavra [117] a folosit de ideea că gradientul de presiune determinat de prezența materialului de transport în conductă, trebuie să compenseze pierderile prin accelerare și frecarea
particulelor solide de pereții conductei, iar la conductele orizontale, trebuie să compenseze și forța de gravitație la ri-
dicarea materialului pentru a fi deplasat prin plutire în direc-
ția de transport.

Pentru o anumită stare de mișcare, cind acceleratia
momentană a particulei este zero, se realizează în conducte de
transport următoarea condiție:

$$\Delta P_{\text{M}} \cdot A = \frac{\rho \cdot ds}{v_{\text{M}} \cdot B} \cdot \eta_n \quad (53)$$

Tabloul nr. 1

nr. graf.	Valoarea coeficientului condensatului de valabilitate
1.	1
2.	2
3.	3
4.	4

I. Valori obținute pe cale experimentală

1. $k = 0,3 - 0,6$
2. $k = 0,22$
3. $k = 0,05 - 1$
4. $k = 0,4 - 0,6$
5. $k = 0,4 - 1,4$
6. $k = 0,05 - 0,15$
7. $k = 0,6$
8. $k = 0,4$

II. Relații deduse experimentat

9. $k = (A/V_B)^B$
10. $k = 1,25 \cdot 10^7 A \cdot V_B^{-1}$
11. $k = C \cdot V_B \cdot V_B^{-1}$
12. $k = 0,35(V_B/20)^{-1,0} (V_0,2)^{0,05}$

III. Relații experimentale generalizate cu ajutorul

semigăsimilitudinii

$$F_{T_0} = 0,004 - 0,025 \quad \text{aboldrev} \quad [39]$$

$$k = 0,17 / \sqrt{F_{T_0}}$$

1. 1

2

3

4

$$14. k = 1,9 \cdot 10^{-2} \left(\frac{U}{d} \right) 1,23 \cdot 10^{0,32} \cdot 10^{-0,65}$$

pentru transport în
conductă orizontală

IV. relația dintre pe cole secretan

$$15. k = \frac{V_B}{V_A} \left(\frac{1 - \alpha_1}{1 - \alpha_2} \frac{\alpha_2}{\alpha_1} \right)^2$$

$$15. k = \frac{q}{\lambda_1} \left(\frac{V_B}{V_A} \right)^2 + \frac{2V_B^2/V_A \cdot 0,003}{\lambda_2 \rho c (V_B/V_A)}$$

pentru orice pozitie
a conductei de trans-
port

în care:

$$\frac{v_a \cdot ds}{v_{a \cdot m}} = N_p = \text{numărul de particule într-o unitate elementară a conductei.}$$

In acest caz, dacă în relația (51) se înlocuiesc k și μ cu valorile lor și se utilizează formula lui Darcy-Weisbach se obține expresia coeficientului k sub forma:

$$k = \frac{\lambda_1 \frac{v_a^2}{D}}{\lambda_1 \frac{Fr}{Pr} \left(\frac{v_a^2}{D} \right)} + \frac{2 \frac{v_a^2}{D} \cos \alpha}{\lambda_1 \frac{v_a^2}{D}} \quad (54)$$

In vederea stabilirii influenței diferenților factori asupra coeficientului k , A.Vavra [117] a făcut experiențe cu gru, transportat pneumatic într-o conductă orizontală.

2.4.1. Influența diametrului D al conductei asupra coeficientului k

Această dependență este prezentată în fig.4. Se poate observa că coeficientul k crește aproape liniar cu creșterea diametrului conductei de transport.

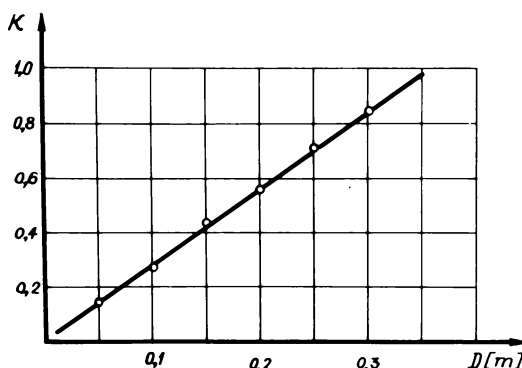


Fig.4. Influența diametrului D al conductei asupra coeficientului k

Dependența stabilită teoretic, este aproape aceeași cu rezultatele experimentale ale lui V.Japenski [114], care în experiențele pe care le-a efectuat cu cenușă având $d = 0,82 \cdot 10^{-5}$ m, la viteza curentului de aer $v_a = 22 \text{ ms}^{-1}$, a stabilit că coeficientul k crește aproximativ cu $0,8\sqrt{D}$. Această re-

sultat nu poate fi însă aplicat și la nutrețurile concentrate măcinante, deoarece mărimea lui k este influențată de proprietățile fizico-mecanice ale particulelor transportate.

2.4.2. Influenta diametrului d al particulelor asupra coeficientului k

Dependența studiată este grafic reprezentată în fig.5

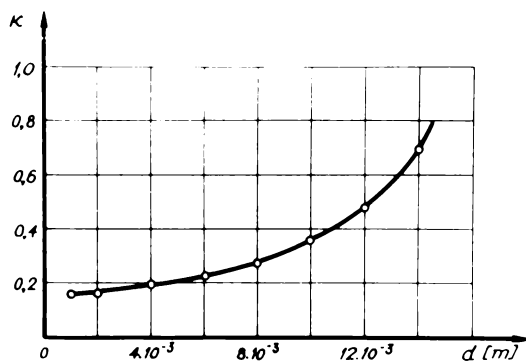


Fig.5. Influenta diametrului d al particulelor asupra coeficientului k

Se poate constata că valoarea coeficientului k crește odată cu creșterea diametrului particulelor transportate d.

Dependența stabilită de A.Vavra, corespunde cu valorile din literatura de specialitate. Astfel V.Jayenski [114] a stabilit că la transportul pneumatic al cenusii în conducte orizontale cu $D = 0,041$ m, la viteza aerului de transport $v_a = 20 \text{ m} \cdot \text{s}^{-1}$, coeficientul k este proporțional cu $\log d$. De asemenea V.Jayenski a stabilit că, k depinde și de forme particulelor. Astfel, pentru particule sferice, k este mult mai mare decât pentru cele colțuroase. Dugă acest cercetător, dimensiunile geometrice (d), forma și densitatea particulelor (ρ_p) (deci factorii care stabilesc viteza de plutire v_p a particulei), sunt factorii principali care determină valoarea coeficientului k.

2.4.3. Influenta vitezei aerului de transport v_a asupra coeficientului k

Această dependență, prezentată grafic în fig.6, scoate în evidență faptul că, coeficientul k are o variație inversă pro-

proporcională cu creșterea vitezei curentului de aer.

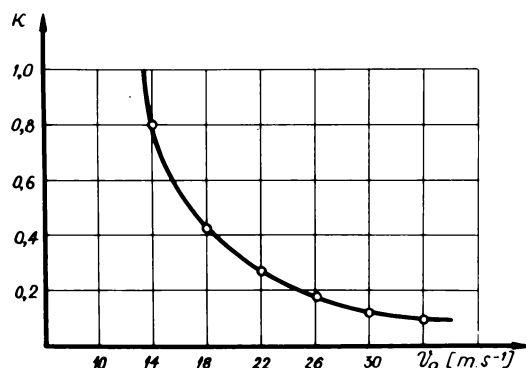


Fig.6. Influența vitezei aerului de transport v_a asupra coeficientului k

La valori ale vitezei aerului egale cu valorile vitezei de plutire a fiocărui material, atunci cînd $v_m/v_a = 1$, coeficientul k ia valori extrem de mari. Această dependență, poate cea mai expresivă, este dată de aproape toți cercetătorii. V.Uspenski [114] a observat această dependență prin experiente făcute la transportul pneumatic al cenusei cu $d = (0,142 \cdot 10^{-3} - 0,82 \cdot 10^{-3})$ m prin conducte orizontale cu diametrul $D = (0,032 - 0,041)$ m. El explică această dependență astfel: la viteze mari ale aerului de transport v_a , materialul din secțiunea verticală a conductei este distribuit uniform și $k \approx \text{const}$, deci independent de v_a . Aceasta este regimul de mișcare uniformă a materialului. La mișcarea vitezei aerului de transport v_a , distribuția materialului în secțiunea conductei nu mai este uniformă, concentrându-se în partea inferioară a conductei. La acest regim, valoarea lui k crește.

Dacă vîțea aerului v_a se apropie de vîțea minimă de transport, valoarea coeficientului k crește la infinit iar conductă se înfundă, intrerupînd transportul pneumatic al particulelor.

2.5. Pierderile de presiune în zone de recinabilizare, determinate prin coeficientul λ_s

In literatura de specialitate [1, 9, 14, 17, 18, 31, 51, 55, 61, 74, 92, 102, 109, 121, 123, 124, 130] pierderile

de presiune în conductele orizontale, în zona de regim stabilit sunt calculate și cu următoarea metodă:

$$\Delta p = \Delta p_a + \Delta p_m$$

în care:

$$\Delta p_a = \lambda_1 \frac{L}{D} \frac{r v^2}{2g}$$

și:

$$\Delta p_m = \lambda_2 \frac{L}{D} \mu \frac{r v^2}{2g} \quad (55)$$

decic:

$$\Delta p = (\lambda_1 + \mu \lambda_2) \frac{L}{D} \frac{r v^2}{2g} \quad (56)$$

rezultă și după această metodă, că pierderile totale de presiune se compun din pierderile de presiune pentru deplasarea aerului curat proporționale cu coeficientul de rezistență λ_1 și pierderile de presiune suplimentare pentru deplasarea particulelor solide proporționale cu coeficientul de rezistență λ_2 .

Valoarea coeficientului global de rezistență se exprimă prin relația:

$$\lambda = \lambda_1 + \lambda_2 \quad (57)$$

Ecuațiile pentru determinarea valorilor coeficientului λ_1 și λ_2 deduse experimental sau teoretic de diferiți cercetători sunt sintetizate în tabelul 2.

Din analiza acestui tabel, rezultă că pierderile de presiune calculate prin metoda coeficientului λ_2 , depind de numărul lui Froude Fr, diametrul D al conductei, concentrația gravimetrică μ , lungimea conductei și coeficientul de frecare cinematic.

2.5.1. Influența concentrației gravimetrice μ asupra coeficientului λ_2

S.Kikkawa și S.Sugawara [55] au studiat influența concentrației gravimetrice μ asupra coeficientului λ_2 , pentru mai multe materiale transportate pneumatic într-o conductă orizontală cu diametrul D = 50 mm și anume: griu, bile de sticlă și quart.

Din încercările experimentale efectuate cu griu au obținut următoarea dependență, reprezentată în fig.7.

Se constată că λ_2 se menține aproape constant pentru valori mari ale numărului lui Froude, pentru că la valori mici

Rezultatul nr. 2.

Nr. pt.	Valearea coeficientului pentru conditii de vibrapibilitate	Conditii de vibrapibilitate	Autorul
2			

Rezultatul cindune experimental

$$1. \quad \lambda_g = \frac{0,316 + 0,01}{0,25} \quad \begin{matrix} v = 0,046 \text{ m} \\ d = (0,1 - 1,2) \text{ mm} \end{matrix} \quad \text{Cetelkin [17]}$$

$$2. \quad \lambda = [1,7 \cdot 10^{-3} (\frac{D}{d})^{1,56} (\frac{v}{v_g})^{1,33} - 0,31]^{1/\mu} \quad \begin{matrix} \text{pentru conducte orizontale} \\ \text{scostale} \end{matrix} \quad \text{Dedajlo [32]}$$

$$+ 22 \cdot \mu$$

$$3. \quad \lambda = 0,4 \cdot 10^3 (\frac{\mu}{\mu_g})^{0,35} \quad \begin{matrix} (\frac{D}{d})^{0,5} \approx 1,6 \cdot 10^{-3} \\ \div 1,6 \cdot 10^7 \end{matrix} \quad \text{Soboleffov [38]}$$

$$\text{pentru conducte orizontale}$$

$$4. \quad \lambda = \left[\frac{v}{(\sqrt{g/v} / 2 - 1,72)} \right]^2 - \lambda_1 \quad \begin{matrix} \frac{1}{\mu} \\ \frac{1}{\mu} \end{matrix}$$

$$5. \quad \lambda_g = 0,0263 (v_g - 5,5)^{-0,356} \cdot \mu^{0,54} - 0,0021 \cdot v_g \quad \text{pentru grili} \quad \text{Johstaki [55]}$$

$$6. \quad \lambda_g = 0,0628 (v_g - 1,5)^{0,026} \cdot \mu^{0,675} - 0,0026 \cdot v_g \quad \text{pentru soia}$$

$$7. \quad \lambda_g = \frac{280}{P} \cdot \frac{(v_g - v_{g0})^2}{v_g \cdot v_{g0}} \quad \begin{matrix} \text{balantii deduse teoretice} \\ \text{pentru conducte orizontale} \end{matrix} \quad \text{Adam C [1]}$$

$\frac{1}{1}$ $\frac{2}{2}$ $\frac{3}{3}$ $\frac{4}{4}$		
5.	$\lambda = \frac{v_1}{v_2} \lambda_1 + \frac{2\beta}{v_2 \cdot v_{\infty} / v_0}$ pentru conducte orizontale $\beta = v_1/v_0$	Rezultat [7a]
6.	$\lambda = \frac{\lambda_1}{1 + \beta_2 \sqrt{\frac{\lambda_1}{2}}}$ pentru conducte orizontale	Berth W. [9]
7.	$\lambda = 1 - \frac{1 - (\lambda_1 / 2\pi x_0^2) (1 - \pi x_0^2 / \beta_2)}{1 - \lambda_1 / 2\pi x_0^2}$	pentru conducte orizontale Urban I. [11a]
8.	$\lambda_s = \lambda_1 \frac{v}{v_0} + \frac{2\beta_0 \cdot v}{\beta_0 \cdot C}$ pentru conducte orizontale	Görtner W. [55]
9.	$\lambda_s = \frac{v_0}{v_1} \left[\alpha_1 \frac{\alpha_2}{\exp(\alpha_1 \zeta - \alpha_2)} + \frac{\alpha_2}{1 - \alpha_2} \right]$ pentru conducte orizontale	Ridaura S. [55]

mici să crească brusc (cazul limitei de infundare). De asemenea se observă că o dată cu creșterea concentrației gravimetrice μ crește și coeficientul λ_z .

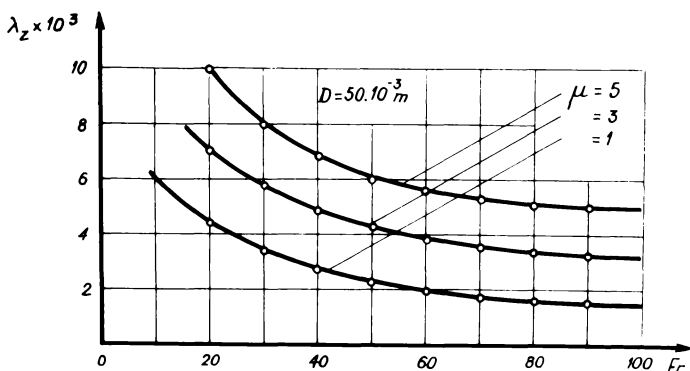


Fig.7. Influența concentrației gravimetrice asupra coeficientului λ_z

2.5.2. Influența coeficientului de frecare f asupra coeficientului λ_z

Afectul coeficientului de frecare al gruiului asupra coeficientului λ_z , este reprezentat în fig.8.

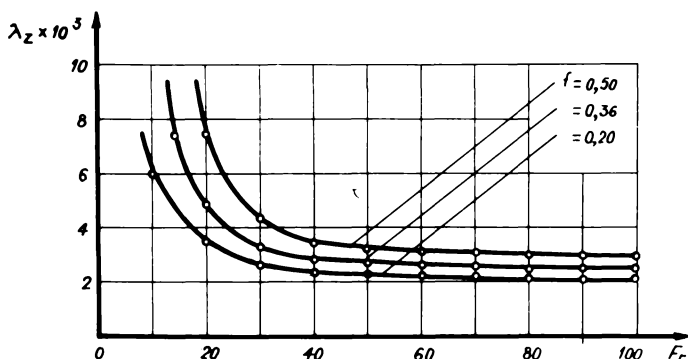
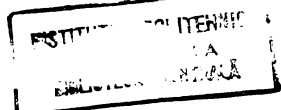


Fig.8. Influența coeficientului de frecare f asupra coeficientului λ_z



din această reprezentare reiese faptul că odată cu creșterea coeficientului de frecare, crește și coeficientul λ_g mai pronunțat în apropierea limitei de infundare, pentru ca apoi să se mențină aproape constant. De asemenei se constată că pentru valori mari ale numărului lui Froude, influența coeficientului de frecare asupra lui λ_g devine neînsemnată.

2.5.3. Influența diametrului conductei de transport asupra coeficientului λ_g

Această influență a fost reprezentată de cei doi cercetători în fig.9.

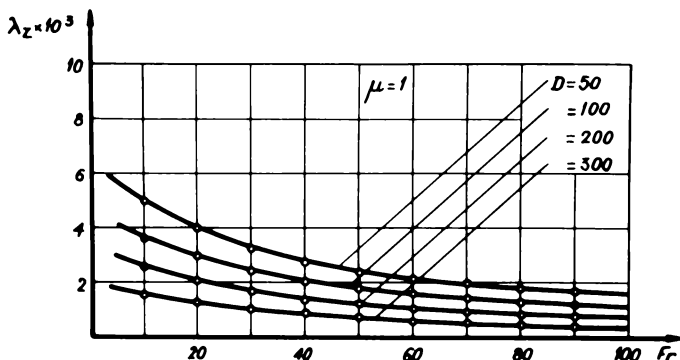


Fig.9. Influența diametrului conductei D , asupra coeficientului λ_g

În fig.9 se poate observa că pentru o concentrație gravimetrică $\mu = 1$, coeficientul λ_g scade o dată cu creșterea diametrului conductei, mai evident pentru valorile mici ale numărului lui Froude.

Pentru valori mari ale acestui număr, coeficientul λ_g se menține aproape constant.

2.6. Ecuația generală a pierderilor de presiune în conducte de transport orizontale

În analiza metodelor de calcul a pierderilor de presiune descrise, reiese faptul că valoarea experimentală a le coeficienților k și λ_g , nu un domeniu limitat de valabilitate, lucru scos de altfel în evidență de numărul mare de re-

lații date în literatură pentru acești coeficienți.

Necind de la această idee, o serie de cercetători au încercat să stabilească o expresie generală a pierderilor de presiune pentru condițiile transportului pneumatic.

Acest lucru a fost rezolvat satisfăcător de P.Chand și J.Cheesch [18].

Astfel, pornind de la ecuația lui Navier-Stokes pentru curgerea într-o conductă cu secțiunea circulară:

$$-\frac{1}{\beta_a} \cdot \frac{dp}{dx} + \nu \left(\frac{dv^2}{dr^2} + \frac{1}{r} \cdot \frac{dv}{dr} \right) + k = 0 \quad (58)$$

și considerind că termenul al doilea al ecuației de mai sus care reprezintă influența forței de frecare dintre curentul de aer și peretei conductei, se poate neglija în raport cu pierderile de presiune produse de material, cei doi cercetători au stabilit ecuația generală a pierderilor de presiune sub forma:

$$\Delta p_m = \frac{\rho}{2} \left[(v_{a_n} - \dots + \alpha)^2 t + (\alpha + \dots) \left[1 - \frac{2\alpha}{(\alpha+n) + (\alpha-n)} e^{-2\alpha t} \right] + (v_{a_n} - \alpha + \beta\alpha) \log \left[\frac{2\alpha}{(\alpha+n) + (\alpha-n)} e^{-2\alpha t} \right] \right] \quad (59)$$

în care coeficienții au semnificațiile date prin relațiile (11), (13), (14), (15).

Această ecuație generală este valabilă pentru transportul orizontal, vertical și inclinat, atât pentru regimul stabilizat cât și pentru zonă de accelerare.

Se observă că în ecuația (59) nu intervine coeficientul de rezistență, deci nu depinde de numărul lui Reynolds. Trebuie menționat că, la verificarea acestei probleme teoretice autorii au lăsat singurul caz al regimului stabilizat de transport al unor particule sferice din năse plastice și sticla, având aceleasi dimensiuni.

2.7. Concluzii

În urma studiilor efectuate asupra metodelor de calcul a pierderilor de presiune în conducte orizontale rezultă următoarele:

- Problema pierderilor de presiune cauzate de prezenta particulelor solide în conducte de transport orizontală,

nu este rezolvată complet, dacă literatura de specialitate indică mai multe metode de calcul pentru acest parametru.

Metodale de calcul utilizate în prezent pentru stabilirea pierderilor de presiune, au domenii limitate de aplicabilitate, fiind condiționate în general de coeficienți stabiliți pe cale experimentală sau teoretic, valabili însă pentru anumite regimuri de funcționare și în special pentru anumite materiale. Rezultă că, este necesar ca și pentru nutrețurile concentrate măcinante, materiale care prezintă proprietăți fizico-mecanice deosebite de cele utilizate în încercările experimentale de diferiți cercetători, să se stabilească o metodă de calcul care să aibă în vedere aceste proprietăți și să permită dimensionarea corectă a instalațiilor de transport pneumatic pentru aceste materiale.

— Relația (49) propusă de A. Dniadzio, scoată în evidență că pierderile de presiune pentru accelerarea particulelor solide, cresc o dată cu creșterea vitezei curentului de aer și a concentrației gravimetrice. Se poate afirma că metoda de calcul propusă de A. Dniadzio, este aproximativă deoarece a determinat coeficientul β , considerind pierderea de presiune pentru accelerarea particulelor ca diferența între pierderea de presiune totală și pierderea de presiune produsă de frecarea și cinchirarea particulelor de peretii conductei pentru zona de regim stabilizat, ori acest lucru nu corespunde cu realitatea.

— Valorile coeficientului k , stabilite pe cale experimentală, au o valabilitate particulară iar pentru alte materiale decit cele cu care s-au făcut încercările pot fi numai orientative. Relațiile deduse prin această metodă au un caracter formal matematic, naredind substratul fizic al fenomenului descris de diferiți cercetători.

— Expresiile de calcul pentru coeficientul k stabilite pe cale teoretică, scoot în evidență faptul că acest coeficient depinde atât de viteză materialului cit și de viteză curentului de aer în conductă de transport. Ele nu au fost verificate însă și pentru nutrețurile concentrate măcinante.

— Concentrația gravimetrică este un factor de care depinde direct economicitatea instalațiilor de transport pneumatic. În prezent nu se cunosc decit valori discrete și aproximativ determinate experimental pentru cîteva materiale, valori care nu pot fi aplicate și pentru nutrețurile concentrate

năcinate. Au este stabilită o lege generală pe baza căreia să se calculeze concentrația gravimetrică, care să facă posibilă determinarea debitului de aer pe baze sigure și economice.

- Numărul mare de relații întâlnite în literatura de specialitate pentru coeficientul λ_g denotă că limitele de utilizare ale acestui coefficient sunt foarte restrinse. Factorii care influențează în mod direct coeficientul λ_g sunt: numărul lui Froude, diametrul conductei, concentrația gravimetrică, coeficientul de fricare și lungimea conductei de transport.

- Relația (59) stabilită pe cale analitică de P.Chene și P.Ghosh, deși are un domeniu mare de aplicabilitate, este foarte inconvenită, întrucât necesită un volum mare de operații analitice. Având în vedere faptul că autorii au verificat relația de calcul numai pentru particulele sfereice din mase plastice și sticla, pentru regimul stabilizat de transport, rezultă că și în acest cas sunt necesare încă date experimentale care să confirme posibilitățile de aplicare ale acestei metode de calcul.

CONTRIBUȚIA TEORETICĂ PRIVIND PIERDERILE DE PREȘIUNE ÎN
TRANSFORTUL PNEUMATIC AL NUTREȚURILOR CONCENTRATE MĂCI-
NATE, ÎN CONDUCTE ORIZONTALE CU SECȚIUNE CIRCULARĂ

Pierderile de presiune, acest parametru de bază care condiționează dimensiunea și exploatarea optimă a instalațiilor de transport pneumatic, a fost stabilit de mulți cercetători [1, 6, 9, 12, 17, 18, 20, 21, 27, 32, 37, 47, 55, 62, 72, 74, 85, 86, 87, 93, 94, 95, 97, 99, 109, 113, 117, 121, 122 și alții,] numai pentru anumite materiale a căror coeficienți de rezistență au fost determinați pe cale experimentală. Deși această problemă a făcut obiectul multor lucrări de cercetare, pînă în prezent nici una din aceste lucrări nu s-a ocupat de studiul comportării nutrețurilor concentrate măcinate în timpul transportului pneumatic în conducte orizontale, pentru a se putea stabili pierderile de presiune produse de aceste materiale.

Din analiza metodelor de calcul prezentate în lucrările mai sus amintite, reiese faptul că relațiile matematice stabilite pînă în prezent pentru calculul pierderilor de presiune fie că sunt incomplete decărește neglijarea unele aspecte ale fenomenelor ce se produc în timpul transportului pneumatic între cele două faze - aer-particule solide - sau între cele două faze și peretele conductei, fie că au domenii limitate de valabilitate, lărind astfel în evidență de numărul mare de relații date pentru acest parametru.

In acest sens, autorul pornind de la ipotezele clasice privind transportul pneumatic evitind însă unele neconcordanțe ce există între aceste ipoteze și fenomenele ce au loc în conductă de transport, își propune să stabilească pe cale analitică și să verifice experimental o metodă de calcul a pierderilor de presiune în conducte orizontale cu secțiune circulară în condițiile transportului pneumatic pentru principalele nutrețuri concentrate măcinate, folosite în cadrul fabricilor de nutrețuri combinate, metodă care să permită atât dimensiunarea optimă a instalațiilor de transport, cît și obținerea unui regim de funcționare rational.

CAPITOLUL I

DETERMINAREA PIERDERILOR DE PRESIUNE IN CONDUCTA DE TRANSPORT ORIZONTALA, CU SECȚIUNE CIRCULARĂ

In scopul stabilirii pierderilor de presiune cauzate de nutrețurile concentrate măcinate, transportate pneumatic într-o conductă orizontală cu secțiune circulară, autorul face următoarele ipoteze:

In timpul deplasării amestecului format din cele două fasc - aer și particule de nutreț concentrat măcinat - în conductă de transport apar următoarele rezistențe:

- rezistență datorită frecării aerului cu peretele conductei;

- rezistență datorită accelerării particulelor de nutreț concentrat măcinat la înaintarea în conductă de transport, de la $V_{mo} = 0$ la $V_{mo} = V_m$;

- rezistență datorită frecării și ciocnirii particulelor de nutreț concentrat măcinat cu peretele conductei;

- rezistență datorită ciocnirii între particulele de nutreț concentrat măcinat.

Pentru a se asigura deplasarea particulelor de material în conductă de transport, aceste rezistențe trebuie să fie învinse de mediul de transport.

Este cunoscut că, în general pierderile de presiune totale ce apar în timpul transportului pneumatic în conductă orizontali, se compun din pierderi de presiune cauzate de deplasarea aerului și pierderi de presiune datorită deplasării materialului.

Pentru a pune în evidență aceste elemente, autorul consideră un tronson de conductă avind lungimea Δl , cu secțiuni circulare dispuse orizontal (fig.1c).

Prin deplasarea amestecului aer - particule de material, între cele două secțiuni (1 - 2), în conductă, datorită rezistențelor ce apar, se produc următoarele pierderi de presiune:

Δp_{sc} - pierderea de presiune datorită frecării aerului cu peretele conductei;

Δp_{ba} - pierderea de presiune datorită accelerării mate-

rialului la intrarea în conductă de transport;

ΔP_{mo} - pierderea de presiune datorită frecăriei și ciocnirii particulelor de material cu peretele conductei;

ΔP_{mn} - pierderea de presiune datorită frecăriei și ciocnirii între particulele de material.

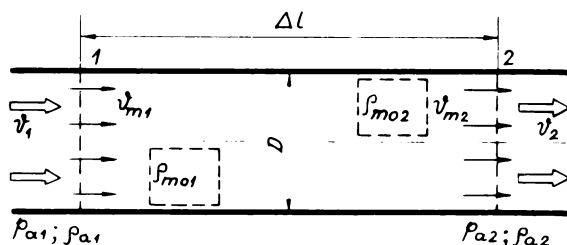


Fig.10. Element de conductă cu secțiune circulară, dispusă orizontal

Incercurile experimentale efectuate de unii cercetători [7, 11, 25, 39, 45, 73, 87, 91, 101 și alții], au afirmat că în cazul transportului pneumatic al materialelor pulverulente cu concentrația gravimetrică reală $\mu_r < 10$, fracțiunea pierderilor de presiune care revin pentru accelerarea particulelor de material ce pătrund în conductă de transport este neînsemnată în raport cu celelalte fracțiuni și de aceea pot fi neglijate în calcule.

Autorul, avind în vedere acest aspect, precum și faptul că în cadrul amestecului de aer și particule de nutreț concentrat măcinat $\beta_m >> \beta_a$, propune ca expresia pierderilor totale de presiune care cauzează o diferență de energie între începutul 1 și sfârșitul 2 al conductei (fig.10), în care este realizat un regim stabilizat de transport, să se scrie sub următoarea formă:

$$P_1 - P_2 = \Delta p_{ac} + \Delta p_{mc} + \Delta p_{me} = \Delta p \quad (60)$$

Apariția în relația (60) a fracțiunii Δp_{me} care constituie o particularitate a transportului pneumatic al nutrețurilor concentrate măcinante, a fost dictată de faptul că aceste materiale se prezintă sub formă unor particule cu dimensiuni de la cîțiva microni pînă la 3 mm și mai mari în unele cazuri, particule care se comportă total diferit de majoritatea materialelor folosite în încercările experimentale ale altor cercetători, (multe dintre ele convenționale - bile de sticlă, din materiale plastice etc.), materiale care aveau în general particule de aceleasi dimensiuni sau aceeași formă.

În baza ipotezelor privind fenomenele reale ce au loc în instalațiile de transport pneumatic în conducte orizontale cu secțiune circulară, autorul va proceda în continuare la determinarea teoretică a partilor componente a pierderilor totale de presiune ce se produc la deplasarea nutrețurilor concentrate măcinante în aceste conducte de transport.

1.1. Determinarea pierderilor de presiune produse de frecarea aerului cu peretele conductei

Fluidul vehiculant - aerul - poate fi considerat un gaz perfect și cum în cazul transportului pneumatic nu se poate pune problema unor schimbări calorice, legile fizice de scurgere prin conducte rămîn în cadrul unor destinderi izoterme.

În acest caz, pierderile de presiune care se produc în timpul transportului, datorită frecării aerului cu peretele conductei, au fost stabilite de cercetătorii în acest domeniu cu relația (41).

$$\Delta p_s = \lambda_s \frac{L}{d} \frac{\rho_a v^2}{2g}$$

Este evident că această expresie nu ține seama de variația gradientului de presiune.

Deoarece în cazul conductelor scurte se poate admite fără a se face o eroare prea mare, că greutatea specifică a aerului rămîne constantă pe întreaga lungime a conductei în cazul conductelor lungi, - situație întîlnită în cadrul fabricilor

de nutrețuri concentrate combinate diferențele de presiune și jung uneori la valori de același ordin de mărime cu presiunea initială și că astăzi trebuie să se țină seama de acest aspect în calcule.

Având în vedere acest fenomen, autorul pornind de la faptul că conductele cu secțiune constantă, în timpul transportului pneumatic, particulele se mișcă în direcția de deplasare a mediului vehiculant atât timp cât energia acestuia este mai mare decit pierderile de presiune, și propune să facă corecția necesară expresiei (41).

Astfel, este cunoscut că în timpul transportului pneumatic, gradientul de presiune al aerului scade (fig.11).

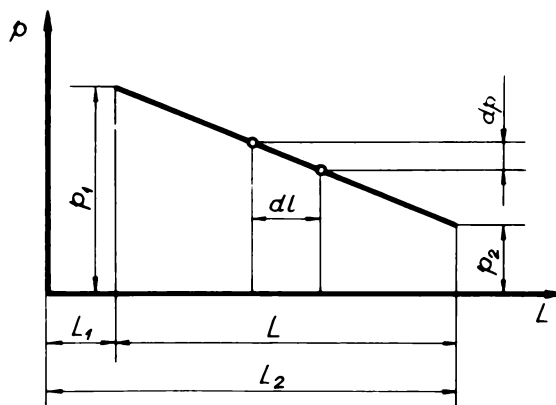


Fig.11. Variatia gradientului de presiune a aerului, într-o conductă orizontală cu secțiune circulară

Dacă presupunem că în conducte de transport se produce o destindere izotermă și ținind seama că gradientul de presiune este o creștere negativă a presiunii aerului în conductă, se poate scrie:

$$-\frac{dp}{dl} = \lambda_{ac} \frac{v^2}{D} \quad (61)$$

Având în vedere că viteza curentului de aer în conductă cu secțiunea constantă, este proporțională cu volumul aerului adică;

$$p_1 v_1 = p_2 v_2 \quad (62)$$

și:

$$\frac{r_{a_1}}{p_1} = \frac{r_{a_2}}{p_2} \quad (63)$$

exprimind variabilele r_{a_1} și v_{a_1} în funcție de parametrii inițiali cunoscute ai aerului, după substituiri, rearranjări și integrare în limitele de la p_1 la p_2 și de la L_1 la L_2 ecuația diferențială (61) devine:

$$\frac{p_1^2 - p_2^2}{2} = p_1 \cdot r_{a_1} \frac{\lambda_{sc}}{D} \cdot \frac{v_{a_1}^2}{2g} \cdot L \quad (64)$$

Analizând această formă a ecuației se poate constata că este greu de aplicat în practică. De aceea se propune să se țină seama că în timpul curgerii aerului curat prin conductă de transport, pierderea de presiune poate fi exprimată prin relația:

$$\Delta p_{sc} = p_1 - p_2 \quad (65)$$

Având în vedere că regimul de transport luat în considerație este cel stabilisit, caracterizat prin expresiile

$r_{a_1} = r_{a_2}$ și $v_{a_1} = v_a$, atunci relația (64) se poate scrie sub forma:

$$p_1^2 - p_2^2 = 2p_1 \cdot \Delta p_{sc} \quad (66)$$

Dacă relația (65) se ridică la patrat și se scoate valoarea lui p_2^2 se obține:

$$p_2^2 = p_1^2 - 2p_1 \cdot \Delta p_{sc} + \Delta p_{sc}^2 \quad (67)$$

Inlocuind această valoare în ecuația (66), aceasta devine:

$$\Delta p_{sc}^2 - 2p_1 \cdot \Delta p_{sc} + 2p_1 \cdot \Delta p_{sc} = 0 \quad (68)$$

rezolvînd această ecuație se obține expresia pierderilor de presiune datorită frecărîi aerului de peretele conductei, sub forma:

$$\Delta p_{sc} = p_1 - p_1 \sqrt{1 - \frac{\lambda_{sc}}{p_1} \frac{L}{D} \frac{v_a^2}{2g}} \quad (69)$$

Din această expresie reiese faptul că pierderile de presiune datorită frecării aerului de peretii conductei sunt influențate de valoarea presiunii aerului la intrarea în conductă de transport, de parametrii constructivi ai conductei precum și de viteza curentului de aer. Rezultă că, spre deosebire de expresiile matematice folosite pînă în prezent pentru determinarea acestui parametru (Δp_{sc}), ecuația (6) ține seama și de variația gradientului de presiune, ceea ce considerăm că numai sub această formă se exprimă în mod real, fenomenul ce are loc în instalația de transport la surgerea aerului curat.

Coefficientul de rezistență λ_{sc} din expresia (6) care apare datorită frecării aerului cu peretii conductei de transport, depinde de numarul lui Reynolds, de rugozitate și diametrul conductei. El poate fi determinat experimental sau cu ajutorul unor relații empirice de calcul.

Deoarece în practică, peretele conductei de transport se sflește după un timp relativ scurt de funcționare, se admite întotdeauna că un perete neted hidraulic, astfel că, pentru un domeniu larg de variație a numărului lui Reynolds $Re \in [5 \cdot 10^3 - 10^7]$ se poate utiliza pentru determinarea coefficientului λ_{sc} formula lui Bicazadze (45) scrisă sub forma:

$$\lambda_{sc} = 0,0032 + 0,221 Re^{-0,237} + Re^{-1}$$

Autorul adoptă această expresie pentru determinarea mărimei coefficientului de rezistență λ_{sc} , avind în vedere regimul de surgere a aerului în cadrul instalației experimentale pe care o utilizează precum și pentru faptul că expresia a fost preluată de mulți cercetători printre care [31, 47, 52, 98, 114 și a.], care au determinat experimental, valori pentru

λ_{sc} valori care respectă legea de variație stabilită cu această expresie, uneori cu restricții cauzate de influența particulelor solide asupra profilului vitezei în conductă de transport, dar numai pentru cazul cînd concentrația gravimetrică $\mu_r < 1e$.

1.2. Determinarea pierдерilor de presiune produse de frâneră și ciocnirea particulelor de sufrat concentrat răcinit, cu peretele conductei

In timpul transportului pneumatic al nutrețurilor concentrate măcinante, autorul consideră că, traiectoriile posibile ale particulelor de material în conductă orizontală cu secțiune circulară constantă, se prezintă astfel (fig.12):

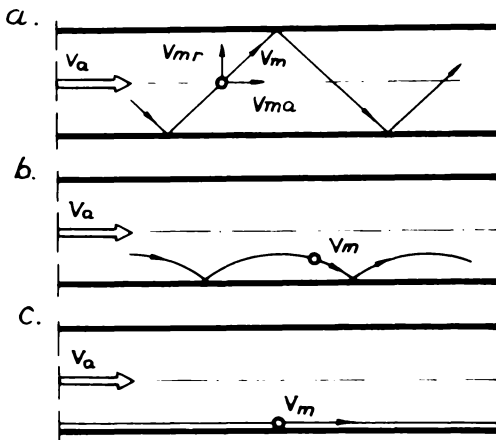


Fig.12. Traiectoriile particulelor de material într-o conductă orizontală

Ipotezele emise de diversi autori asupra mecanismului deplasării particulelor solide în conducte orizontale cu secțiuni circulare, deși sunt diferite, în general se bazează pe acțiunea scârțuișă element și anume viteza curentului de aer.

Analizând aceste ipoteze, se poate afirma că cele trei traiectorii posibile (fig.12) pot fi caracterizate prin următoarele condiții:

$$a. \frac{v_{\text{air}}^2}{2g} > D \quad (70)$$

$$b. \frac{v_{\text{air}}^2}{2g} < D \quad (71)$$

$$c. v_{\text{air}} = 0 \quad (72)$$

în care:

v_{mr} - componenta radială a vitezei medii a particulelor de nutre; concentrat săcinaț, în conductă de transport.

Prima situație poate fi întîlnită în cazul conductelor de transport pneumatic la care raportul $\frac{D}{d} < 50$ și pentru viteze mari ale curentului de aer.

Cea de a doua situație apare frecvent la conductele cu raportul $\frac{D}{d} > 50$, pentru viteze mai reduse ale curentului de aer, iar cea de a treia situație este posibilă pentru valori mici ale vitezei curentului de aer sau pentru concentrația gravimetrică $\mu_x > 10$. În acest caz, particulele de material nu se mai ridică în curentul de aer executând salturi, ci se deplasă continuu prin alunecare sau rostogolire pe peretele inferior al conductei.

Pentru determinarea pierderilor de presiune datorită frecării și cicoanirii particulelor de nutre; concentrat săcinaț cu peretele conductei, se analizează fiecare din cele trei cazuri. Aceste pierderi sunt influențate de debitul de material existent în conductă de transport, de numărul de cicoaniri probabil al particulelor la parcurserea unei anumite lungini de conductă și de pierderea de viteză la fiecare cicoanie.

În vederea determinării pierderii de viteză la cicoanirea particulei de material de pe peretele conductei, autorul consideră modelul pentru studiu, indicat în fig.13.

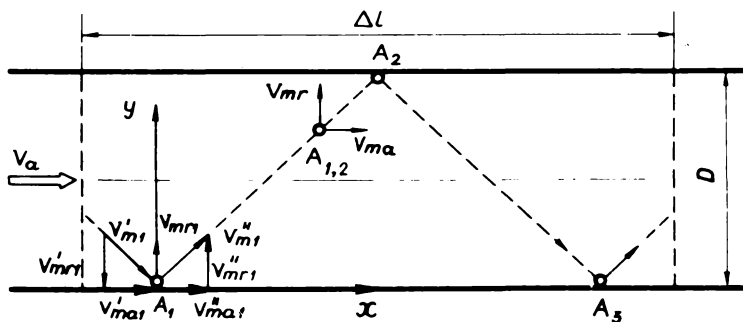


Fig.13. Componentele vitezei particulelor de material la cicoanirea cu peretele conductei

Se observă că particula de material se ciocnește cu peretele conductei în punctele A_1 , A_2 , A_3 parcurgind distanța Δl . Prin aceste ciocniri se pierde o parte din energia cinetică care la deplasarea prin mediul de transport trebuie redată particulei solide pentru a-și păstra viteza v_m , presupunând că deplasarea se face în regim stabilizat.

Înainte de ciocnirea particulei în punctul A_1 , aceasta va avea viteza v'_m cu componente v'_{mr_1} și v'_{ma_1} , iar după ciocnire, viteza particulei devine v''_m , cu componente radiață și axială v''_{mr_1} și v''_{ma_1} . Admitând că mișcarea particulelor se face după o direcție simetric axială rezultă $v'_{mt} = v''_{mt} = 0$.

Pierderile de presiune care se produc prin ciocnirea particulelor de perete, sunt determinate în primul rînd de variația vitezei particulei în direcția axială, adică:

$$\Delta v_{ma} = v'_{ma} - v''_{ma} \quad (73)$$

Dacă se admite următoarele ipoteze simplificatoare:

$$v_m > > v_{mr} \quad (74)$$

$$v_m > > v_{mt} \quad (75)$$

$$\frac{\Delta v_{ma_1}}{v_{mr_1}} \approx \frac{\Delta v_{ma_2}}{v_{mr_2}} \approx \frac{\Delta v_{ma}}{v_{mr}} = \text{const.} \quad (76)$$

și se consideră o particulă care se deplacează de-a lungul unui perete neted hidraulic de lungime Δl , în salturi de lungime l_g , se ciocnește de perete de $\Delta l/l_g$ ori, se obține pentru pierderea de presiune expresia:

$$\Delta P_{mc} = \frac{1}{A} \cdot \frac{\Delta l}{l_g} \cdot \Delta v_{ma} \quad (77)$$

Avind în vedere că într-o conductă orizontală de secțiune circulară, în timpul deplasării particulei de material, datorită forței gravitaționale, viteza de ciocnire a acesteia în partea inferioară a conductei este diferită de cea în partea superioară și de asemenea frecvența ciocnirilor este diferită, pentru determinarea salturilor particulelor se procedeză astfel:

Plasind de la ideia că în elementul de conductă de lungime Δl se află un regim stabilizat și că $v_{\text{ax}} = \text{const.}$, iar $v_{\text{ax}} = 0$, se poate considera că, o particulă de material care pătrăpește peretele inferior având componentele vitezăi axiale și radiale $v_{\text{ax},1}$ și $v_{\text{rad},1}$, ajunge după un timp t_1 într-un punct $A_{1,2}$ de coordonate x și y .

În acest punct componenta radială are valoarea:

$$v_{\text{rad}} = v_{\text{rad},1} - gt_1 \quad (78)$$

Conform legilor căderii libere se poate scrie:

$$v_{\text{rad}}^2 = v_{\text{rad},1}^2 - 2gy \quad (79)$$

Inlocuind în expresia (78) valoarea lui v_{rad} determinată cu relația (79) se obține pentru timpul t_1 expresia:

$$t_1 = \frac{v_{\text{rad},1}}{g} \left(1 - \sqrt{1 - \frac{2gy}{v_{\text{rad},1}^2}} \right) \quad (80)$$

Cum în același timp t_1 , particula de material s-a deplasat sub acțiunea forței propulsive a aerului și în direcția axială, valoarea componentei axiale a vitezăi materialului în punctul $A_{1,2}$ este:

$$v_{\text{ax}} = \frac{x}{t_1} \quad (81)$$

în care:

x – spațiul parcurs în direcția axială a conductei.

Inlocuind în această expresie valoarea lui t_1 determinată cu relația (80) se obține mărimea spațiului parcurs de particulă:

$$x = \frac{v_{\text{rad},1} \cdot v_{\text{rad},1}}{g} \left(1 - \sqrt{1 - \frac{2gy}{v_{\text{rad},1}^2}} \right) \quad (82)$$

În funcție de traiectoria posibilă pe care o descrie o particulă de material în conductă de transport orizontală cu secțiune circulară, având în vedere că $y_{\text{max}} = 0$, se obține pentru lungimea salturilor următoarele valori:

a). Pentru $\frac{v_{m_2}^2}{gD} > 1$ - situație în care peretele superior al conductei limitează înălțimea salturilor, lungimea lor este:

$$l_s = \frac{2v_{m_2} \cdot v_{m_1}}{g} \left(1 - \sqrt{1 - \frac{2gD}{v_{m_1}^2}} \right) \quad (83)$$

b). Pentru $\frac{v_{m_2}^2}{gD} < 1$ - situație în care particulele efectuează salturi deasupra peretelui inferior, sărimea salturilor este:

$$l_s = \frac{2v_{m_2} \cdot v_{m_1}}{g} \quad (84)$$

Avind în vedere că datorită forței gravitaționale apar pierderi de viteză diferite la peretele superior și cel inferior al conductei, a căror sumă este:

$$\Delta v_{m_2} = \Delta v_{m_1} + \Delta v_{m_2} \quad (85)$$

și conform relației (76) pentru raportul v_{m_2}/v_{m_1} este valabilă relația:

$$\frac{v_{m_2}}{v_{m_1}} = \sqrt{1 - \frac{2gD}{v_{m_1}^2}} \quad (86)$$

precum și faptul că $v_{m_2}/v_{m_1} = \text{const.}$ se obține pentru pierderea de viteză următoarea expresie:

$$\Delta v_{m_2} = \Delta v_{m_1} \left(1 + \sqrt{1 - \frac{2gD}{v_{m_1}^2}} \right) \quad (87)$$

Cunoscând sărimea salturilor și pierderea de viteză cauzată de cicinirea particulelor de material cu peretele conductei, se poate determina pierderea de presiune Δp_{m_2} pentru cele trei traiectorii posibile, astfel:

a). Înlocuind în relația (77) sărimea salturilor stabilită cu expresia (83) și cea a pierдерilor de viteză stabilită cu expresia (87), se obține:

$$\Delta P_{mc} = \frac{Q \cdot g}{A \cdot v_{ma}} \cdot \frac{\Delta v_{ma_1}}{2v_{mr_1}} \cdot 1 \cdot \frac{1 + \sqrt{1 - \frac{2gD}{\mu_g r_1}}}{1 - \sqrt{1 - \frac{2gD}{\mu_g r_1}}} \quad (88)$$

b). Pentru cazul cind particula de material efectuează salturi numai pe peretele inferior al conductei, din relațiile (77) și (84), avind în vedere că în această situație $\Delta v_{ma} = \Delta v_{ma_1}$ și $\Delta v_{ma_2} = 0$, se obține:

$$\Delta P_{mc} = \frac{Q \cdot g}{A \cdot v_{ma}} \cdot \frac{\Delta v_{ma_1}}{2v_{mr_1}} \cdot \Delta l \quad (89)$$

c). Pentru cazul cind particula de material se deplasează prin alunecare pe peretele conductei, avind în vedere că $v_{mr} = 0$ și $l_s = 0$, expresia (77) a pierderilor de presiune devine:

$$\Delta P_{mc} = \frac{Q \cdot g}{A \cdot v_{ma}} \cdot f \cdot \Delta l \quad (90)$$

în care:

f – coeficientul de frecare dinamic al particulelor de material pe peretele conductei.

Analizând relațiile (88), (89) și (90) se pot face următoarele observații:

– N. Goloviov, într-oare din lucrările sale [10], pe baza cercetărilor efectuate cu ajutorul filmării rapide în conducte orizontale cu secțiune circulară, a constatat că particulele de material se ciocnesc cu o frecvență mare atât de peretele superior al conductei cît și de cel inferior, numai în conductele de transport pneumatic la care raportul $\frac{D}{d} < 50$ și pentru viteze ridicate ale curentului de aer, în cazul în care concentrația gravimetrică $\mu_g < 10$.

Cum fabricile de nutrețuri combinate și în general în domeniul agriculturii, instalațiile de transport pneumatic folosesc conducte la care raportul $\frac{D}{d} > 50$, rezultă că relația (88) nu are aplicabilitate directă pentru acest fel de instalații.

- Aplicarea în practică a relațiilor (89) și (90) sub această formă este dificilă.

Observind însă că o parte din termenii acestor relații, reprezentă de fapt niște constante ale materialului transportat, care separat pot fi determinate cu mare greutate, autorul a inclus aceste mărimi, într-un coeficient global al pierderilor de presiune prin frecare și cicoanire a particulelor cu peretei conductei λ_{mc} .

Astfel, pentru cazul cînd particulele de material execută salturi deasupra peretelui inferior, mărimea acestui coeficient este:

$$\lambda_{mc(b)} = \frac{v_{mc_1}}{v_{mc_1}} \cdot \frac{1}{Fr_m} \quad (91)$$

iar în cazul cînd particulele se deplasează prin alunecare pe peretele inferior al conductei, acest coeficient are valoarea:

$$\lambda_{mc(c)} = 2f \frac{1}{Fr_m} \quad (92)$$

Decarece pierderile de presiune Δp_{mc} reprezintă cea mai mare parte a pierderilor totale de presiune și sunt proporționale cu cîrfa lui Froude $Fr_m = v_m / \sqrt{g \cdot D}$, considerind că aceste pierderi de presiune se produc în domeniul regimului stabilizat, autorul consideră că relațiile deduse, pot fi scrise sub o formă generală astfel:

$$\Delta p_{mc} = \lambda_{mc} \frac{v_m^2}{A \cdot v_m} \cdot \frac{v_m^2}{2} \cdot \frac{L}{D} \quad (93)$$

Analizînd relația (93) se constată că pierderile de presiune datorită frecării și cicoanirii particulelor de peretei conductei, sunt influențate de termenul $v_m^2/A \cdot v_m$ care reprezintă cantitatea reală de material existent în unitatea de volum a conductei, de viteza materialului și de parametrii constructive ai conductei de transport.

Notînd:

$$\frac{v_m^2}{A \cdot v_m} = \beta_{mv} \quad (94)$$

ecuație (93) devine:

$$\Delta p_{nc} = \lambda_{nc} \frac{L}{d} \frac{\rho_m v^2}{2} \quad (95)$$

Determinarea pe cale analitică a coeficientului de rezistență λ_{nc} este dificilă. Din această cauză autorul va determina valoarea acestui coefficient în cadrul unei mărimi globale, pe baza datelor obținute în cadrul încercărilor experimentale; valoare valabilă bineînțeles, numai pentru nutrețurile concentrate măcinate și regimurile de funcționare utilizate în cadrul experimentelor.

1.3. Determinarea pierderilor de presiune produse de ciocnirea între particulele de nutret măcinat concentrat, în cadrul de transport pneumatic

Nutrețurile concentrate rezultate în urma măcinării, se prezintă sub formă de particule cu dimensiuni de la 0,1 - 3 mm. În timpul transportului pneumatic, în conductă orizontală cu secțiune circulară, aceste particule vor fi anorate în mișcare de către curentul de aer, cu viteze de deplasare diferite.

Autorul consideră acest aspect, drept o particularitate a transportului pneumatic a nutrețurilor concentrate măcinate, care nu a fost studiată pînă în prezent, particularitate de care trebuie să se țină seama în calculul pierderilor de presiune.

Astfel considerind că într-un element de volum al conductei de transport, numărul de particule de material este suficient de mare, rezultă că aceste particule cu viteze diferite, în timpul deplasării, se ciocnesc între ele, producindu-se o dissipare a energiei lor cinetice, ce se poate transforma în energie de deformare, energie calorifică etc.

Această variație a energiei conduce în cazul transportului pneumatic al particulelor cu dimensiuni diferite, de nutret concentrat măcinat, la producerea pierderilor de presiune cauzate de ciocnirea particulelor între ele.

Tinind seama de ipotezele făcute, pierderile de pre-

siume cauzate de ciocnirea particulelor de aer și concentrat năcinat între ele, pot fi exprimate printr-o relație de forma:

$$\Delta p_{mn} = \Delta i_{mn} \cdot n_c \cdot \Delta l \quad (96)$$

în care:

Δi_{mn} - pierderea de impuls la ciocnirea a două particule de material;

n_c - numărul de ciocniri în unitatea de timp într-un volum elementar de conductă.

În scopul determinării pierderilor de impuls, în timpul ciocnirii, se consideră două particule de formă sferică, de masă m_1 și m_2 care se mișcă după linia centrelor cu vitezele v_{m_1} și v_{m_2} unde $v_{m_1} > v_{m_2}$ (fig. 14).

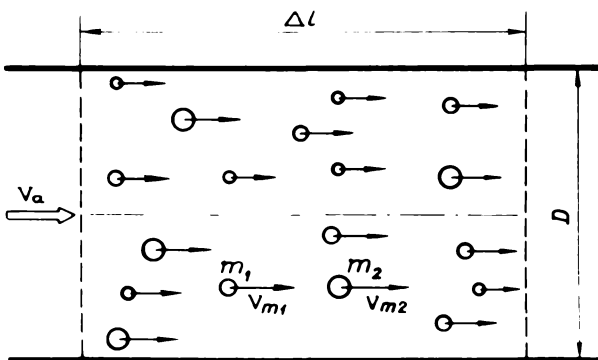


Fig. 14. Element de conductă în care se deplasează particule de diferite dimensiuni

Dacă se ciocnește central, cele două particule își vor continua drumul cu vitezele v'_{m_1} și v'_{m_2} , a căror valoare nu este cunoscută. Pentru determinarea pierderii de impuls este deci nevoie să se stabilească mărimele acestor viteze.

APLICIND teorema impulsului proiectat pe linia centrelor celor două particule și făcind observația că în timpul ciocnirii nu intervin decât percuțiile de legătură, rezultă:

$$n_1 v_{n_1} + n_2 v_{n_2} = n_1 v'_{n_1} + n_2 v'_{n_2} \quad (97)$$

Conform legilor generale ale cicoenirii, pierderile de impuls au forma:

$$\Delta i_{mn_1} = n_1 (v_{n_1} - v'_{n_1}) \quad (98)$$

$$\Delta i_{mn_2} = n_2 (v'_{n_2} - v_{n_2}) \quad (99)$$

Iată în considerație și valoarea coeficientului de restirare k , care caracterizează din punct de vedere elastic fenomenul de cicoire:

$$k = \frac{v'_{n_2} - v'_{n_1}}{v_{n_1} - v_{n_2}} \quad (100)$$

rezultă un sistem de ecuații (97) și (100) cu două necunoscute v'_{n_1} și v'_{n_2} pe care rezolvându-l se obține:

$$v'_{n_1} = v_{n_1} - \frac{(v_{n_1} - v_{n_2})(1 + k)}{1 + \frac{n_1}{n_2}} \quad (101)$$

$$v'_{n_2} = v_{n_2} + \frac{(v_{n_1} - v_{n_2})(1 + k)}{1 + \frac{n_2}{n_1}} \quad (102)$$

Inlocuind aceste valori în relațiile (98) și (99) pierderile de impuls devin:

$$\Delta i_{mn_1} = \frac{n_1 n_2}{n_1 + n_2} (v_{n_1} - v_{n_2})(1 + k) \quad (103)$$

Pentru Δi_{mn_2} valoarea este aceeași dar cu semnul schimbat.

Numărul probabil de cicoiri între particulele de masă n_1 cu cele de masă n_2 , în interiorul conductei se poate

determină cu o relație de forma:

$$n_0 = \frac{v_{m_1} - v_{m_2}}{l_p} n_{m_1} \quad (1e4)$$

în care:

n_{m_1} - reprezintă numărul de particule de masă m_1 , dintr-un volum determinat de conductă;

l_p - parcursul liber mijlociu (distanță între două cicoaniri).

Numărul probabil de particule de masă m_1 este:

$$n_{m_1} = \frac{v_{m_1}}{A \cdot v_{m_1} \cdot n_1} = \frac{\rho_{m_1}}{n_1} \quad (1e5)$$

iar al particulelor de masă m_2 :

$$n_{m_2} = \frac{v_{m_2}}{A \cdot v_{m_2} \cdot n_2} = \frac{\rho_{m_2}}{n_2} \quad (1e6)$$

În analogie cu teoria gazelor, parcursul liber mijlociu, adică distanță liberă medie pe care o parcurg particulele de masă m_1 pînă intîlnesc particule de masă m_2 , este definit prin expresia:

$$l_p = \frac{4}{\pi d_t^2 n_{m_2}} \quad (1e7)$$

în care:

d_t - diametrul în timpul cicoanirii particulelor = $d_1 + d_2$

Avind în vedere că masa unei particule sferice este:

$$m = \frac{\pi d_t^3}{6} \rho_m \quad (1e8)$$

rezultă pentru numărul de cicoaniri relația:

$$n_0 = \left(\frac{\rho_{m_1} - \rho_{m_2}}{\pi d_t^3} \right) \cdot \frac{\rho_{m_2}}{\frac{\pi d_t^3}{6} \rho_{m_1}} \cdot \frac{\pi (d_1 + d_2)^2}{4} \quad (1e9)$$

sau:

$$n_0 = (v_{m_1} - v_{m_2}) \frac{9}{\pi} \cdot \frac{\rho_{mv_1} \rho_{mv_2}}{\rho_{m_1} \rho_{m_2}} \cdot \frac{(d_1 + d_2)^2}{d_1^3 d_2^3} \quad (11c)$$

Introducând valorile mărimilor determinate cu relația (103) și (11c) în relația (16) se obține expresia pierderilor de presiune cauzate de ciocnirea particulelor de nătreț concentrat între ele, în timpul transportului pneumatic, sub forma:

$$\Delta p_{mn} = \frac{3}{2} (v_{m_1} - v_{m_2})^2 (1+k) \frac{\rho_{mv_1} \rho_{mv_2} (d_1 + d_2)^2}{d_1^3 \rho_{m_1} + d_2^3 \rho_{m_2}} \quad (11d)$$

Este evident că aplicarea în practică a acestei ecuații este dificilă deoarece mărimile unor termeni ce reprezintă caracteristici ale particulelor ce se deplasează în interiorul conductei pot fi determinate separat, cu multă greutate.

Avind în vedere însă că în cazul amestecului binar - aer - particule solide - luat în studiu, toate particulele sunt din același material, autorul punând următoarele condiții:

$$\rho_{mv_1} + \rho_{mv_2} = \rho_{mv} \quad (11e)$$

$$\rho_m = \frac{1}{2} (\rho_{m_1} + \rho_{m_2}) \quad (11f)$$

$$d = \sqrt[3]{d_1^3 + d_2^3} \quad (11g)$$

propune includerea caracteristicilor constante ale nătreșurilor concentrate măcinante într-un coeficient de rezistență λ_{mn} cauzat de ciocnirea particulelor între ele.

Deci se scrie relația pentru pierderile de presiune produse de ciocnirea particulelor între ele în timpul transportului pneumatic într-o conductă orizontală cu secțiune circulară, într-o formă analogă cu relația pentru pierderile de presiune datorită frecării și ciocnirii între particule și peretele conductei, atunci, avind în vedere că pentru coeficiențul de rezistență λ_{mn} este valabilă relația:

$$\lambda_{mn} = \frac{D}{4} \frac{\rho_{mv}}{\rho_m} \frac{(v_{m1} - v_{m2})^2}{\sqrt{\frac{L}{m}}} \cdot \xi \quad (115)$$

se obtine:

$$\Delta P_{mn} = \lambda_{mn} \frac{\rho_{mv} v^2}{2} \frac{L}{D} \quad (116)$$

Determinarea pe cale teoretică a coeficientului λ_{mn} este posibilă numai în cazuri speciale, dacă particulele existente în conductă se deosebesc între ele în mod clar, printr-o caracteristică a lor, ceea ce rezultă, că în cazul mătrețurilor concentrate măcinante este foarte dificil. Valoarea acestui coeficient poate fi determinată pe cale experimentală în cadrul unui coeficient global, procedeu folosit de autor în cadrul acestei lucrări.

Relațiile deduse pentru determinarea pierderilor de presiune datorită frecării aerului cu peretii conductei (69), a pierderilor de presiune datorită frecării și ciocnirii particulelor de material cu peretii conductei (95) și a pierderilor de presiune datorită ciocnirii între particule în conductă de transport (116), se înlocuiesc în relația (66) obținindu-se expresia pierderilor de presiune totale sub forma:

$$\Delta p = p_1 \left(1 - \sqrt{1 - \frac{\lambda_{m0}}{p_1} \frac{\rho_{mv}^2}{2g} \frac{L}{D}} \right) + (\lambda_{m0} + \lambda_{mn}) \frac{\rho_{mv} v^2}{2} \frac{L}{D} \quad (117)$$

Analizând ecuația (117) se poate afirma - comparând-o cu ecuațiile existente destinate pentru calculul pierderilor totale de presiune, într-o conductă orizontală cu secțiune circulară - următoarele:

- în ecuația (117) se ia în considerație pentru prima dată variația gradientului de presiune a curentului de aer, făcindu-se astfel ca expresia matematică să reprezinte într-adevăr fenomenul ce se produce în timpul transportului pneumatic într-o conductă orizontală cu secțiune constantă, a aerului.

- Termenul $\rho_{mv} = \frac{4}{\pi} A \cdot v_m$, utilizat de asemenei pentru prima dată în expresia pierderilor de presiune, exprimă situația

reală ce se creiează în conductă de transport în ceea ce privește densitatea particulelor sub influența vitezei de deplasare.

- Coeficientul pierderilor de presiune datorită frecării și ciocnirii particulelor de material cu peretii conductei λ_{m_0} și cel al pierderilor de presiune datorită ciocnirii particulelor între ele λ_{mn} , vor fi determinate pe cale experimentală în cadrul unui coeficient global. Astfel, pentru prima dată va fi stabilită valoarea acestui coeficient și pentru materiale ce același folosite în fabricile de nutrețuri combinate și anume nutrețurile concentrate măcinate.

CAPITOLUL 2.

CONTRIBUȚIA TEORETICĂ PRIVIND ASTERGINAREA VITESEI PASEI- CULOR DIN NUTREȚ CONCENTRAT MĂCINAT, ÎN CONDITII DE PORTULUI PNEUMATIC, ÎN CONDUCTĂ ORIZONTALĂ CU SECȚIUNE CIRCULARĂ

Viteza particulelor de material transportat, este unul din parametrii importanți ai transportului pneumatic, deoarece poate condiționa dimensiunarea corectă a instalațiilor de transport sau alegerea unui regim economic de lucru.

Cu toate acestea, pînă în prezent, viteza particulelor ce se deplasează într-o conductă orizontală cu secțiune circulară constantă, rămîne încă una din problemele care nu au fost rezolvate satisfăcător. Acest lucru se reflectă atît în contradicțiile ipotezelor, cît și în rezultatele lucrărilor experimentale ale mai multor cercetători [7, 11, 15, 27, 31, 35, 49, 72, 73, 79, 90, 104, 111, 115, 121 și alții] care s-au ocupat de dinamica particulelor transportate pneumatic.

In urma studiului efectuat asupra acestor lucrări, autorul își propune să determine viteza particulelor de nutreț concentrat măcinat, utilizând o metodă originală, bazată pe rezultatele încercărilor experimentale proprii, privind pierderile totale de presiune ce se produc la deplasarea acestor nutrețuri în conductă orizontală cu secțiune circulară.

Astfel, este cunoscut că în timpul transportului pneumatic într-o conductă orizontală, există o diferență între viteza curentului de aer și a particulelor de material, care provoacă fiecărei particule separat, sau norului de particule, o forță de frecare, datorită căreia sunt antrenate în mișcare în sensul de deplasare al aerului.

Pentru stabilirea echitației mișcării particulelor de la un alt loc, concentrat născinat, în cadrul regimului stabilizat de transport pneumatic, autorul face următoarele ipoteze simplificatoare:

- conducta de transport este dreaptă, dispusă în plan orizontal și are secțiune circulară constantă;
- viteză curentului de aer în conductă de transport este constantă;
- toate particulele de nutreț concentrat născinat se deplasează în plină mișcare;
- prezența unui număr mare de particule de nutreț concentrat în interiorul conductei, nu influențează condițiile de acclimatizare a acestora de către aerul de transport.

În aceste condiții se poate admite, că forța de frecare, care apare datorită diferenței de viteză între curentul de aer și particulele solide, are o expresie de forma:

$$F_{\text{fr}} = m_p \cdot g \left(\frac{v_a - v_p}{v_p} \right)^2 \quad (118)$$

Cunoscând debitul de material care se introduce în conductă de transport, masa totală a particulelor existente la un moment dat într-un element de conductă cu lungimea Δl este:

$$m_p = \frac{v_a \cdot \Delta l}{v_B} \quad (119)$$

Pierderile de presiune ce apar datorită frecării particulelor de material cu aerul, pot fi scrise în acest cas astfel:

$$\Delta P_{\text{fr}} = \frac{v_a \cdot g}{A \cdot v_B} \cdot \Delta l \left(\frac{v_a - v_p}{v_p} \right)^2 \quad (120)$$

Avind în vedere că într-o conductă orizontală cu secțiune circulară, forța de întrenare a particulelor de material în direcția de deplasare a curentului de aer, trebuie să învingă rezistențele ce apar datorită frecării și ciocnirii particulelor între ele, se poate scrie:

$$\Delta P_{sc} = \Delta P - \Delta P_{fr} = \Delta p_{sc} + \Delta p_{fr} \quad (121)$$

Intrucât valorile pierderilor totale de presiune și a pierderilor de presiune produse de frecarea aerului cu peretele conductei vor fi determinate pe cale experimentală, rezultă că utilizând relația (120) se poate calcula raportul vitezelor v_s/v_a folosind expresia:

$$\frac{v_s}{v_a} = \frac{\frac{C_p \cdot v_a \cdot g \cdot L}{(\Delta P - \Delta P_{sc})^{1/2} \cdot v_p^2}}{(1 - \frac{v_s}{v_a})^2} \quad (122)$$

în care:

v_p – viteză de plutire a particulelor de material.

Pentru intervalul $\frac{d}{D} = 0$ la $\frac{d}{D} = 0,25$ folosit mai frecvent în transportul pneumatic, viteză de plutire a particulelor de material în conductă de transport se poate calcula cu suficiență aproximativă cu relația dată de V.A.Uspenski [114] verificată cu bune rezultate și de alți cercetători:

$$v_p = \sqrt{\frac{4}{3} \frac{g \cdot d}{\psi} \frac{\delta_m}{\delta_n} \left[1 - \left(\frac{D}{d} \right)^2 \right]} \quad (123)$$

în care:

ψ – coeficient de presiune a aerului asupra particulelor de material sferice. Se determină în funcție de numărul lui Reynolds.

Relația (123) este valabilă pentru determinarea vitezelor de plutire numai a particulelor de formă sferică. Pentru particule de altă formă, situație întâlnită la măcinisul de ore, grotul de floarea soarelui, tărîte și alte nutrețuri concentrate măcinante, trebuie să se ia în considerație diametrul

aferei echivalente și factorul de formă al particulei.

Diametrul aferii echivalente este:

$$d_{\text{eq}} = \sqrt{\frac{6}{\pi} V} \quad (124)$$

în care:

V – volumul unei particule de material.

Astfel ecuația vitezei de plutire pentru cazul general capătă forma:

$$v_p' = \sqrt{\frac{4}{3} \frac{g \cdot d_{\text{eq}}}{k_p \cdot c} \left[1 - \left(\frac{d_{\text{eq}}}{D} \right)^2 \right]} \quad (125)$$

unde:

k_p – factorul de formă al particulei.

Mărimea factorului de formă k_p și a raportului $c = v_p'/v_p'$ pentru particulele de material de diferite forme sunt prezentate în tabelul nr. 3

tabel nr. 3

Forme corpului	k_p	c
- Sferă	1	1
- Formă rotunjită sau suprafață neregulată	2,5	0,64
- Corp alungit	3	0,57
- Plată	5	0,45

Analizind ecuația (122) stabilită de autor pentru viteza particulelor de aer, concentrat săcianat, ce se deplasează într-o conductă orizontală cu secțiune circulară, se poate constata că aceasta depinde de mărimea vitezei curentului de aer, de debitul de alimentare, de parametrii constructivi ai conductei și de viteză de plutire a particulelor.

Tendința de micșorare sub anumite limite a vitezei materialului, în scopul micșorării pierderilor de presiune, pentru obținerea unui rendament cît mai bun al instalației de transport pneumatic, este limitată în cazul conductelor orizontale de fenomenul de depunere. Deoarece se alege o viteză a parti-

culegă mai mare decit valoarea minimă pentru transportul prin plutire, atunci pe lîngă funcționarea mecanică a instalației, apar și alte dezavantaje cum sunt: greutatea separării particulelor transportate de curentul de aer; uzura prematură a conductelor de transport etc.

Din această cauză este necesar să se determine viteza corespunzătoare a particulelor de suflare concentrat măcinat, care să asigure transportul prin plutire dar cu un consum minim de energie, problema ce va fi rezolvată de autor în capitolul acestei lucrări.

CAPITOLUL 3

CONTRIBUȚIILE TEORETICE PRIVIND DETERMINAREA GRADULUI DE UTILIZARE A ENERGIEI ÎN CONDIȚIILE TRANSPORTULUI PNEUMATIC AL AUTOMOBILILOR CONCENTRATE MĂCINATE. INTRODUCEREA ORIZONTALĂ CU SECȚIUNE CIRCULARĂ

Consumul de energie al instalațiilor de transport pneumatic, reprezintă elementul determinant în alegerea soluției constructive și a regimului de funcționare a acestor instalații.

O apreciere obiectivă a unei instalații de transport pneumatic, sub aspectul consumului de energie, considerăm că se poate face prin intermediul gradului de utilizare a energiei η_u . Această măsură, reprezintă raportul între capacitatea de extracție a materialului în condițiile transportului pneumatic, pe lungimea unei conducte orizontale cu secțiune circulară constantă și puterea curentului de aer utilizat pentru transport, adică:

$$\eta_u = \frac{Q_{\text{ex}} \cdot g \cdot L}{\Delta p \cdot A \cdot v_s} \quad (126)$$

Inlocuind în această relație valoarea pierderilor de presiune totale stabilită de autor cu ecuația (117) se obține:

• 8. L

$$\eta_a = \frac{P_1 \left[\left(1 - \sqrt{1 - \frac{\lambda_{sc}}{P_1} \frac{v_a^2}{2g} \frac{L}{D}} \right) + (\lambda_{sc} + \lambda_{ss}) \frac{\rho v_a^2}{2} \frac{L}{D} \right] \cdot v_a}{(127)}$$

în care:

L = lungimea conductei de transport, de la secțiunea de alimentare cu material, pînă la instalația de separare.

Analizind relația (127) stabilită de autor, rezultă că gradul de utilizare a energiei se îmbunătățește cîndăi cu creșterea debitului de alimentare v_a reportat la secțiunea conductei A. Dar cum intr-o conductă de transport pneumatic, o dată cu creșterea debitului de material crește atît coeficientul λ_{sc} cît și λ_{ss} , iar viteza curentului de aer v_a trebuie sărită pentru a se asigura transportul, rezultă că, pentru fiecare secțiune de conductă există o valoare optimă atît pentru o anumită încărcare cu material a conductei cît și pentru o anumită putere a curentului de aer utilizat pentru transport.

Pentru determinarea efectivă a gradului de utilizare a energiei în cadrul instalației experimentale, se vor folosi datele încercărilor privind determinarea pierderilor totale de presiune, viteza curentului de aer precum și valorile reale ale debitului de material existent în coaducă de transport. Legat de acest aspect, se poate face completarea că o utilizare ratională a energiei curentului de aer, ceea ce caracterizează regimul optim de funcționare, se obține dacă alimentarea cu material în conductă este uniformă, iar viteza curentului de aer rămîne atît de mică, încît deplasarea surpușului concentrat adăinsit în conductă se face totuși în limitele transportului pneumatic.

CONCLuzii

Cercoșările teoretice ale autorului privind stabilitatea unei metode de calcul a pierderilor de presiune ce se prezintă

la deplasarea nutrețurilor concentrate măcinate în condițiile transportului pneumatic într-o conductă orizontală cu secțiune circulară, determinarea vitezei particulelor de material în conductă de transport și determinarea gradului de utilizare a energiei utilizate în cadrul transportului pneumatic, au loc în evidență următoarele:

-- Pentru calculul pierderilor de presiune produse de frearea aerului cu peretii conductelor lungi întărite în cadrul fabricilor de nutrețuri concentrante combinate, trebuie să se ia în considerație variația gradientului de presiune. Relația (69) stabilită de autor pentru calculul acestor pierderi exprimă în mod real fenomenul ce are loc în instalațiile de transport pneumatic cu conducte lungi, la urgerea curentului de aer.

-- Având în vedere regimul de curgere a aerului în cadrul instalației experimentale pe care o utilizăm, autorul adoptă pentru determinarea stării coefficientului de rezistență λ_{sc} expresia (43) care a fost încercată cu bune rezultate și de alții cercetători.

-- Pentru determinarea pierderilor de presiune datorită frecării și ciocnirii particulelor de nutreț concentrat măcinate cu cerneale conductei orizontale, autorul a stabilit relația (95) considerind că aceste pierderi sunt influențate de debitul de material existent în conductă de transport, de numărul de ciocniri probabil ai particulelor de material la parcurgerea unei anumite lungimi de conductă, de pierderile de viteză la fiecare ciocnire și de parametrii constructivi ai conductei de transport.

-- Nutrețurile concentrate măcinate se prezintă sub forma unor particule cu dimensiuni ce variază de la 0,1 - 3 mm. În timpul transportului pneumatic în conductă orizontală cu secțiune circulară, aceste particule de nutreț sunt extrăbate în mișcare de curentul de aer cu viteză de deplasare diferite. Din acestă cauză, particulele se ciocnesc între ele producindu-se o dissipare a energiei lor cinetice.

Autorul considerind acest aspect, o particularitate a transportului pneumatic al nutrețurilor concentrate măcinate care nu a fost studiată pînă în prezent, a stabilit relația

(116) pentru calculul pierderilor de presiune cauzate de cizernirea particulelor de material între ele.

- Ecuatia (117) stabilită de autor, pentru determinarea maximii pierderilor totale de presiune, are în compoziție termenii care țin seama de influența factorilor principali (D_1 , V_a , r_a , ρ_{av} , v_m , L , D , λ_{ac} , λ_{sc} , λ_{sm}) asupra acestor pierderi.

- Ecuatia (122) stabilită de autor pentru determinarea vitezei particulelor de mutare concentrat năcinsat ce se deplasează într-o conductă orizontală cu secțiune circulară, precizează că acest parametru depinde de viteză curgențului de aer, de debitul de alimentare cu material, de parametrii conductei și de viteză de plătire a particulelor.

- Autorul propune ca aprecierea unei instalații de transport pneumatic sub aspectul consumului de energie să se facă prin intermediul gradului de utilizare al energiei η_u . În acest sens a stabilit ecuație (127) din care rezultă că pentru fiecare secțiune de conductă există o valoare optimă a acestui grad de utilizare a energiei, atât pentru o anumită încărcare cu material în conductă cît și pentru o anumită putere a curentului de aer utilizat pentru transport.

PARTea III-a

CONȚINUTUL EXPERIMENTAL PRIVIND STABILIZAREA REGIMULUI OPTIM DE TRANSPORT PNEUMATIC AL NUTREȚURILOR CONCENTRATE MAȘINATE.

ÎN CONDUCĂ ORIZONTALĂ CU SECȚIUNE CIRCULARĂ

CAPITOLUL 1

INSTALAȚIA EXPERIMENTALĂ

Incerările experimentale asupra procesului de transport pneumatic al nutrețurilor concentrate măsinate, în conductă orizontală cu secțiune circulară, s-au efectuat pe o instalație concepută, proiectată și realizată de autor prin colaborare în cadrul laboratorului Catedrei de mașini agricole de la Facultatea de mecanică agricolă, din Timișoara.

Instalația experimentală (fig.15) este formată din următoarele părți:

– colectorul de aspirație (1), conducta inferioară de transport (2), tubul Pitot (3), micromanometrul (4), dispozitivul de alimentare (5), coșul de alimentare (6), vibratorul (7), motorul de acționare (8) al dispozitivului de alimentare, variatorul (9), cotul (10), conducta verticală de transport (13), clapeta (14), colectoarele (15), conducte de aspirație (16), ecluma (17), ventilatorul (18) și bateria de piezometre (19).

În scopul asigurării unei curgeri uniforme a curentului de aer în interiorul conductei de transport, profilul colectorului de aspirație (fig.16) a fost realizat după lemelele lui Bernoulli, relația curbei de profil fiind:

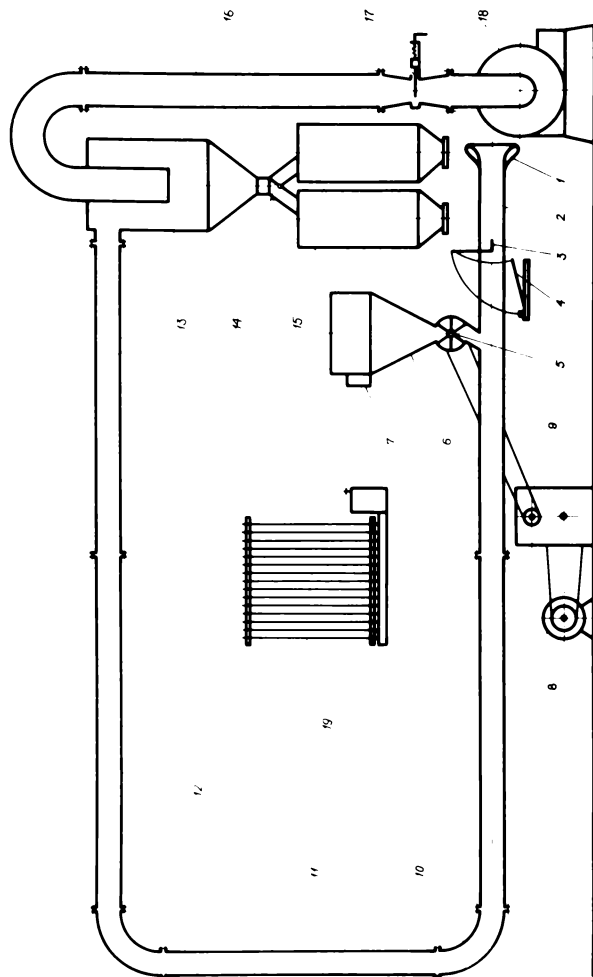
$$y^2 = a^2 \cos 2\alpha \quad (128)$$

în care:

$$a = (0,6 - 0,8)D$$

D – diametrul interior al conductei de transport (m).
Conducta de transport este formată din două tronco-

Fig. 25. Schema instalatiei experimentale pentru transportul pneumatic al
structurilor ceramice obtinute



ne orizontale (2) și (12) cu lungimea de 15 m fiecare, un tronson de 2 m (11) dispus vertical și două coturi (10) de $\pi/2$ rad. Diametrul interior al conductei și coturilor este $D = 0,142$ m, fiind fabricată din laminate de otel.

Îmbinarea tronconelor este făcută cu flange de extensare și asigurată cu ajutorul unei substanțe de etansare.

Pe tronsonul inferior al conductei, la distanța $l_1 = 12 D$ de la colectorul de aspirație este fixat tubul Pitot (3) pentru măsurarea sarcinii de stagnare.

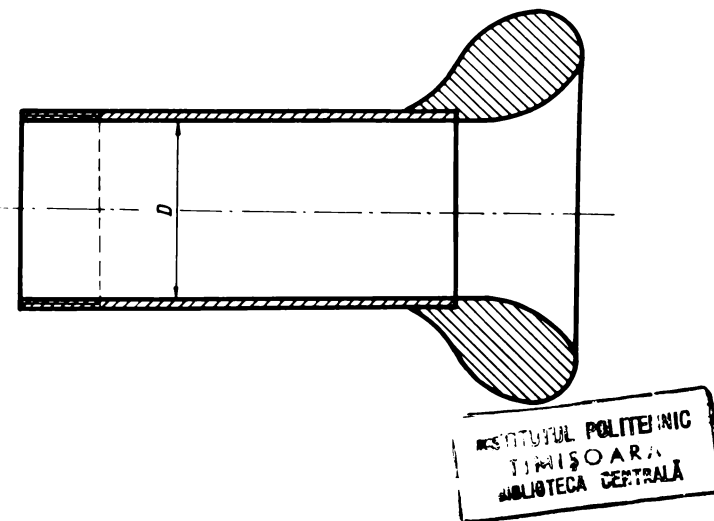


Fig.16. Schema colectorului de aspirație

Pentru determinarea vitezei medii a curentului de aer, în secțiunea de măsurare s-a realizat două prisi, una la nivelul diametrului orizontal iar cealaltă pe diametrul vertical. La fiecare priză s-a montat cîte un dispozitiv pentru deplasarea tubului Pittot de-a lungul diametrului, în scopul stabilirii vitezei curentului de aer.

Secțiunea de alimentare cu material a conductei, este practicată la distanța $l_2 = 5 D$ de la secțiunea în care se fac măsurările pentru vîrsta curentului de aer.

Pe toată lungimea conductei de transport sunt mon-

tate din metru în metru prinse pentru măsurarea presiunii statice. Într-o secțiune de măsurare (fig.17) sunt montate normal pe conductă (1) șase prize statice (2) conform schemei, descalate cu $\pi/3$ rad.

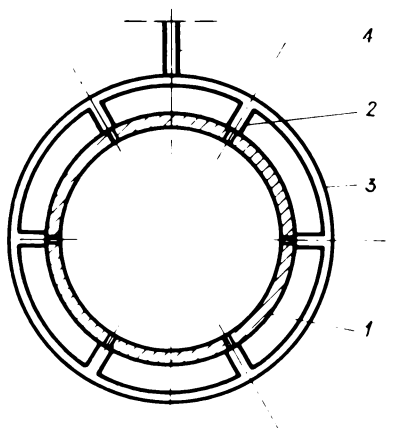


Fig.17. Schema secțiunii de colectare a presiunii statice medii

Prisele sunt legate la un inel colector (3) care prin intermediul unui tub de cauciuc (4) se leagă la bateria de piezometre (1).

Acest sistem de colectare a presiunii statice medii conduce la evitarea erorilor de măsurare cauzate de instalăție.

Dispozitivul de alimentare (5) cu nutrețuri concentratate micinante, a conductei de transport pneumatic, este format dintr-o carcăsă prevăzută cu două degajări una în legătură cu coșul de alimentare iar cealaltă în legătură cu conductă, și un rotor cu palete.

Rotorul este prevăzut cu șase palete metalice care la extremități au prelungiri din cauciuc pentru etanșare cu carcăsa. Diametrul exterior al paletelor este $D_g = 0,200$ m, diametrul interior $D_i = 0,040$ m iar lungimea activă a paletelor $l_g = 0,135$ m. Dispozitivul de alimentare este legat etanș cu conducta de transport pneumatic, printr-un tub de legătură montat înclinat

sub un unghi de $5\pi/12$ rad. față de axa conductoarei în sensul de curgere a curentului de acr.

Rotorul dosatorului este actionat de la motorul electric (6) cu $P = 1,5$ kW și $\omega = 149$ rad/s (1450 rot/min) prin intermediul unui varistor de turărie cu curele trapezoidale și al unui reductor, sistem care a permis modificarea vitezei de rotație în mod continuu în limitele $(0,52 - 4,6)$ rad/s ($5 - 44$ rot/min).

Cogul de alimentare (6) confectionat din tablă, are o formă trapezoică cu unghiul de inclinare a părții inferioare de $5\pi/12$ rad (75°) pentru a se asigura acurajarea normală a măcinășului către dispozitivul de alimentare.

Pentru evitarea formării boltilor în masa materialului, în vederea asigurării uniformității de alimentare a conductoarei de transport, cerință deosebită de importanță pentru stabilirea cu exactitate a mărinilor ce sunt urmărite în timpul transportului pneumatic, pe cogul de alimentare s-a montat un vibrator (7).

Vibratorul (fig.18) este format din următoarele elemente: un redresor cu 15 plăci de seleniu (1), un transformator (2) cu $P_{abg} = 150$ W și un jug metalic (3) menținut într-o poziție de echilibru de către arcurile (4).

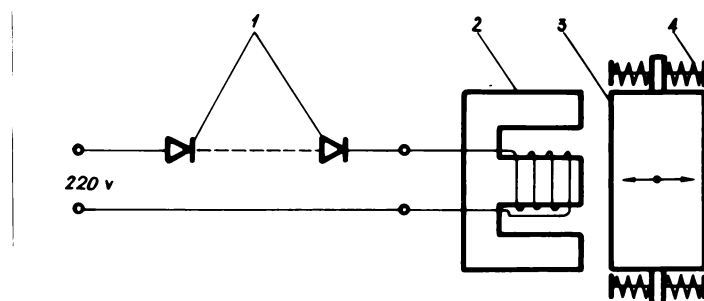


Fig.18. Schema vibratorului

În timpul funcționării, jugul (3) care este montat pe cogul de alimentare li impună coectuia vibrării care impie-

dică formarea de bolti și asigură curgerea uniformă a materialului către dispozitivul de alimentare.

Ciclonul (15) destinat pentru separarea nutrețurilor concentrate măciunate de aerul de transport este prevăzut la partea inferioară cu două ramificații prin intermediul cărora se leagă cu colectoarele de material (15). Fuleta (14) servește la dirijarea materialului către unul din cele două colectoare. Colectoarele sunt prevăzute la partea inferioară cu capace etanșe demontabile și jghieaburi pentru evacuarea materialului.

Conducta de aspirație (16) confectionată din tablă, are diametrul interior $D_1 = 0,300$ m, este prevăzută la partea superioară cu un cot de π rad. cu o rază de curtură $R_c = 3D_1$. Conducta face legătura între ciclon și orificiul de aspirație al ventilatorului. Pe conductă se află montată coluna (17) pentru reglarea debitului de aer în conductă de transport.

Instalația de transport este echipată cu un ventilator de înaltă presiune (18) de tip monoaspirant model V-454/2 - F.P.P.V.S. cu debitul nominal $q_{m} = 4000 \text{ m}^3/\text{h}$, sarcina nominală $H_n = 340 \text{ dN/m}^2$, puterea electromotorului de acționare $P = 17 \text{ kW}$ cu $\omega = 314 \text{ rad/s}$ (3000 rot/min).

Bateria de piezometre (19) este formată dintr-un rezervor cu lichid colorat, pentru fotografierea bateriei, o conductă cu 30 ramificații, 38 de tuburi din sticlă recordate la ramificațiile conductei de lichid și la inelele de legătură ale prizelor de presiune statică prin intermediul unor tuburi de cauciuc. În timpul experimentelor, pentru fotografirea bateriei aceasta a fost iluminată continuu cu ajutorul a două lămpă electrice, fiecare emiind cîte 3 tuburi fluorescente de cîte 40 W.

Aparatul de fotografist a fost fixat pe un cadru rigid în fața panoului cu bateria de piezometre. Pentru cătărarea probelor în timpul experimentelor s-a folosit o basculă română de tipul Balanta Bibiu de 500 kg - MBL-Cl/2.

CAPITOLUL 2

METODICA INCERCARILOR

Cercetările experimentale efectuate de autor în scopul stabilirii regimului optim de transport pneumatic al nutrețurilor concentrate măcinate, în conducte orizontale cu secțiune circulară au cuprins: determinarea mărimii unor proprietăți fizico-mecanice ale nutrețurilor concentrate măcinate; determinarea debitului dosatorului de alimentare cu material la conductei de transport a instalației experimentale; determinarea profilului vitezei curentului de aer în conductă de transport; determinări ale pierderilor de presiune datorită frecării aerului cu peretele conductei de transport și determinări ale pierderilor de presiune totale. În scopul obținerii unor date cît mai sigure și complete autorul a folosit o metodică a încercărilor originală.

2.1. Determinarea granulozității nutrețurilor concentrate măcinate

Pentru încercările experimentale au fost utilizate următoarele nutrețuri concentrate măcinate:

- porumb măcinat
- orz măcinat
- tărîte
- șrot de floarea soarelui
- șrot de in
- șrot de soia

ACESTE MATERIALE AU FOST PROCURATE DE LA FABRICA DE NUTREȚURI COMBINATE BEREGEȘLIU JUD. TIMIȘ.

Cum obiectul acestei lucrări constă tocmai în studiul transportului pneumatic în conducte orizontale cu secțiune circulară a acestor materiale, au fost folosite nutrețuri concentrate măcinate din cadrul procesului tehnologic, adică cu proprietățile fizico-mecanice pe care le au în timpul fabricației.

Metoda de determinare a granulozității nutrețurilor concentrate măcinate se bazează pe stabilirea indicelui mediu

aritmetic al dimensiunilor particulelor de material.

Estimarea acestui indice se face în funcție de raportul cantitativ dintre particulele de diferite dimensiuni.

Pentru încercări s-a folosit un dispozitiv (fig.19) care cuprinde următoarele elemente: batiul sitelor (1), sitete (2), mecanismul pentru transmisia mișcării (3), mecanismul de acționare (4).

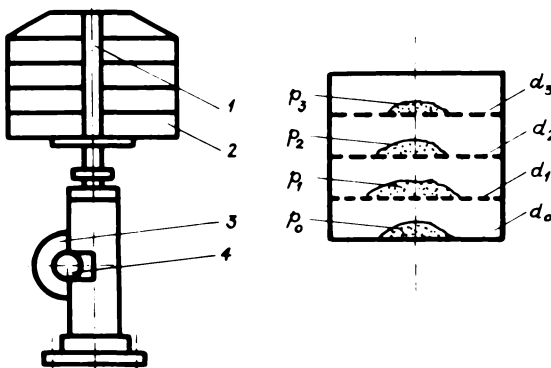


Fig.19. Schema dispozitivului pentru determinarea granulosității

Batiul (1) format din doi suporti laterali susține sitete (2) interschimbabile, cu orificii de diametre diferite. Sitete folosite au orificii cu diametrul $d_0 = 0$; $d_1 = 1$ mm; $d_2 = 2$ mm; $d_3 = 3$ mm.

Mecanismul de transmisie a mișcării (3) se compune dintr-o rolă ce urmărește profilul unei lame de acționare și transmite mișoarea imprimată de aceasta prin intermediul unui ax ghidat, batiului sitelor. Mecanismul de acționare este format dintr-o manivelă, pe al cărei ax se montează o cană cu patru proeminențe ce imprimă o mișcare de scuturare batiului sitelor.

Pentru determinarea granulosității cu ajutorul acestui dispozitiv, s-a folosit următoarea metodică:

— s-a colectat o probă de mutră concentrată măcinat și s-a introdus în dispozitiv. S-a acționat mecanismul de transmisie a mișcării cu o viteză de 12,5 rad/s (120 rot/min) timp de 120 sec.

După cernere s-a colectat produsul rămas pe fiecare sită și s-a cintărit cu ajutorul unei balanțe de laborator.

Pentru a se micșora influența erorilor întâmplătoare asupra rezultatelor cintăririi, s-au efectuat pentru fiecare probă de material cîte lo repetiții. Mărcarea absolută a cintăririi a fost de 0,02.

Granulozitatea măcinigului a fost stabilită cu ajutorul relației:

$$\delta = \frac{c_1 p_0 + c_2 p_1 + c_3 p_2 + c_4 p_3}{m} \quad (129)$$

în care:

p_0, p_1, p_2, p_3 — cantitățile de material rămas după cernere pe sitele respective (gr.);

c_1, c_2, c_3, c_4 — coeficienți ce reprezintă indicile mediu aritmetic între diametrele orificiilor a două site consecutive;

m — masă unei probe = 100 gr.

Rezultatele obținute sunt trecute în tabelul nr.4

Tabelul nr.4

Nr. ord.	Dezmărirea materialului	p_0 gr	p_1 gr	p_2 gr	p_3 gr	δ
1.	Porumb măcinat	53,37	41,25	5,16	0,22	1,02
2.	Ora măcinat	54,42	35,48	8,60	1,50	1,07
3.	Tărîțe	36,98	45,36	16,61	1,05	1,35
4.	Srot de în	68,22	25,55	5,17	1,06	0,89
5.	Srot de ecine	40,74	38,55	17,24	3,47	1,34
6.	Srot de floarea soarelui	40,16	29,50	16,04	14,30	1,54

Din analiza acestui tabel se pot trage următoarele concluzii:

- Deși granulositatea materialelor folosite în cadrul încercărilor experimentale este cuprinsă în limitele 0,89-1,54, totuși se poate constata că procentul particulelor < 1 mm variază în limitele 36,98 (tărîțe) - 64,22 (grut de in), al particulelor cuprinse între 1 - 2 mm variază în limitele 25,55 (grut de in) la 41,25 (porumb măcinat); al particulelor cuprinse între 2 - 3 mm variază în limitele 5,16 (porumb măcinat) - 17,24 (grut de soia) și al particulelor > 3 mm variază în limitele 0,22 (porumb măcinat) - 14,30 (grut de floarea soarelui).

Rezultă că în timpul transportului pneumatic al differentelor nutrețuri măcinate, în conductă de transport vor fi particule de dimensiuni diferite care pentru un anumit regim de funcționare se vor comporta în mod diferit. Din această cauză este necesar ca fenomenele ce au loc în conductă de transport să fie analizate global, stabilindu-se condițiile de funcționare optime pentru transportul pneumatic al unui amestec binar aer - particule solide - cu o astfel de compoziție.

2.2. Determinarea densității nutrețurilor concentrate măcinate, utilizate pentru încercările experimentale

Pentru determinarea densității relative a nutrețurilor concentrate măcinate s-a folosit metoda pionometrului, urmărindu-se următoarea relație:

$$\rho_m = \frac{n}{n'} \cdot \rho_a' \quad (13a)$$

în care:

ρ_m - densitatea relativă a materialului ($\text{kg} \cdot \text{m}^{-3}$);

n - masa materialului (kg);

n' - masa lichidului dislocuit ($\text{kg} \cdot \text{m}^{-3}$) la temperatură de 4°C .

În timpul determinărilor s-a folosit următorul utilaj și materiale:

- pionometru de 50 ml; creuzet; balanță de laborator;

trusă de greutăți; materialele a căror densitate relativă urmăriți să se determine și apă distilată cu temperatură de + 20°C.

Conform STAS 4500/1954 densitatea relativă a apei distilate, cu temperatură de + 20°C, în raport cu densitatea apei distilate (ρ_a) cu temperatură de + 4°C este:

$$\rho_a \text{ } 20 = 0,99823 \text{ (gr/cm}^3\text{)}$$

Decarece la balanțe sensibilitatea variază cu incărcărura, s-a efectuat cîntăririle necesare prin metoda lui Mendeleev (metoda sensibilității constante), adică metoda tarei constante. Astfel au fost utilizate pentru fiecare material cîte trei probe a 10 gr fiecare.

Rezultatele cîntăririlor s-au trecut în tabelul centralizator nr.6.

Pentru acuratețea determinărilor s-a efectuat calculul erorilor. Astfel pentru stabilirea erorii absolute a măsurărilor s-a procedat astfel:

S-a logaritmat expresia de bază (129) obținindu-se:

$$\ln \frac{\rho_m}{\rho_a} = \ln m - \ln m' + \ln \frac{\rho_a}{\rho_m} \quad (131)$$

Darivără, această expresie devine:

$$\frac{d \frac{\rho_m}{\rho_a}}{\rho_m} = \frac{dm}{m} - \frac{dm'}{m'} \quad (132)$$

Eroarea relativă maximă este dată de suma erorilor relative parțiale luate în vedere absolută. Cum erorile absolute la determinarea massei materialului (Δm) și a lichidului ($\Delta m'$) sunt egale, rezultă:

$$\frac{\Delta \rho_m}{\rho_m} = \left(\frac{1}{m} + \frac{1}{m'} \right) \Delta m \quad (133)$$

în care:

$\Delta \rho_m$ - eroarea absolută a măsurării densității relative.

Determinarea erorii absolute (Δm) s-a făcut astfel:

Pentru a măsura influența erorilor întâmplătoare asupra rezultatului măsurării, s-au cintărit cele trei probe pentru același material în condiții identice de temperatură și presiune. Valorile găsite pentru (m'_i) s-au notat cu $m'_1 = m'_{10}$.

Valoarea cea mai probabilă s-a obținut făcind valoarea medie (\bar{m}') a mărimilor individuale, adică:

$$\bar{m}' = \frac{\sum_{i=1}^{i=n} m'_i}{n} \quad (134)$$

S-a stabilit apoi eroarea aparentă (v) a valorilor individuale:

$$v = m'_i - \bar{m}' \quad (135)$$

și s-a determinat eroarea medie patratică cu ajutorul relației:

$$\sigma = \pm \sqrt{\frac{\sum (m'_i - \bar{m}')^2}{(n-1)}} \quad (136)$$

Precizia valorii probabile este caracterizată prin eroarea absolută a aparatului $\Delta m = \Delta m'$, stabilită în cazul erorilor distribuite normal (distribuția lui Gauss) cu ajutorul expresiei:

$$\Delta m = \frac{2}{3} \sqrt{\frac{\sum (m'_i - \bar{m}')^2}{n(n-1)}} \quad (137)$$

Rezultă că valoarea măsurării poate fi exprimată prin expresia:

$$m' = \bar{m}' \pm \Delta m \quad (138)$$

Determinarea erorii absolute a aparatului s-a făcut pentru un singur material (porumb măcinat) introdus pentru restul materialelor valoarea ei se menține deoarece condițiile în care se execută măsurările sunt identice.

Datele obtinute au fost trecute in tabelul nr.5.

Tabelul nr.5

Nr. ord.	n_1'	$v_1 = n_1 - \bar{n}'$	$v_1^2 = (n_1 - \bar{n}')^2$
1.	7,210	- 0,020	0,0004
2.	7,300	+ 0,070	0,049
3.	7,110	- 0,120	0,0144
4.	7,170	- 0,060	0,0036
5.	7,350	+ 0,120	0,0144
6.	7,130	- 0,100	0,0100
7.	7,320	+ 0,090	0,0081
8.	7,140	- 0,090	0,0081
9.	7,210	- 0,020	0,0004
10.	7,360	+ 0,130	0,0169
	$\bar{n}' = 7,230$	$v_1 = \begin{cases} +0,410 \\ -0,410 \end{cases}$	$\sum v_1^2 = 0,0512$

- abaterea medie patratice:

$$\sigma = \sqrt{\frac{\sum v_1^2}{n-1}} = 0,099$$

- eroarea absolută a aparatului:

$$\Delta n = \frac{2}{3} \sqrt{\frac{\sum v_1^2}{n(n-1)}} = 0,02$$

rezultă că valoarea reală a măsurării este:

$$m^* = 7,230 \pm 0,02$$

În calcule, valoarea densității relative a fost luate cu trei zecimale pentru a corespunde gradului de precizie al determinărilor.

Paralel cu aceste determinări s-au făcut și cele privind umiditatea materialelor. Astfel au fost luate cîte 10 probe pentru fiecare material și utilizîndu-se metoda studiului s-a determinat umiditatea pentru cele 5 nutrețuri concentrate măcinate folosita pentru încercările experimentale. Rezultatele sunt trecute în tabelul centralizator nr.6. De asemenea, în același tabel sunt trecute și valorile densității relative.

Din analiza datelor continute în acest tabel se poate constata că precizia măsurătorilor este satisfăcătoare, eroarea absolută $\Delta\varphi$ fiind cuprinsă între $26 \cdot 10^{-4}$ - $6,6 \cdot 10^{-4}$, valori acceptabile pentru materialele studiate.

Astfel, aceste date pot fi folosite în proiectare, completindu-se în acest fel golul existent în literatura de specialitate, cu privire la proprietățile nutrețurilor concentrate măcinate.

2.3. Determinarea coeficientului de frecare al nutrețurilor concentrante măcinate utilizate pentru încercările experimentale

În scopul determinării coeficientului de frecare dinamic autorul a conceput, proiectat și realizat un aparat a căruia schema este prezentată în fig.20.

Aparatul se compune din următoarele părți: camera inelară (1) în care se așază proba de material și căruia coeficient de frecare urmează să fie determinat, discul (2) ce se rotește în plan orizontal confecționat din același material ca și conductelor de transport, fată de care se stabilește coeficientul de frecare.

Tabelul nr. 5

	Numarul nr. ord.	Numele materialului	S	U	E ¹	E ²	$\frac{\Delta S}{S}$ in sec	$\frac{\Delta S}{S}$ 100%	$\Delta \sigma$	$\frac{\sigma_{\text{ini}} - \sigma_{\text{final}}}{\sigma_{\text{ini}}} \cdot 100\%$	$\frac{\sigma_{\text{ini}} - \sigma_{\text{final}}}{\sigma_{\text{ini}}} \cdot \frac{1}{2} \Delta \sigma$
1.	Porumb dulcat	1,62	14,10	10,000	7,230	1,342	0,476	0,00066	1,342	+	0,00056
2.	șopt de în	0,89	11,95	10,000	7,360	1,252	0,450	0,00056	1,252	+	0,00056
3.	șopt de soia	1,34	12,70	10,000	6,020	1,246	0,440	0,00055	1,245	+	0,00055
4.	țurite	1,33	13,60	10,000	6,160	1,222	0,444	0,00053	1,222	+	0,00053
5.	șopt de floarea	1,54	9,55	10,000	6,650	1,155	0,430	0,00049	1,155	+	0,00049
6.	oase dulcat	1,07	13,80	10,000	6,120	1,085	0,233	0,00026	0,00026	-	0,00026

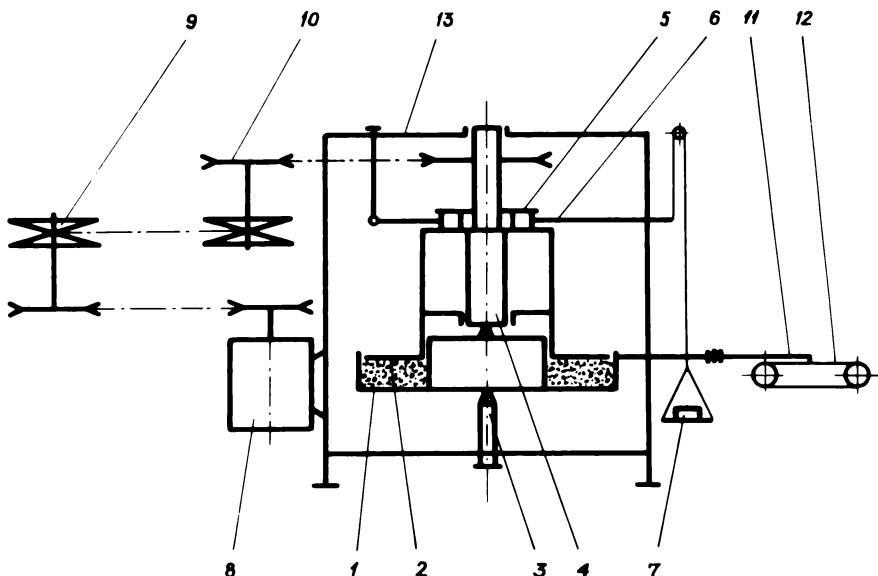


Fig.20. Schema aparatului pentru măsurarea coeficientului de frecare dinamic

Pentru a măsura rotirea camerei inelare în jurul ei-
zelor adică pentru reducerea frecării, camera se sprijină prin
intermediul a două prisme, ceea înferioră (3) având posibili-
tatea deplasării în plan vertical.

Discul (2) care acoperă camera inelară și vine în contact cu proba de material, se rotește odată cu axul (4) având posibilitatea de deplasare în plan vertical deoarece lungul axei sale.

În vederea realizării a diferite presiuni specifice asupra probei de material, solidar cu discul (2) este fixată forța (5) în care se montează pirghia (6) ce se sprijină într-un capăt pe cadrul (13) iar în celălalt capăt se sprijină prin intermediul greutății (7).

Transmisia mișcării de rotație la axul (4) se rea-

liniează de la motorul (8) prin intermediul variatorului (9) și a transmisiei (10).

Variatorul permite obținerea a diferite vitezei de rotație a discului (2).

Aparatul este prevăzut cu un dinamograf (fig.21) pentru măsurarea și înregistrarea momentului de torsion.

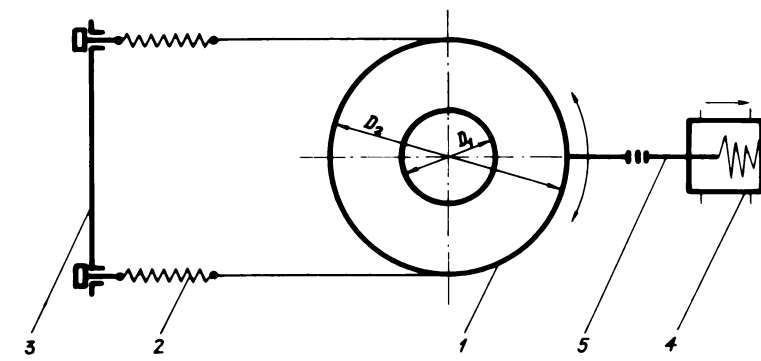


Fig.21. Schema dinamografului aparatului

Dynamograful aparatului constă din două arcuri tarate (2) fixate de camera inelară (1) și de cadrul (3) precum și mecanismul de înregistrare a momentului de torsion a camerei inelare format din masa de înregistrare (4) și pișghie (5). Bandă pe care se face înregistrarea se deplasează cu o viteză de $v = 25 \text{ mm/s}$.

În timpul rotirii discului orizontal al aparatului, camera inelară va fi sub acțiunea momentului de frecare (M_f) care apare între suprafața discului și probe de material și care îi va produce rotație sub un unghi care căreacă α , atât timp cit nu este echilibrat de tensiunea arcurilor.

Unghiul de rotație al camerei inelare, înregistrat la o anumită scără, se exprimă prin momentul de frecare căutat.

In vederea interpretării datelor ce se obțin cu acest aparat, s-a stabilit pe cale analitică expresia coeficientului de frecare dinamic, în funcție de parametrii construcționali și funcționali ai aparatului.

Considerind un element de suprafață al camerei înclinate (fig.22) $d\Omega$, delimitat de două arce de cerc de rază R și $\alpha + d\alpha$ precum și două raze vectoare care formează unghiul $\theta + d\theta$, expresia lui $d\Omega$ este:

$$d\Omega = R \cdot d\theta \cdot d\alpha \quad (139)$$

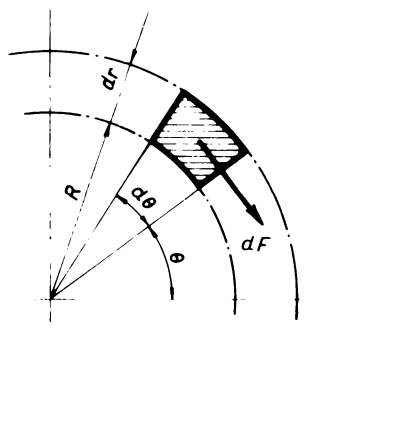


Fig.22. Schema elementului de suprafață

Asupra acestei suprafețe acționează forță elementară de frecare:

$$dF = p_g \cdot f \cdot d\Omega \quad (140)$$

în care:

p = presiunea specifică ce se manifestă pe suprafața materialului;

f = coeficientul de frecare dinamic.

Momentul de frecare produs de această forță poate fi exprimat prin relația:

$$dM_F = dF \cdot R \quad (141)$$

Inlocuind pe δF cu valoarea stabilită cu expresia (140) se obține:

$$dM_F = p_0 \cdot f \cdot \pi^2 \cdot d \cdot e \cdot dr \quad (142)$$

de unde:

$$M_F = \iint p_0 \cdot f \cdot \pi^2 \cdot dr \cdot de \quad (143)$$

Resolvind această integrală dublă în limitele:

$$M_F = p_0 f \int_{R_1}^{R_2} r^2 dr \int_0^{2\pi} de = p_0 f \frac{1}{3} (R_2^3 - R_1^3) 2\pi \quad (144)$$

se obține expresia momentului de freacție:

$$M_F = \frac{2\pi f \cdot p_0}{3} (R_2^3 - R_1^3) \quad (145)$$

Cunoscând valoarea presiunii specifice, p_0 , forța normală elementală se poate scrie astfel:

$$dN = p_0 d\Omega = p_0 \cdot R \cdot dr \cdot e \quad (146)$$

de unde:

$$N = \iint p_0 \cdot R \cdot dr \cdot e \cdot 1 \quad (147)$$

Resolvind și această integrală dublă în același limite se obține:

$$N = p_0 \int_{R_1}^{R_2} r \cdot dr \int_0^{2\pi} de = \frac{p_0}{2} (R_2^2 - R_1^2) 2\pi = \pi p_0 (R_2^2 - R_1^2) \quad (148)$$

Bete cunoscut că:

$$M_F = F \cdot R = f \cdot N \cdot e_m \quad (149)$$

în care:

e_m – rază medie a aricii elementare.

$$\frac{M_p}{R_2^2} = \frac{2}{\pi} \cdot \frac{2\pi R_0 (R_2^2 - R_1^2)}{3\pi R_0 (R_2^2 - r_1^2)} = \frac{2}{3} \cdot \frac{(R_2^2 - R_1^2)}{(R_2^2 - r_1^2)} \quad (150)$$

Rezultă că coeficientul de frecare dinamic este:

$$f = \frac{M_p}{N \cdot R_0} = \frac{M_p}{N} \frac{3}{2} \frac{(R_2^2 - R_1^2)}{(R_2^2 - r_1^2)} \quad (151)$$

Avinț în vedere că datele constructive ale camerei înclinate în care se arată proba de material sunt:

$R_1 = 105 \text{ mm}$ - raza interioară a camerei înclinate;

$R_2 = 160 \text{ mm}$ - raza exterioară a camerei înclinate

coeficientul de frecare dinamic se poate determina cu ajutorul expresiei:

$$f = 0,075 \frac{M_p}{N} \quad (152)$$

în care:

M_p - momentul de frecare ($N \cdot \text{mm}$);

N - forță de greutate normală (N).

Analizând relația (152) se poate constata că pentru determinarea coeficientului de frecare dinamic al probei de material pe discuț de oțel, trebuie să se stabilească mărimea momentului de frecare cu ajutorul dinanografului și mărimea forței normale.

În vederea determinării cu precizie a momentului de torsion al camerei înclinate, este necesar ca în prealabil să se execute etalonarea dinanografului.

În acest scop se atârgează pe peretele camerei o sârmă de oțel la capătul căreia prin intermediul unui taler se suspendă greutăți din $4,9 - 4,9 \text{ N}$. În acest fel momentul de torsion efectiv apare egal cu greutatea de pe taler de înmulțit cu raza exterioară a camerei.

Acest mod de măsurare este exact deoarece el nu evidențiază pierderile prin frecare și jocurile din sistem și în acest fel permite să se determine eroarea partii de măsurare a forței.

Pentru a se obține o diagramă de tarare cît mai exactă operațiile de încărcare și desărcare a dinanometrului s-au repetat de trei ori. Rezultatele măsurătorilor sunt trecute în tabelul nr.7.

Cu ajutorul datelor măsurate s-a determinat scara medie a dinanografului λ_d . Pentru aceasta s-a calculat valoarea medie a ordonatei pentru fiecare încărcare și desărcare, adică:

$$h_{med_i} = \frac{h_{i_1} + h_{d_i}}{2} \quad (\text{mm}) \quad (155)$$

În acest caz valorile partiile ale scării sunt:

$$c_1 = \frac{F_1}{h_{med_1}} \dots \dots c_n = \frac{F_n}{h_{med_n}} \quad (\text{N/mm}) \quad (154)$$

iar valoarea medie a scării pentru toată diagrama este:

$$\lambda_d = \frac{\sum_{i=1}^{i=n} \lambda_{d_i}}{n} \quad (\text{N/mm}) \quad (155)$$

După stabilirea scării dinanografului s-a calculat eroarea absolută ΔF și eroarea relativă ε a aparatului cu relațiile:

$$\Delta F = \frac{\sum_{i=1}^{i=n} \Delta F_i}{n} \quad (\text{N}) \quad (156)$$

$$\varepsilon = \frac{\sum_{i=1}^{i=n} \varepsilon_i}{n} \quad (\%) \quad (157)$$

în care:

No.	Degree of open joint	Depth of open joint	Length of open joint	Tensile strength in kg/cm ²			Elongation at break in %			σ_b (kg/cm ²)	δ_b (%)
				1	2	3	ΔF_1 (kg)	ΔF_2 (kg)	ΔF_3 (kg)		
1.	40.9	5	50.1	50.2	50.2	5	5.1	6.35	6.08	0.093	0.320
2.	9.8	9.7	9.6	9.5	9.6	9.7	2.6	2.6	2.6	0.047	0.033
3.	14.7	25.5	25.7	25.7	25.8	15.3	15.4	15.5	15.5	0.035	0.033
4.	19.6	26.2	26.4	26.3	26.5	26.3	26.3	26.3	26.3	0.171	0.033
5.	24.5	26.3	26.2	26.7	26.7	26.4	26.5	26.5	26.5	0.093	0.033
6.	29.4	32.1	32.5	32.4	32.5	32.4	32.5	32.5	32.5	0.345	0.034
7.	34.3	37.1	37	36.9	36.9	36.8	37.4	37	37	0.95	0.033

- 90 -

$$\Delta F_1 = \frac{\lambda_d(h_{i_1} - h_{d_1})}{2} \quad (N) \quad (158)$$

și:

$$\varepsilon_1 = \frac{h_{i_1} - h_{d_1}}{h_{i_1} + h_{d_1}} \cdot 100 \quad (\%) \quad (159)$$

Cum se poate constata din tabelul nr.7, cea mai mare eroare a fost obținută la încărcarea minimă a dinamografului iar cea mai mică, la cea mai mare solicitare. Acest lucru este obișnuit la dinamografele cu arc. Eroarea medie este însă pe deplin acceptabilă.

Cu ajutorul datelor calculate s-a traseat curba de tarare (fig.23).

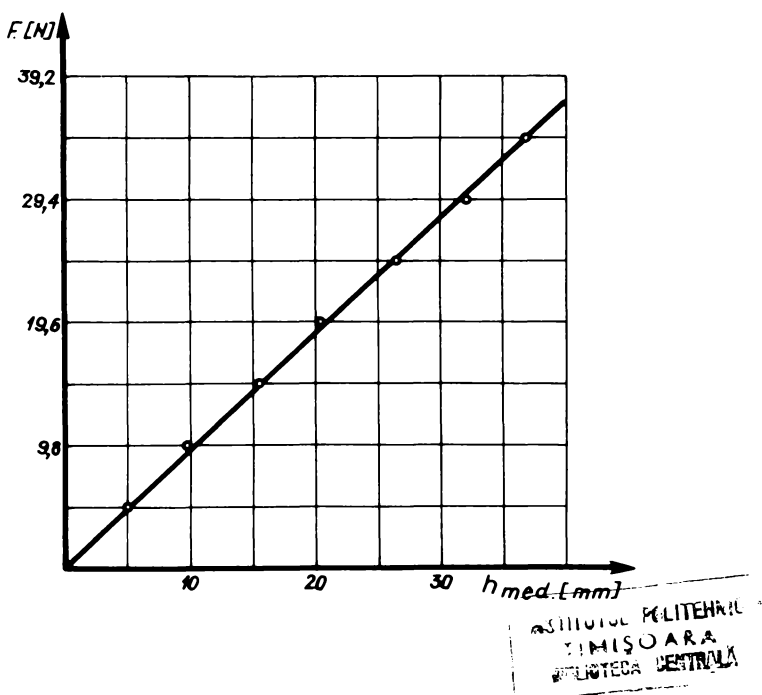


Fig.23. Diagrama de tarare a dinamografului

Trebuie remarcat că dependența forței de încărcare

de înălțimea medie a diagramei se așază pe o linie dreaptă, ceea ce atestă perfectiunea dinamografului în limitele în care a fost testat.

Pentru efectuarea încercărilor s-a folosit următoarea metodiciă:

→ S-a așezat proba de material în cadrul inelului a aparatului. Apoi s-a plasat discul sub greutatea proprie pe suprafața probei. S-a obținut astfel o presiune specifică 2.10^{-1} N/cm². S-a imprimat o anumită viteză de rotație discului și s-a pus în funcțiune banda de înregistrare. Fiecare experiență a durat 10 sec, având în vedere că banda de înregistrare s-a deplasat cu 25 mm/s.

După experiență, diagrama tracată (fig.24) a fost prelucrată prin metoda virfurilor maxime și minime, determinându-se

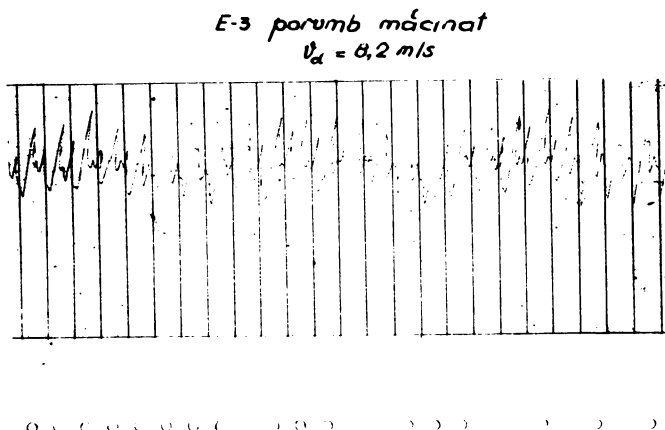


Fig.24. Diagrama tracată pentru porumb măcinat

coordonata de deviere a dispozitivului de înregistrare. Apoi cu ajutorul diagramei de tarare s-a stabilit valoarea momentului de frecare. Utilizându-se apoi relația (152) s-a determinat coeeficientul de frecare. Pentru fiecare probă de material s-a efectuat 10 repetiții.

Avind în vedere că coeficientul de frecare se schimbă sub influența a numeroși factori ca: viteză, umiditatea, starea suprafeței de contact, factori atmosferici etc. s-a cîntat în timpul experimentelor să se asigure influența constantă a tuturor factorilor cu excepția vitezei de rotație a discului, în raport cu care s-a studiat variația coeficientului de frecare. Astfel s-au făcut determinări pentru următoarele viteză de rotație a discului: 1,4; 1,63; 2,02; 2,42; 2,85; 3,25; 3,7; 4,5; 6,1; 8,2; 10,5; 12,7 și 15 m/s.

Incerările experimentale efectuate la viteză mai mari de 15 m/s au scos în evidență că o dată cu creșterea vitezei, variația coeficientului de frecare este neînsemnată. Ca atare s-a ales ca limită superioară pentru incercări viteză de 15 m/s.

În timpul experimentelor, materialele au avut următoarele umidități:

- | | |
|----------------------------|--------------|
| - porumb micinat | - U = 14,10% |
| - orez micinat | - U = 13,80% |
| - tărîte | - U = 13,60% |
| - grăt de soia | - U = 12,70% |
| - grăt de în | - U = 11,95% |
| - grăt de floarea soarelui | - U = 9,55% |

Pentru a respecta condițiile de frecare din interiorul conductei de transport, discul aparatului experimental a fost prelucrat, având suprafață perfect netedă.

Factorii atmosferici, ai căror valori au fost luate de la Stația meteo-logică Timișoara, au fost la date în care s-au efectuat incercările:

- presiunea atmosferică $p_0 = 762,8 \text{ mm.col.Eg.}$
- umiditatea aerului $U_d = 58\%$

Datele obținute în aceste condiții, pentru variația vitezei discului, au fost prelucrate după metodica expusă, valorile rezultate fiind materializate în diagramele din fig. 25 și 26.

Trebui să menționăm faptul că astfel de date cu

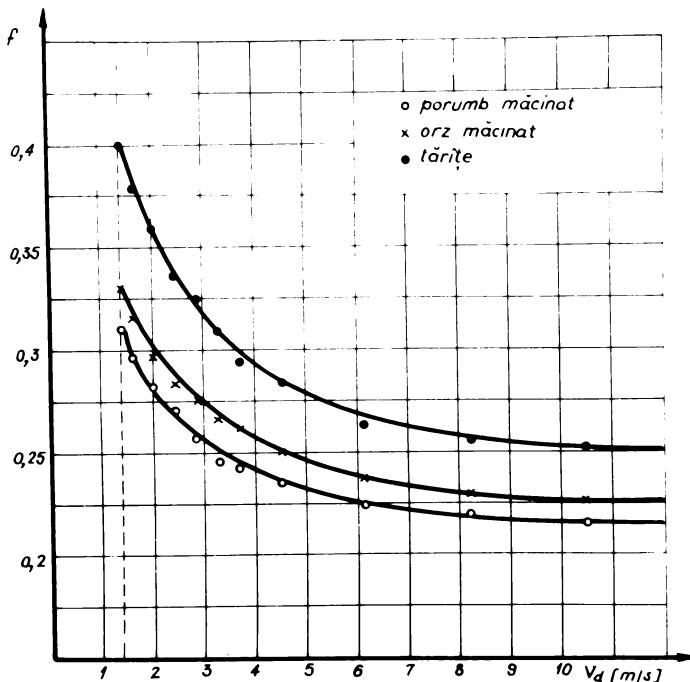


Fig.25. Diagrama de variație a coeficiențului de fricare
în funcție de viteză, pentru porumb, orz măcinat și
tărîte

privire la coeficientul de fricare al nutrețurilor concentrate măcinante, lipesc din literatura de specialitate. Considerăm că deși s-a studiat variația acestui coeficient numai în raport cu viteză, aceste date, având în vedere că s-au stabilit pentru materialele utilizate în momentul în fabricile de nutrețuri concentrate combinate, cu umiditatea pe care o au în timpul procesului de fabricație – constituie elemente importante în procesul de proiectare al instalațiilor de transport pneumatic, elemente care până în prezent lipesc.

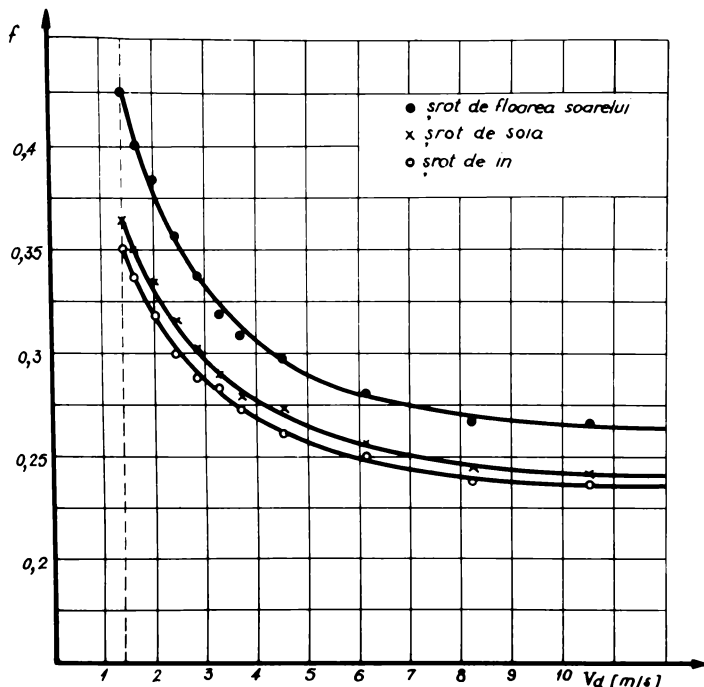


Fig.26. Diagrama de variație a coeficientului de frecare în funcție de viteză, pentru șrot de in, șrot de soia și șrot de floarea soarelui

Analizând diagramele din fig.25 și 26 se poate constata că în domeniul $v_d = 1,4 - 8,2$ m/s, coeficientul de frecare pentru aceste materiale are o variație însemnată. În continuare pentru $v_d > 8,2$ m/s această variație devine foarte mică ceea ce ne permite să considerăm că în timpul transportului pneumatic adică atunci când viteză materialului > 15 m/s, variația coeficientului de frecare este neînsemnată, stabilindu-se în limitele $f = 0,215\%$ pentru porumb născinat și $f = 0,205\%$ pentru șrotul de floarea soarelui, valori ce vor fi luate în

considerație în aprecierea pierderilor de presiune în conducte orizontale cu secțiune circulară.

2.4. Determinarea debitului dosatorului de alimentare a conductei de transport

Dosatorul cu tambur utilizat în cadrul instalației experimentale are două funcții: aceea de a menține diferența de presiune între interiorul conductei și spațiul de unde se încarcă materialul și aceea de a doza materialul într-oasă în conductă de transport. Dosatorul cu textură de tipul cu palete, realizează o dozare uniformă a materialului și distribuția lui în conductă de transport cu un debit constant - condiție deosebit de importantă pentru exactitatea experiențelor - numai într-un anumit domeniu al vitezelor de rotație a tamburului.

Acest domeniu corespunde variației liniare a debitului în funcție de viteză de rotație a tamburului.

În cadrul experiențelor pentru ridicarea caracteristicilor de debit a dosatorului s-au folosit probe de 300 kg din flocare nutretă concentrat măcinat. Au fost efectuate cîte cinci repetiții pentru fiecare viteză de rotație a tamburului în domeniul $\omega = 0,52 - 4,6 \text{ rad/s}$ ($5 - 44 \text{ rot/min}$). S-a cronometrat timpul în care proba de material a trecut prin dosator.

Datele obținute au fost prelucrate și sunt prezentate în diagramă din fig.27.

Ecuația dreptelor de ajustare a distribuțiilor experimentale obținute, s-a stabilit prin metoda celor mai mici patrate. Trebuie menționat că a fost folosit numai domenial de funcționare al dosatorului pentru care $y = f(\omega)$ are o variație liniară.

Considerind dreptele de variație de formă $y = ax + b$ parametrii reali a și b au fost determinați cu relațiile:

$$a = \frac{\sum_{i=1}^n x_i y_i - \bar{x}\bar{y}}{\sum_{i=1}^n x_i^2 - \bar{x}^2} \quad (160)$$

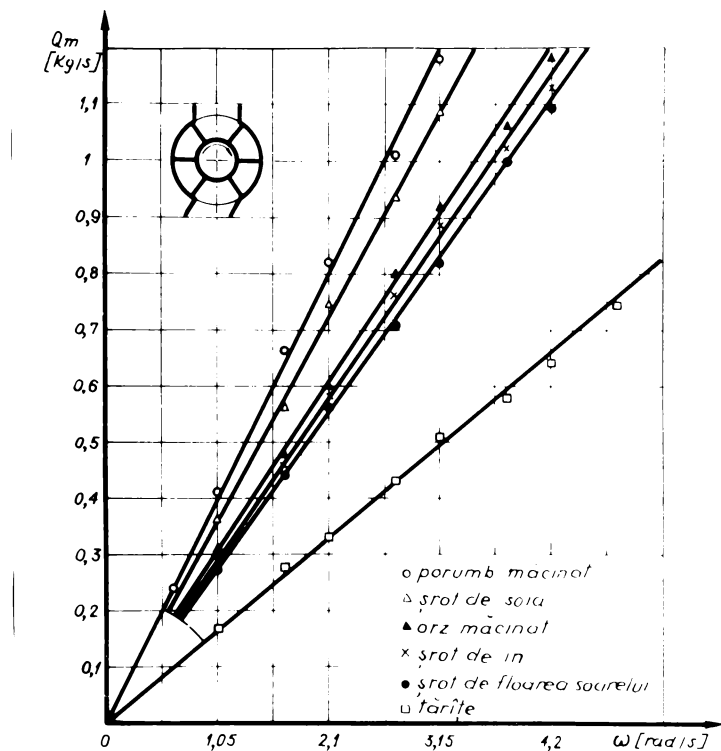


Fig.27. Diagrama de variație $Q_m = f(\omega)$ a dosatorului

$$b = \bar{y} - a\bar{x} \quad (161)$$

în care:

x_i, y_i – coordonatele punctelor obținute pe cale experimentală;

\bar{x}, \bar{y} – media aritmetică a coordonatelor

Astfel au fost obținute pentru cele şase materiale utilizate la încercări, următoarele drepte de ajustare:

– porumb macinat: $y = 4 \cdot 10^{-3}x + 2 \cdot 10^{-5}$

- grăd de soia;	$y = 3,6 \cdot 10^{-3}x + 13 \cdot 10^{-3}$
- orz măcinat;	$y = 5 \cdot 10^{-3}x + 4 \cdot 10^{-3}$
- grăd de în;	$y = 2,8 \cdot 10^{-3}x + 18 \cdot 10^{-3}$
- grăd de floarea soarelui;	$y = 2,7 \cdot 10^{-3} + 11 \cdot 10^{-3}$
- tărife;	$y = 1,6 \cdot 10^{-3} + 17 \cdot 10^{-3}$

2.5. Determinarea profilului vitezei curentului de aer în conductă cu secțiune circulară

Profilul vitezei curentului de aer în conductă de transport pneumatic, s-a determinat cu ajutorul unui tub Pitot pe două diametre perpendiculare, orizontal și vertical, în puncte situate din 5 în 5 mm.

Pentru o precizie mai mare a măsurătorilor, tubul Pitot s-a deplasat de două ori pe un diametru, făcindu-se cîte două citiri pentru fiecare punct. Rezultă că valoarea vitezei curentului de aer la o anumită distanță de axa conductei s-a stabilit ca medie a opt valori măsurate separat.

S-au efectuat măsurători pentru viteză medie a curentului de aer în limitele $v_a = 14 - 32 \text{ m/s}$, domeniu în care de fapt se realizează transportul pneumatic al nutrețurilor concentrată măcinat.

Variatia vitezei curentului de aer în funcție de distanță y de la paretele inferior al conductei este prezentată în fig.28.

Pentru domeniul în care s-au făcut măsurările variația curentului de aer în secțiunea transversală a conductei se poate exprima prin legea exponentială:

$$\frac{v_{aQ}}{v_{a \text{ max}}} = \left(\frac{y}{l_k} \right)^{1/n} \quad (162)$$

în care:

v_{aQ} - viteză locală a curentului de aer (m.s^{-1});

$v_{a \text{ max}}$ - viteză maximă a curentului de aer (m.s^{-1});

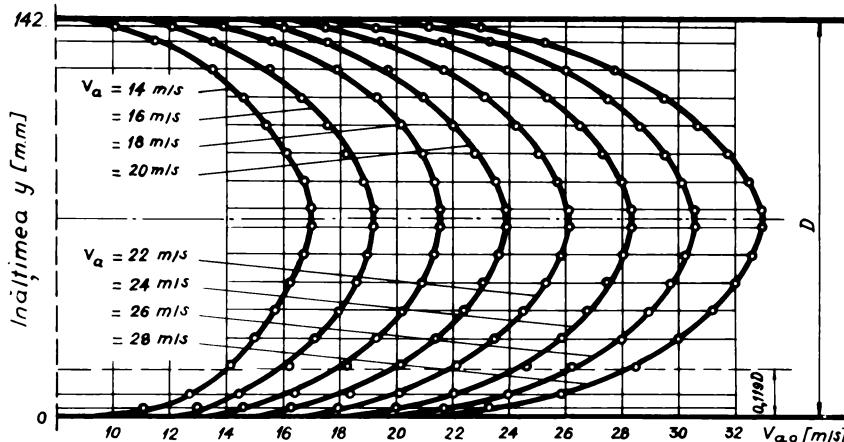


Fig.28. Profilele vitezelor într-o conductă orizontală cu $D = 142$ mm

y – distanță de la peretele inferior al conductei (m);
 x – rază conductei (m).

Măsurările făcute de autor asupra variației vitezei curentului de aer în secțiunile conductei de transport, verificate cu relația (162) pentru valoarea coeficientului $n = 7$, au confirmat că punctele sunt bine puse respectând legea exponențială.

Valoarea vitezelui median în secțiunea transversală este egală cu viteza locală a curentului de aer măsurată la distanța de $0,119$ % de peretele conductei.

Analizând profilul vitezelor obținut în urma măsurătorilor, se poate constata că în apropierea peretilor conductei, viteză locală are o valoare mai redusă decât în centru conductei. Această lucru influențează în mod negativ repartizarea particulelor de material în secțiunea transversală a conductei, producând la valori scăzute ale vitezelor, depunerile pe peretele

inferior. În cazul nutrețurilor concentrate măcinante, la viteză de transport pneumatic, acest efect este mai redus dar trebuie să se pînde seama de el în prelucrarea datelor.

2.6. Determinarea pierderilor de presiune în cadrul de transport pneumatic

În baza ipotezelor teoretice făcute asupra fenomenului de transport pneumatic al nutrețurilor concentrate măcinante, într-o conductă orizontală cu secțiune circulară, autorul a stabilit o ecuație (117) care permite determinarea pierderilor totale de presiune în timpul procesului de transport. Această ecuație conține două grupuri de termeni, unul redă pierderile de presiune cauzate de circulația curentului de aer prin conducta de transport (ΔP_{sc}) și celălalt format din elemente care determină pierderile de presiune produse prin deplasarea materialului în timpul transportului pneumatic prin conductă (ΔP_{m} și ΔP_{m}).

În vederea determinării acestor două fracțiuni, s-a procedat la efectuarea stabilirii pierderilor de presiune datorită frecărîi aerului cu peretele conductei (ΔP_{sc}) și a pierderilor totale (Δp), pierderile produse de prezenta particulelor de nutră concentrat măcinat în conductă, rezultând că diferența acestor două mărini. Această metodă este impusă de faptul că în prezent nu se cunoaște o metodă practică pentru determinarea separată a pierderilor de presiune produse de particulele de material în timpul transportului pneumatic prin conducte orizontale cu secțiune circulară. În baza datelor experimentale ce se vor obține se vor verifica relațiile analitice stabilite de autor, determinindu-se astfel domeniul lor de valabilitate.

2.6.1. Determinarea pierderilor de presiune datorită frecărîi aerului cu peretele conductei

Pierderile de presiune cauzate de frecare a aerului curbat cu peretele conductei, pot fi determinate în cadrul func-

ționării instalației experimentale în gol.

Pentru încercări s-a folosit următoarea metodă:

S-a fixat tubul Pitot la $0,114 D$ distanță de la paretile inferioare ale conductei, corepunzător vitezii medii a curentului de aer în secțiunea conductei la distanță $l_1 = 12 D$ de la colectorul de aspirație. Tubul micrometru a fost fixat la o inclinație $i = 1/5$ ceea ce a permis ca citirile nivelului lichidului în tub să se facă cu o eroare de către de $0,2 \text{ mm}$ corespunzător lichidului, eroarea fiind admisibilă pentru domeniul valorilor citite.

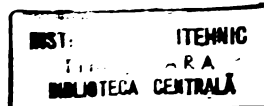
Au fost stabiliți parametrii de atare al aerului, măsurindu-se temperatura cu ajutorul unui termometru înaintea fiecărei experiențe precum și umiditatea relativă cu ajutorul unui psihrometru ASHM. Valorile presiunii barométrice au fost luate de la statiuimea meteorologică Timișoara. S-a reglat vîteza medie a curentului de aer la valoarea indicată. S-au făcut măsurători pentru $v_g = 10 - 32 \text{ m/s}$ din 2 în 2 m/s. Pentru stabilirea exactă a valorilor vitezelor aerului în secțiunea de măsurare, s-au făcut cîte 5 citiri ale nivelului lichidului în tubul micrometru, vîteza curentului de aer fiind medie a celor 5 citiri ale sarcinii de atenție.

Pentru determinarea pe cale experimentală a pierderilor de presiune datorită frecărîi aerului cu paretile conductei s-a stăvîrat din netru în netru prin efectuarea a cîte trei fotografii a perouărilor cu piezometre, pentru o singură valoare a curentului de aer, pierderile de presiune din conductă de transport orizontală (1) a instalației experimentale. O astfel de fotografie este prezentată în fig. 30.

Nivelul lichidului din fiecare piezometru s-a citit ulterior prin proiecțarea filmului pe un ecran liniștit, care a permis efectuarea citirilor cu o precizie de $0,4 \text{ mm}$ colosam apă. Pentru fiecare punct de măsurare a pierderilor de presiune, valoarea secundară a rezultat din media celor trei citiri a fotografiei, punctul cu piezometre.

Datele experimentale prelucrate sunt prezentate în fig. 30.

In această figură, prin linie continuă au fost prezentate pierderile specifice de presiune în funcție de viteză



medie a curentului de aer calculate cu relația (69) stabilită de autor, iar prin puncte s-au reprezentat datele incercărilor experimentale.

Se poate constata o perfectă concordanță a valorilor măsurătorilor experimentale cu valorile calculate. Aceast lucru atestă că ipoteza făcută de autor cu privire la influența variației gradientului de presiune asupra pierderilor de presiune are un suport real. Ce atâta relația (69) permite

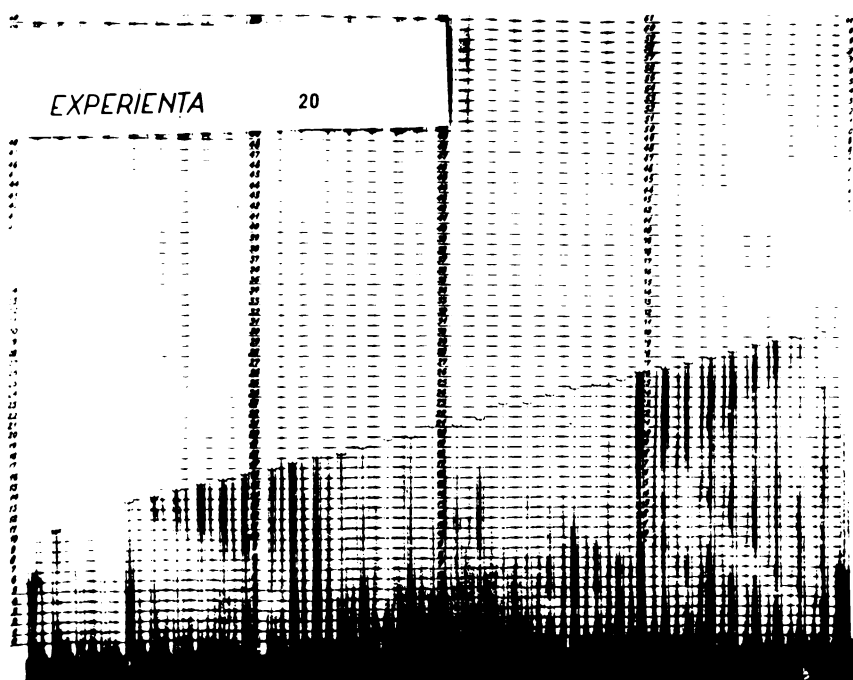


Fig.29. Runcul cu piezometre, în timpul unei experiențe pentru determinarea pierderilor de presiune datorită fracției aerului cu peretele conductei

stabilirea cu exactitate a pierderilor de presiune cauzate de frecarea aerului cu peretele conductei orizontale cu secțiuni circulare și se impune pentru a fi utilizati în calculul instalațiilor de transport pneumatic.

Valoarea coeficientului λ_{ac} se determină cu ajutorul relației lui Nicuradze (43), aceasta dând satisfacție

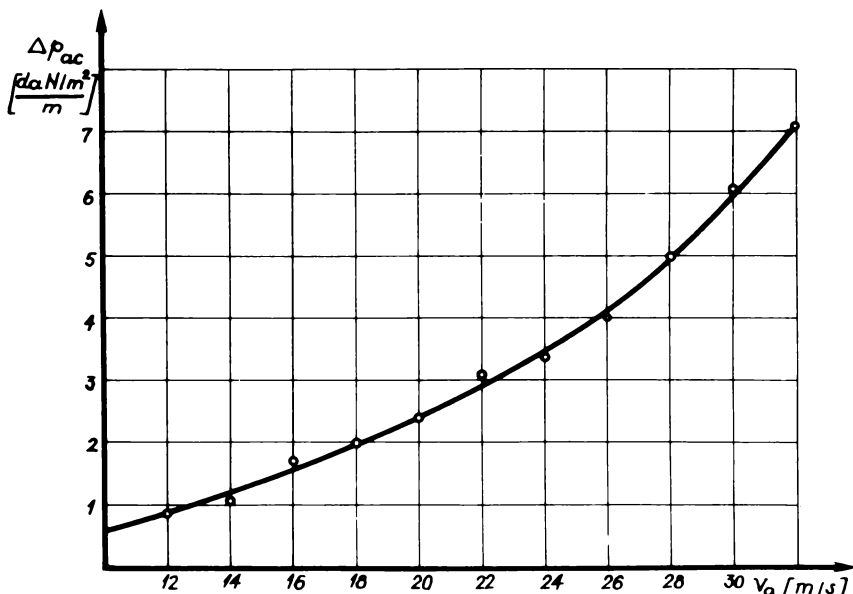


Fig. 3a. Pierderile specifice de presiune determinate frecării curentului de aer cu perjetii conduselor

pentru regimul de curgere utilizat în cazul transportului pneumatic.

2.6.2. Influența diametrului conductei D, asupra pierderilor specifice de presiune determinate către curentului de aer

Este cunoscut că pierderile specifice de presiune, cauzate de frecarea aerului cu perjetii conduselor de transport, reprezentă o parte însemnată din pierderile totale de presiune, în cadrul transportului pneumatic în conducte orizontale.

Se impune deci să se analizeze influența diferenților factori asupra acestor pierderi în vederea găsirii unui regim corespondător de funcționare a instalației de transport.

Pentru a pune în evidență influența diametrului conductei asupra pierderilor specifice de presiune s-a traseat diagrama din fig.31 pentru $v_a = 20 \text{ m/s}$.

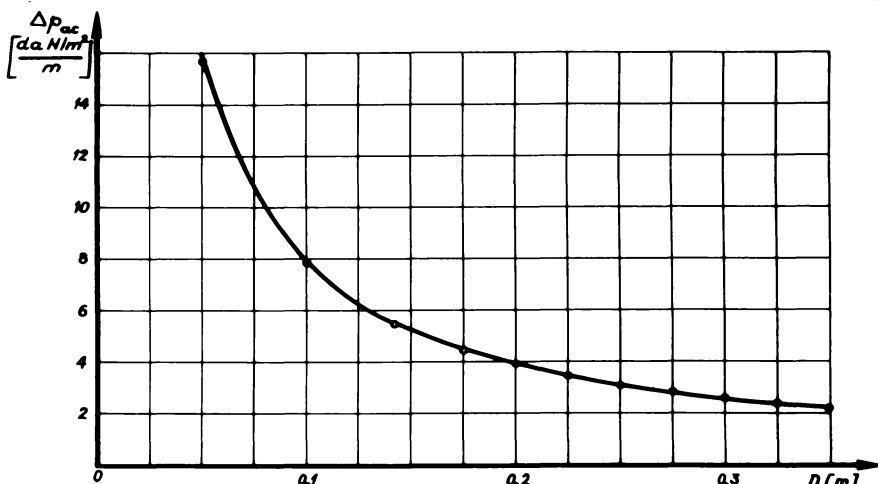


Fig.31. Variatia pierderilor specifice de presiune in functie de diametrul conductei de transport

Din analiza acestei diagrame rezultă că e dată ca creșterea diametrului conductei să dea valoarea pierderilor specifice de presiune, mai evident în domeniul $D = 0,005 - 0,142 \text{ m}$. În continuare scădere nu mai este dată de acordantă.

Sub acest aspect, reiese că pentru a avea valori că mai reduse ale pierderilor specifice de presiune, ar fi indicat să se aleagă o conductă cu un diametru căt mai mare. Dar în cazul utilizării conductei cu diametru mare, pentru a putea fi asigurat procesul de transport pneumatic normal, adică pos-

tru a se putea realiza întrenarea particulelor de material, este necesară o valoare mai ridicată pentru viteza curentului de aer. Din această cauză alegerea diametrului D al conductei de transport se face în raport și cu alți factori cum ar fi diametrul particulelor de material și concentrația gresimetrică μ_x .

2.6.3. Determinarea pierderilor totale de presiune, în conductă orizontală cu secțiuni circulare

Pierderile de presiune totale ce se produc într-o conductă în timpul transportului pneumatic pot fi determinate în casul funcționării instalației în sarcină adică atunci cind anestecul aer-particule solide se deplasează în interiorul ei.

Metodica încercărilor în acest cas a constat în următoarele operații:

– S-a așezat tubul Pitot la distanța $c,119 D$ de la peretele conductei, având în vedere că această poziție corespunde vitezei medii a curentului de aer în secțiunea conductei. Tubul manometrului a fost fixat la o înclinare $i = 1/5$ pentru ea crearea de 1 mm la către nivelul lichidului să corespundă la o creare de cotă de 0,2 mm coloană lichid.

– Au fost stabiliți parametrii de stare ai aerului la fel ca la determinările anterioare.

Pentru încercări au fost folosite măciniguri de porumb, orez, grăt de soia, grăt de in, grăt de floarea soarelui și tărițe.

Debitele de alimentare a conductei de transport au fost $q_1 = 0,4 \text{ kg/s}$; $0,6 \text{ kg/s}$; $0,8 \text{ kg/s}$ și $1,2 \text{ kg/s}$. Aceste debite au fost astfel alese încit să corespundă debitelor morilor ca ciocane folosite mai frecvent în cadrul fabricilor de nutrețuri concentrate combinate MC-3 și MC-5.

Pentru fiecare din aceste debite, corespondator celor cinci materiale folosite pentru încercări, au fost stabilite pierderile de presiune pentru zece trepte de viteză a curentului de aer în conductă de transport, în limitele $v_a = 14$

$m/s = v_a = 32 \text{ m/s}$ din doi în doi metri.

Astfel, s-a reglat viteza medie v_a a curentului de aer la valoarea corespunzătoare experienței, valoare rezultată din media a locuirii a presiunii de stagnare cu ajutorul micromanometrului și apoi s-a reglat turăția dispozitivului de alimentare pentru debitul stabilit. În vederea determinării debitului real al experienței, s-a colectat timp de 60 sec. materialul transportat prin instalație și apoi s-a cintărit.

Se menționează faptul că a fost evitată trecerea repetată de mai multe ori a același cantități de material prin conducte de transport, întrucât această situație conduce la distrugerea particulelor de material care bineînțelese ar fi influențat exactitatea măsurătorilor.

După ce s-a ajuns la un regim de funcționare corespunzător, s-au făcut cîte trei fotografii ale bateriei de piezometre în cadrul unei experiențe. O astfel de fotografie este prezentată în fig. 32.

PORUMB MĂCINAT

EXPERIENȚA / 3



Fig. 32. Panoul cu piezometre în timpul determinării pierderilor totale de presiune

După efectuarea fiecărei experiențe, înainte de stabilirea unui nou regim de funcționare, instalația experimentală a funcționat un timp în gol pentru a se curăță, verificindu-se totodată dacă prizele pentru măsurarea presiunii statice nu s-au infundat.

Nivelul lichidului în fiecare piezometru s-a citit ulterior prin proiecțarea filmului pe ecran liniar, care a permis citirea nivelului cu o eroare de 0,2 mm.

Pierderile totale de presiune între două secțiuni ale conductei de transport situate la o anumită distanță determinată s-a stabilit ca medie diferenței nivelelor piezometrelor corespunzătoare la trei citiri. Rezultatele prelucrate au fost materializate în diagramele prezentate în următoarele capítole.

Din relația (117) stabilită de autor pentru calculul pierderilor de presiune totale într-o conductă orizontală, rectilinie, cu secțiune circulară, se poate constata că mărimea acestor pierderi este influențată de lungimea conductei de transport L , de debitul de alimentare cu material și conductă Q_0 , de viteză medie a curentului de aer v_0 precum și de diametrul conductei D . Pentru a determina sensul acestor influențe, vor fi analizate în continuare, în mod separat, utilizându-se în acest sens rezultatele încercărilor experimentale.

2.6.4. Influența lungimii conductei de transport, asupra pierderilor de presiune totale

În baza datelor obținute în cadrul încercărilor experimentale privind pierderile de presiune totale, într-o conductă orizontală, s-a traseat diagramele de variație $\Delta p = f(L)$ pentru o conductă cu $D = 142$ mm, la diferite valori ale vitezei medii a curentului de aer și pentru diferite debite de alimentare.

Pentru cele cinci materiale utilizate pentru încercările experimentale, dependența pierderilor de presiune totale față de lungimea conductei este prezentată în fig.33 - 62.

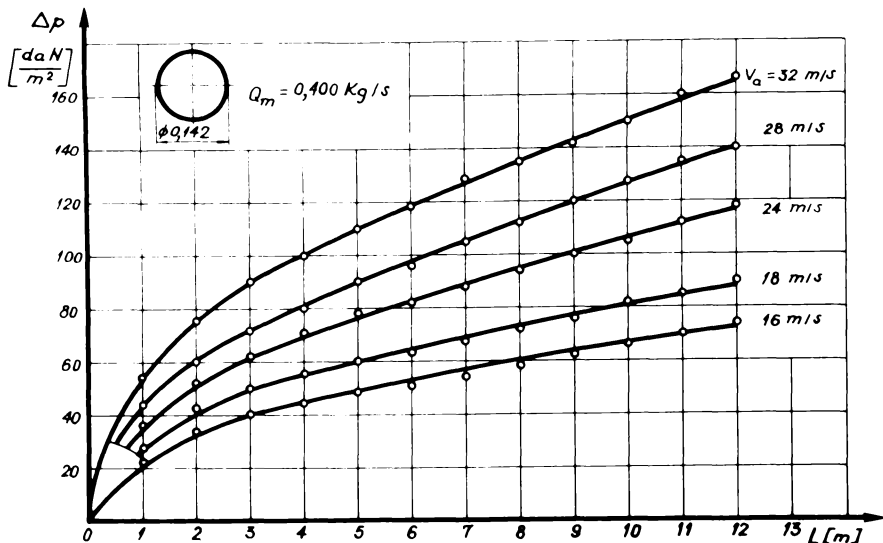


Fig.33. Dependența pierderilor de presiune $\Delta p_f(L)$ la transportul pneumatic al perumbului măcinat pentru $Q_m = 0,4 \text{ kg/s}$

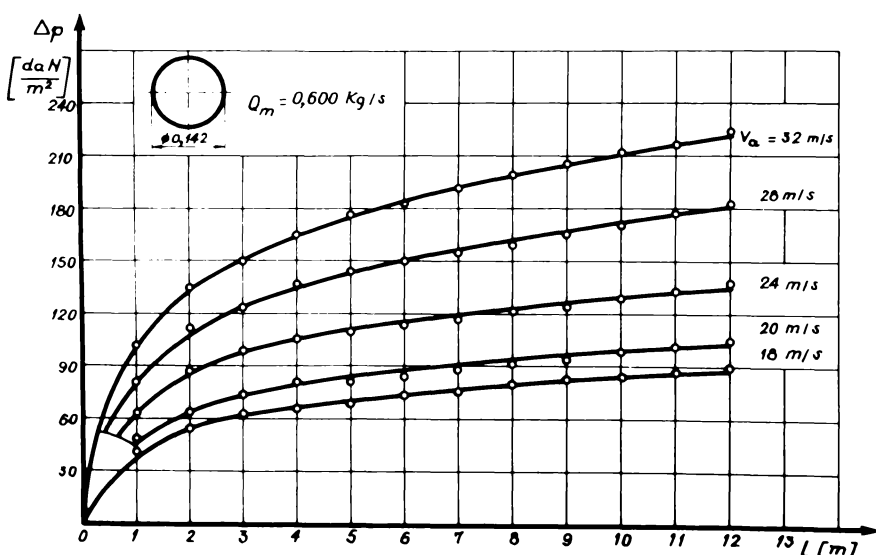


Fig.34. Dependența pierderilor de presiune $\Delta p_f(L)$ la transportul pneumatic al perumbului măcinat pentru $Q_m = 0,6 \text{ kg/s}$

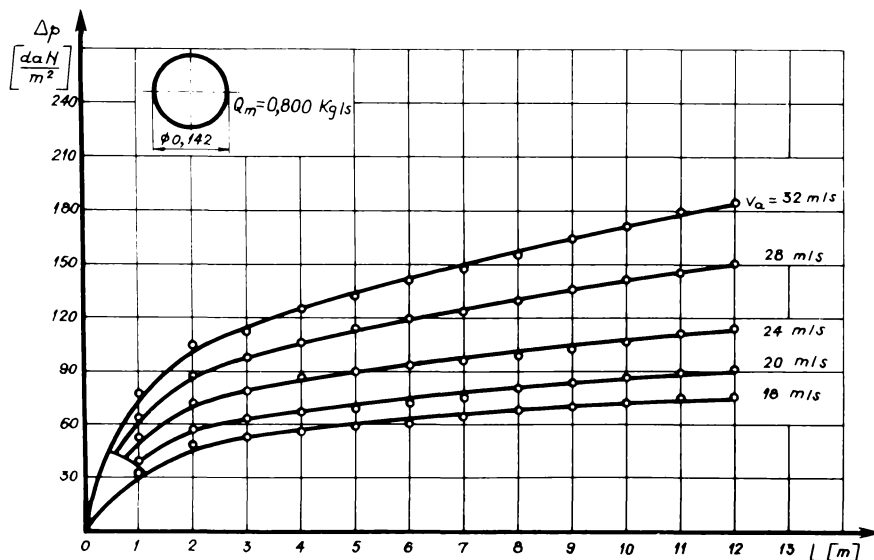


Fig. 35. Dependență pierderilor de presiune Δp (L) la transportul pneumatic al porumbului măcinat pentru $Q_m = 0,8 \text{ kg/s}$

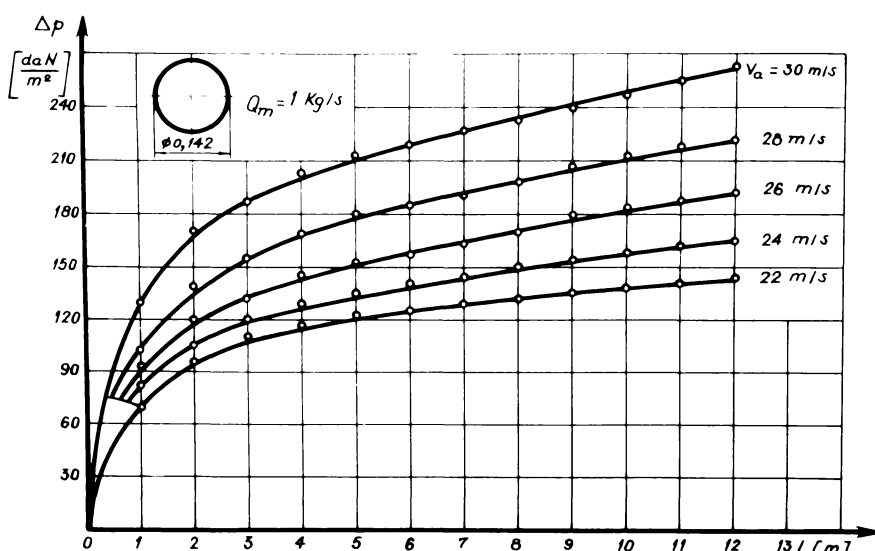
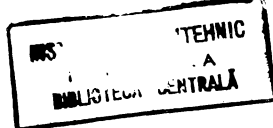


Fig. 36. Dependență pierderilor de presiune Δp (L) la transportul pneumatic al porumbului măcinat pentru $Q_m = 1 \text{ kg/s}$



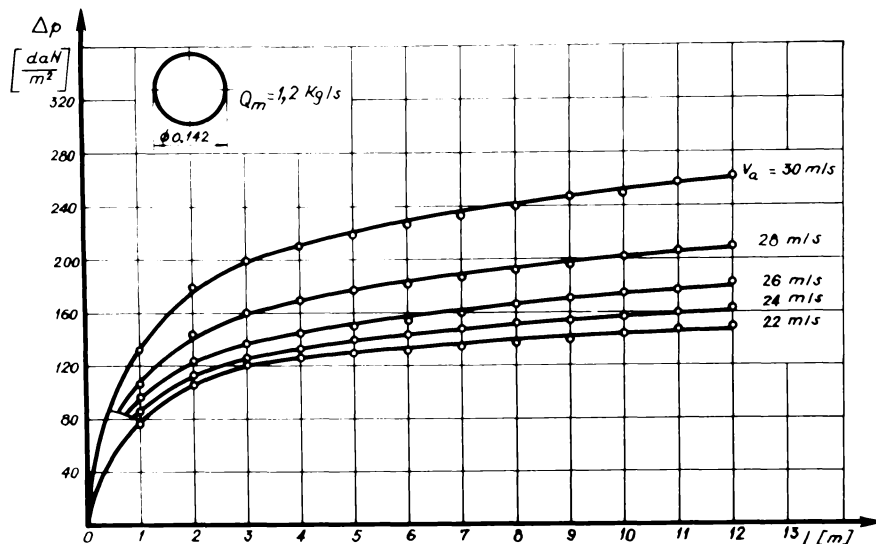


Fig.37. Dependență pierderilor de presiune $\Delta p_{mf}(L)$ la transportul pneumatic al porumbului măcinat pentru $Q_m=1,2 \text{ kg/s}$

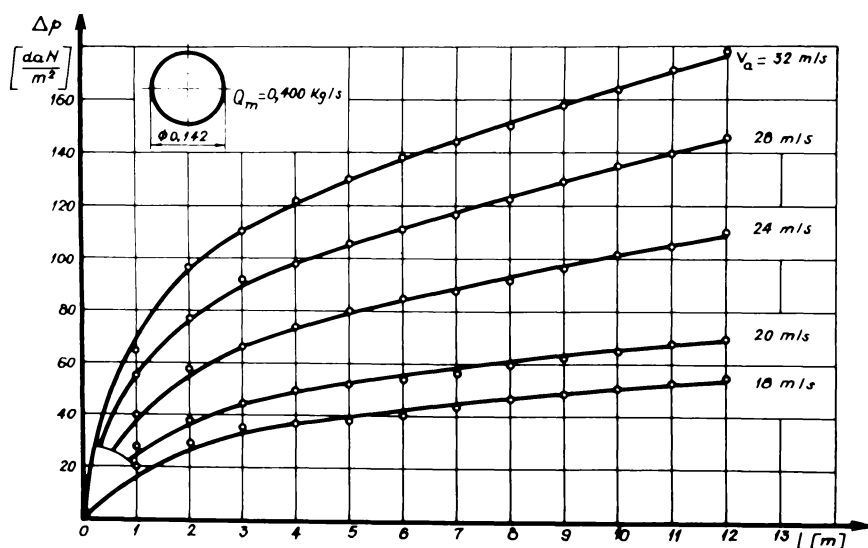


Fig.38. Dependență pierderilor de presiune $\Delta p_{mf}(L)$ la transportul pneumatic al orezului măcinat pentru $Q_m=0,4 \text{ kg/s}$

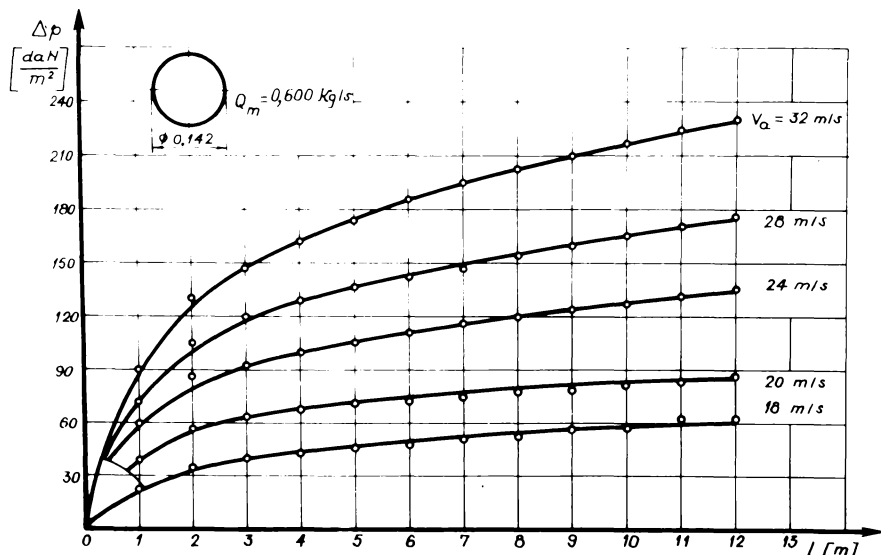


Fig.39. Dependența pierderilor de presiune $\Delta p_{vf}(L)$ la transportul pneumatic al orașului năcineat pentru $Q_m = 0,6 \text{ kg/s}$

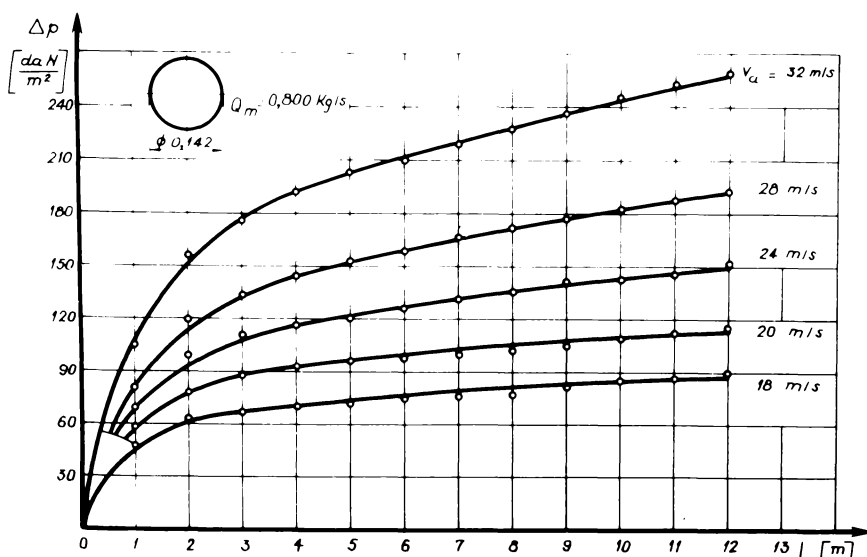


Fig.40. Dependența pierderilor de presiune $\Delta p_{vf}(L)$ la transportul pneumatic al orașului năcineat pentru $Q_m = 0,8 \text{ kg/s}$

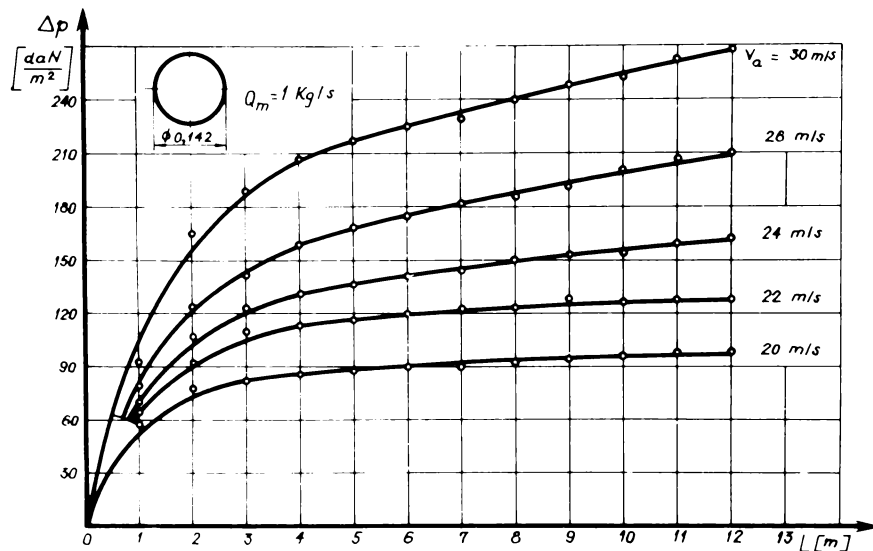


Fig.41. Dependență pierderilor de presiune $\Delta p_{hf}(L)$ la transportul pneumatic al gazului măcinat pentru $Q_m = 1 \text{ kg/s}$

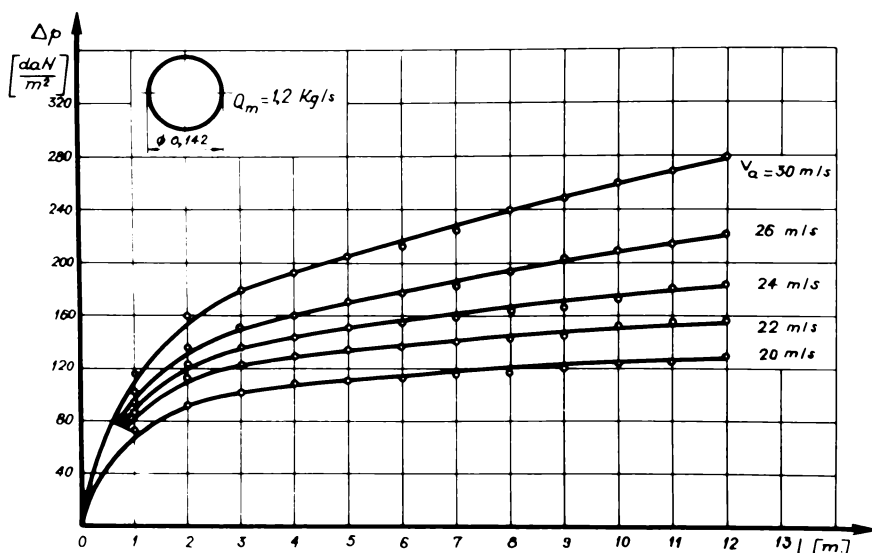


Fig.42. Dependență pierderilor de presiune $\Delta p_{hf}(L)$ la transportul pneumatic al gazului măcinat pentru $Q_m = 1,2 \text{ kg/s}$

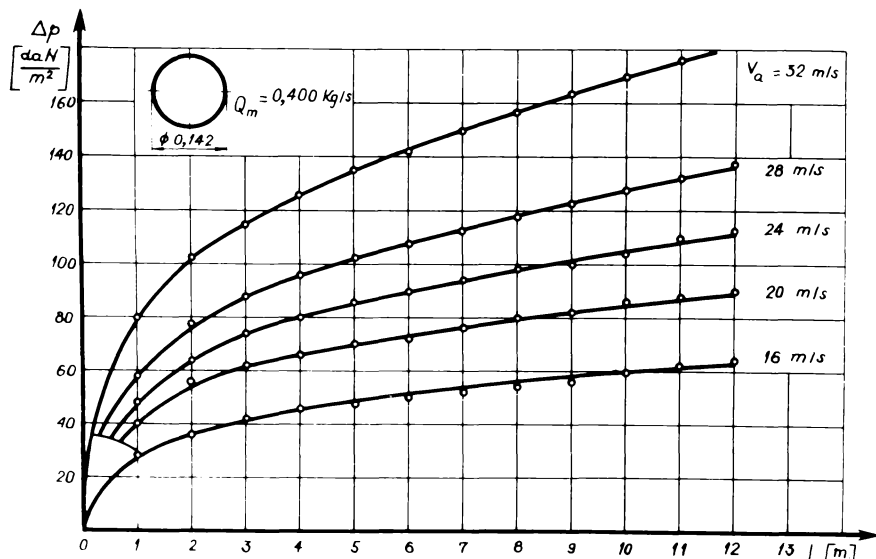


Fig.43. Dependența pierderilor de presiune $\Delta p=f(L)$ la transportul pneumatic al șrotului de în pentru $Q_m=0,4 \text{ kg/s}$

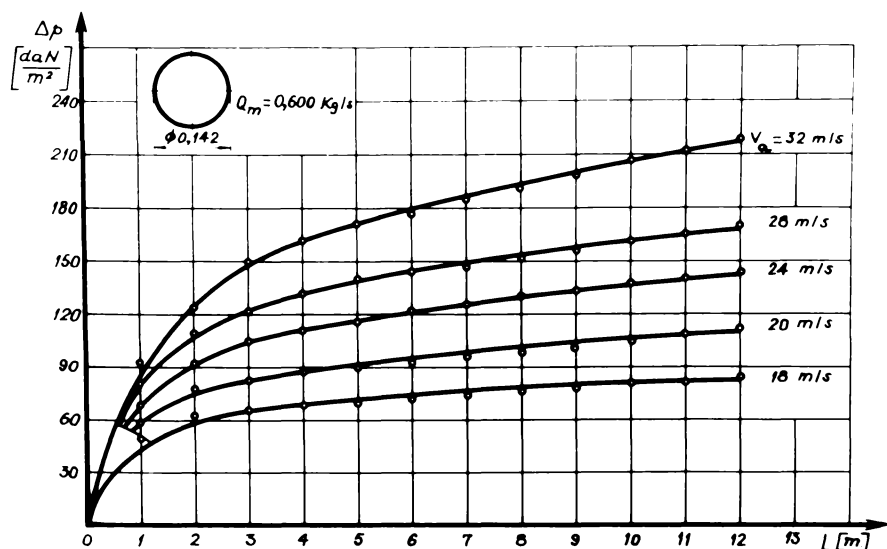


Fig.44. Dependența pierderilor de presiune $\Delta p=f(L)$ la transportul pneumatic al șrotului de în pentru $Q_m=0,6 \text{ kg/s}$

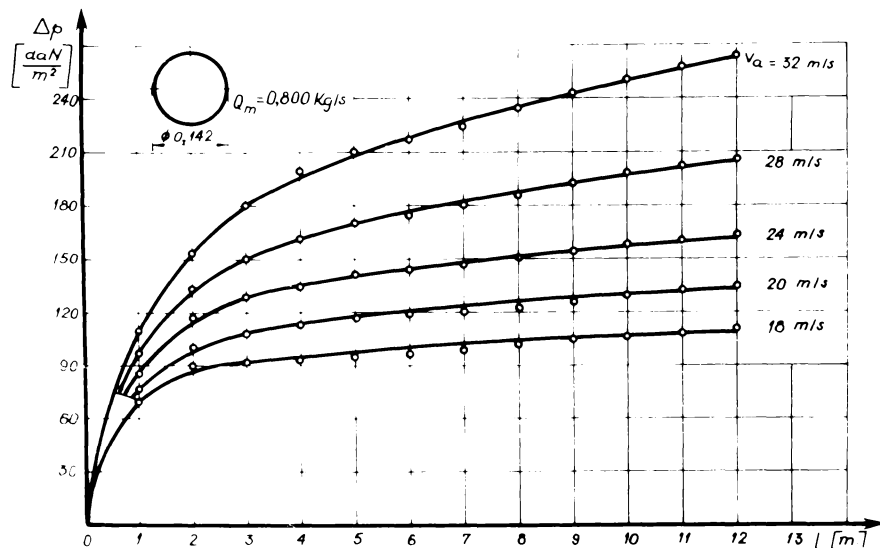


Fig.45. Dependență pierderilor de presiune $\Delta p=f(L)$ la transportul pneumatic al găzii printr-o pipă cu $Q_m=0,8 \text{ kg/s}$

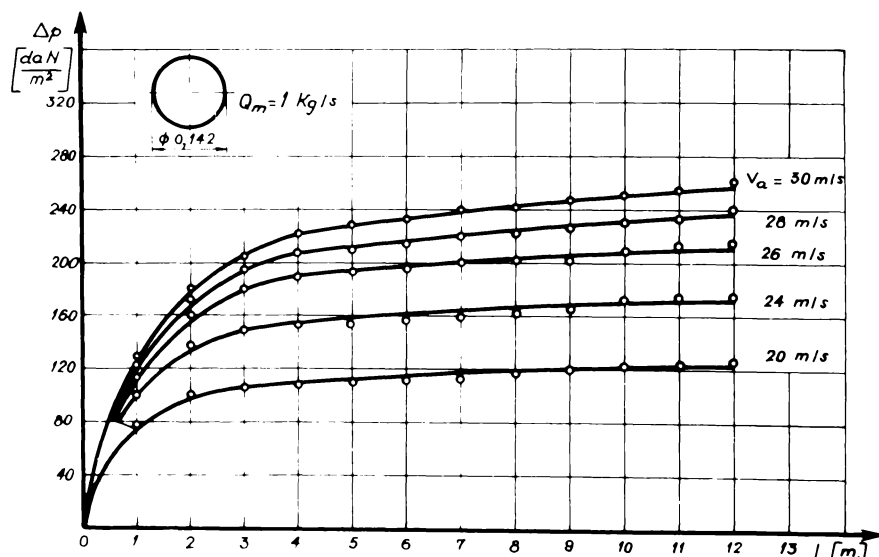


Fig.46. Dependență pierderilor de presiune $\Delta p=f(L)$ la transportul pneumatic al găzii printr-o pipă cu $Q_m=1 \text{ kg/s}$

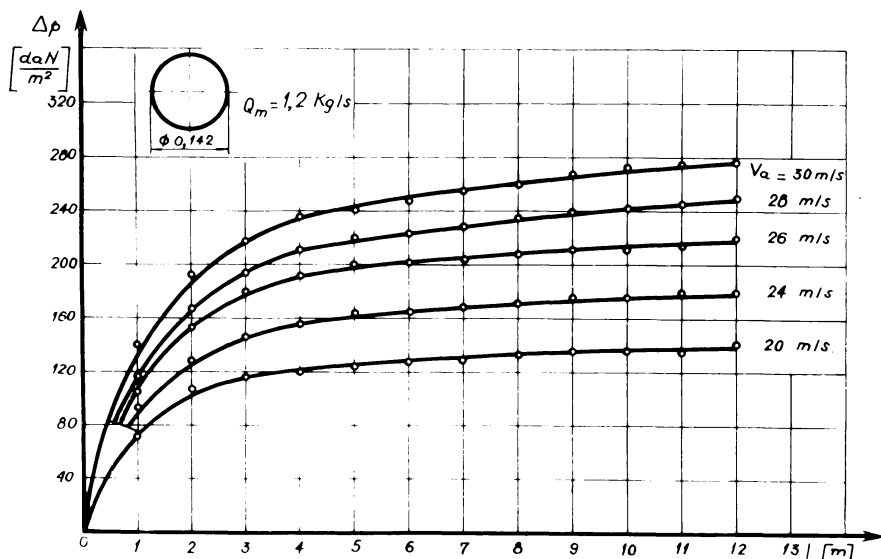


Fig.47. Dependența pierderilor de presiune $\Delta p_{mf}(L)$ la transportul pneumatic al grotului de în pentru $Q_m = 1,2 \text{ kg/s}$

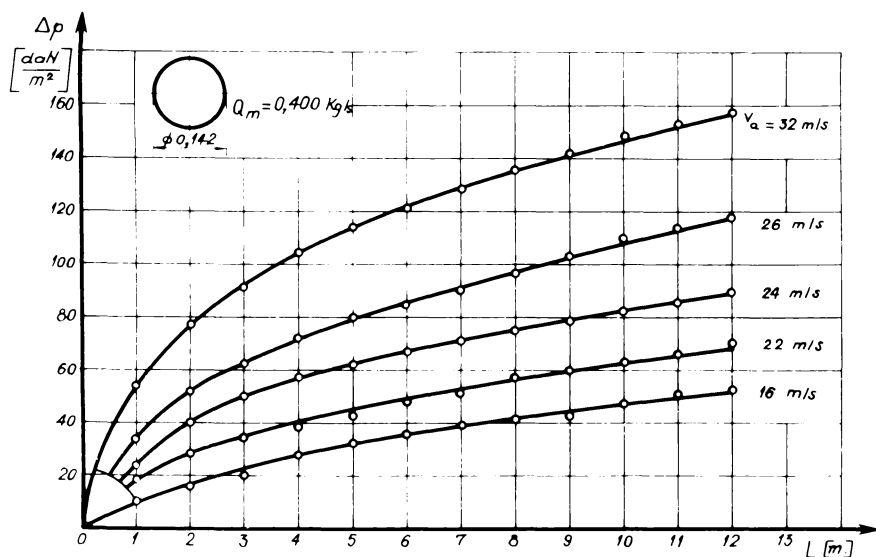


Fig.48. Dependența pierderilor de presiune $\Delta p_{mf}(L)$ la transportul pneumatic al grotului de soia pentru $Q_m = 0,4 \text{ kg/s}$

UNIVERSITATEA POLITEHNICĂ DIN BUCUREŞTI

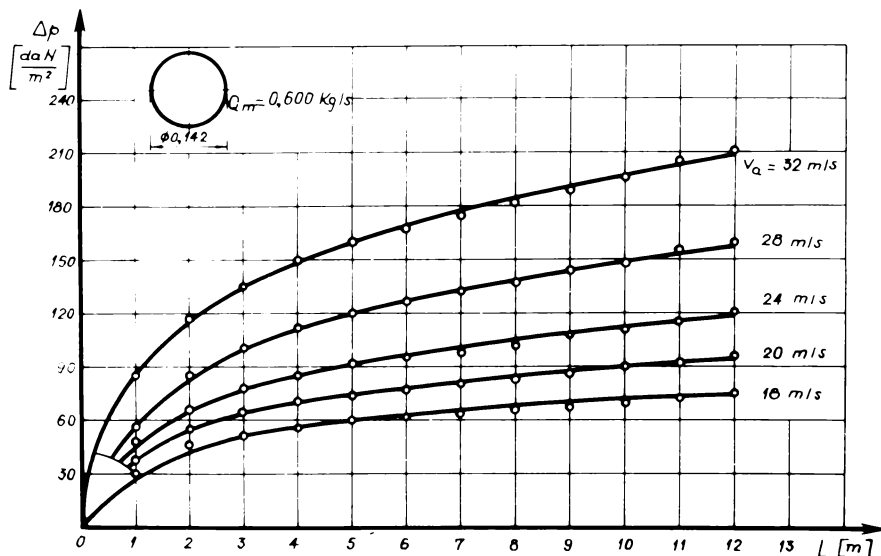


Fig.49. Dependența pierderilor de presiune $\Delta p_m^f(L)$ la transportul pneumatic al grotului de soia pentru $Q_m = 0,6 \text{ Kg/s}$

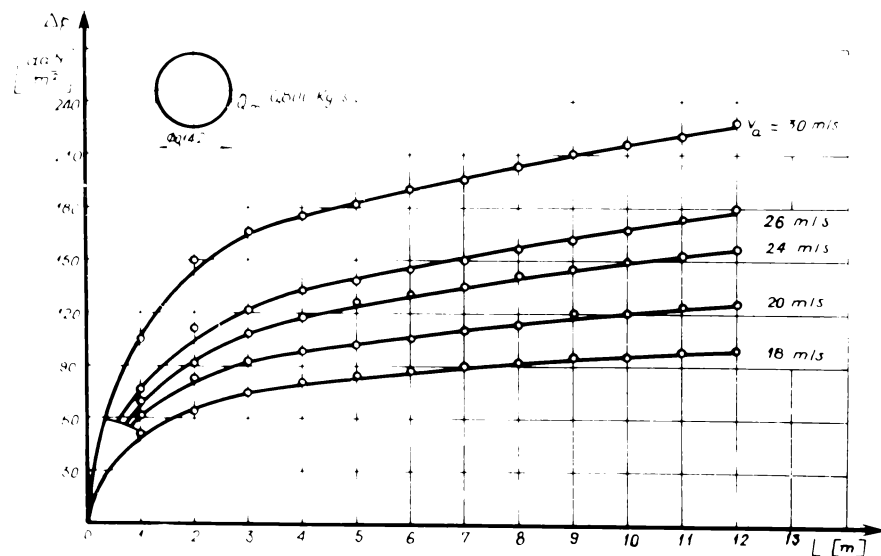


Fig.50. Dependența pierderilor de presiune $\Delta p_m^f(L)$ la transportul pneumatic al grotului de soia pentru $Q_m = 0,8 \text{ Kg/s}$

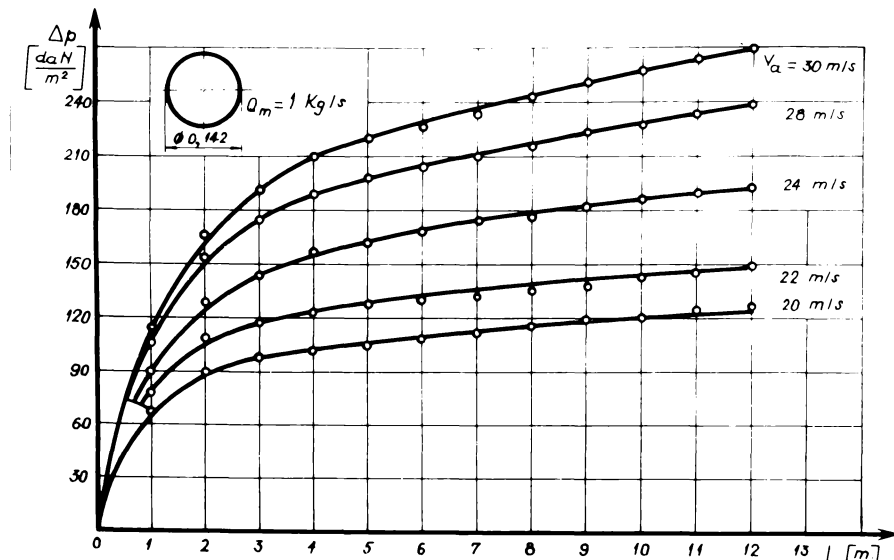


Fig.51. Dependență pierderilor de presiune $\Delta p_{mf}(L)$ la transportul pneumatic al grăului de soia pentru $Q_m = 1 \text{ kg/s}$

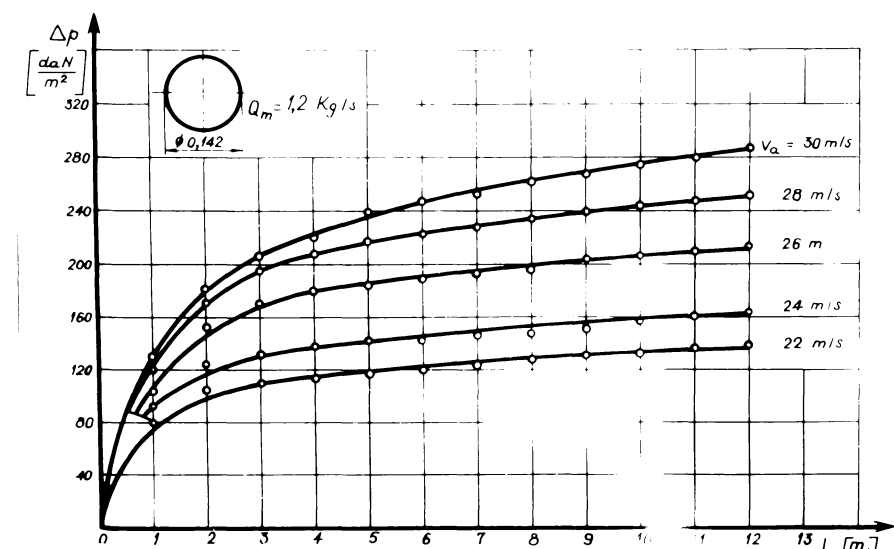


Fig.52. Dependență pierderilor de presiune $\Delta p_{mf}(L)$ la transportul pneumatic al grăului de soia pentru $Q_m = 1,2 \text{ kg/s}$

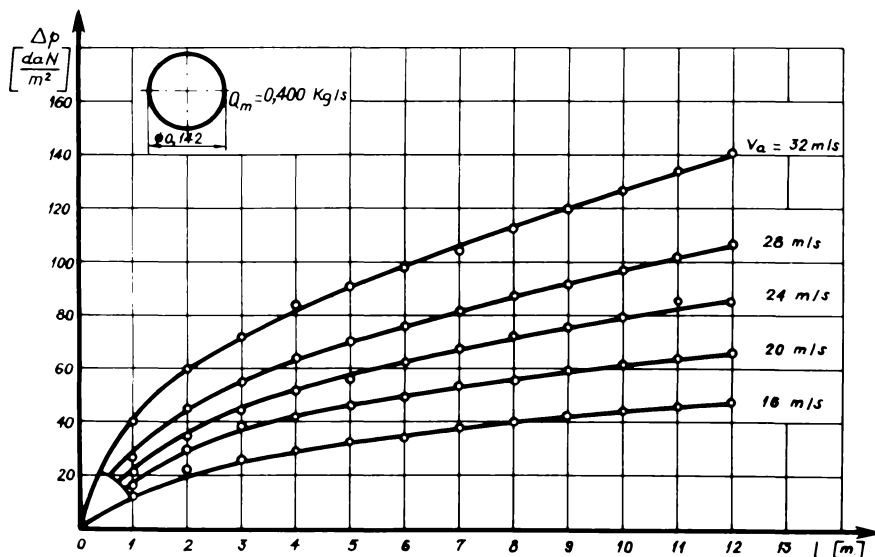


Fig. 53. Dependenta pierderilor de presiune $\Delta p_f(L)$ la transportul pneumatic al grotului de floarea soarelui pentru $Q_m = 0,4 \text{ Kg/s}$

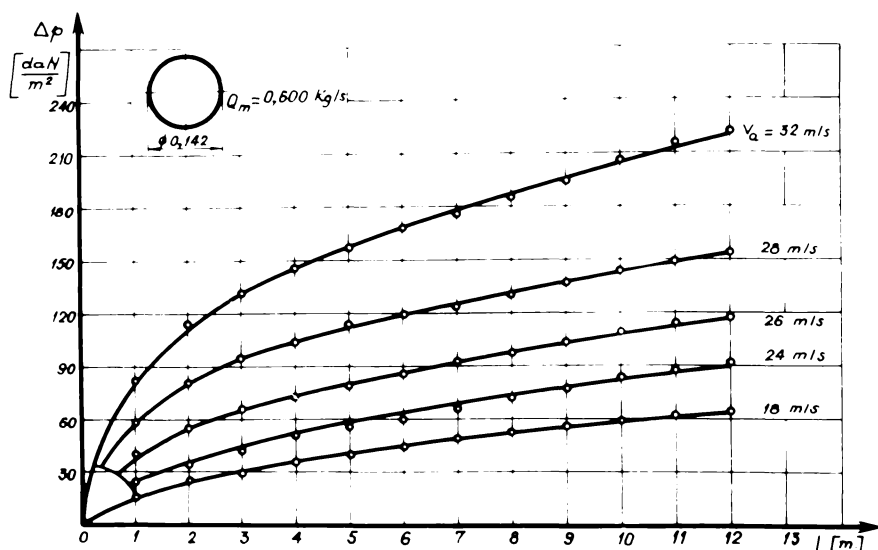


Fig. 54. Dependenta pierderilor de presiune $\Delta p_f(L)$ la transportul pneumatic al grotului de floarea soarelui pentru $Q_m = 0,6 \text{ Kg/s}$

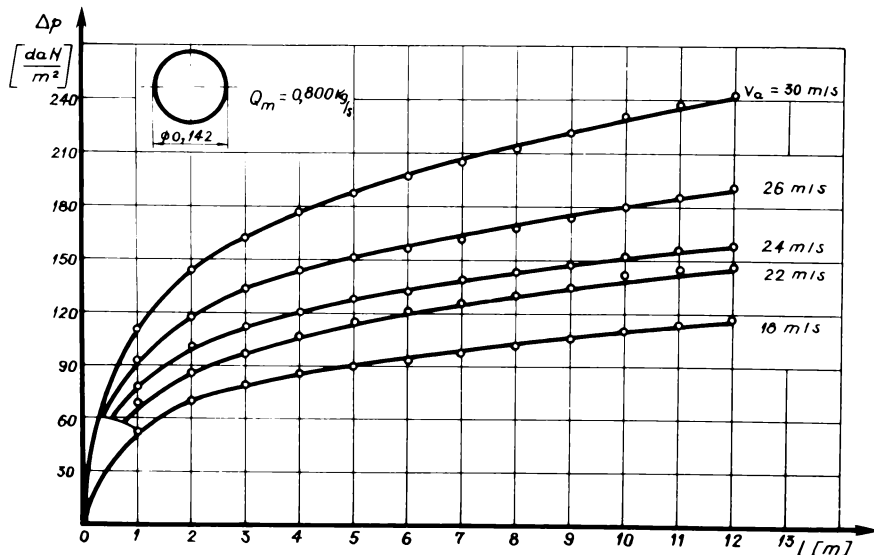


Fig. 55. Dependenta pierderilor de presiune $\Delta p_f(L)$ la transportul pneumatic al gretului de floarea soarelui pentru
 $Q_m = 0,8 \text{ Kg/s}$

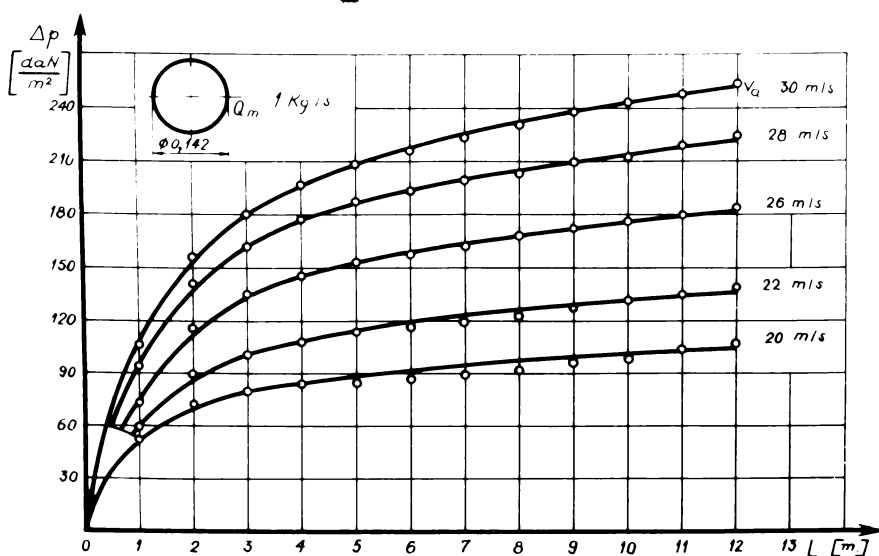


Fig. 56. Dependenta pierderilor de presiune $\Delta p_f(L)$ la transportul pneumatic al gretului de floarea soarelui pentru
 $Q_m = 1 \text{ kg/s}$

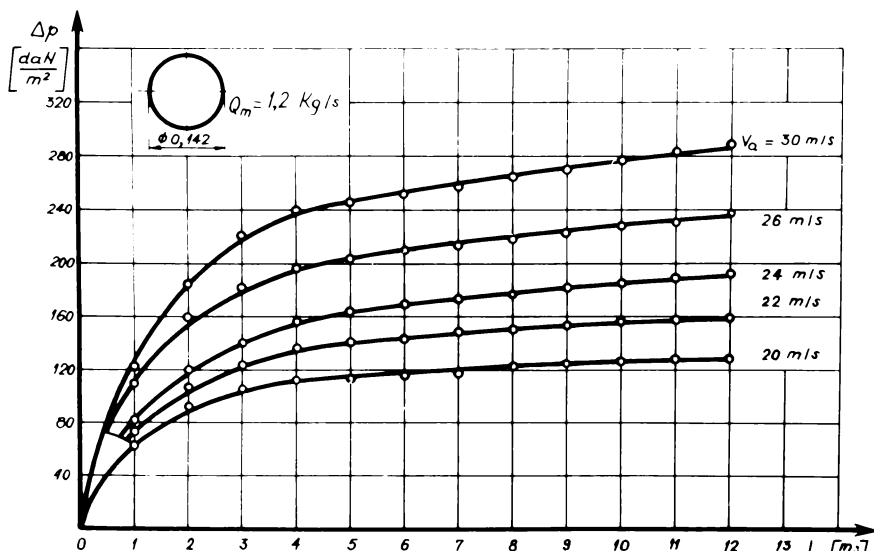


Fig.57. Dependență pierderilor de presiune Δp (L) la transportul pneumatic al grăboalei de floarea soarelui pentru $Q_m = 1,2 \text{ Kg/s}$

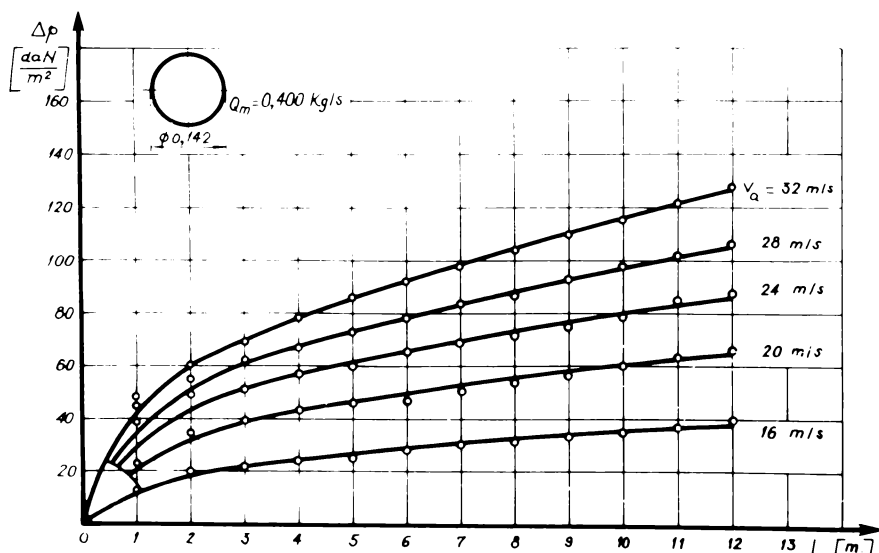


Fig.58. Dependență pierderilor de presiune Δp (L) la transportul pneumatic al tărîței pentru $Q_m = 0,4 \text{ Kg/s}$

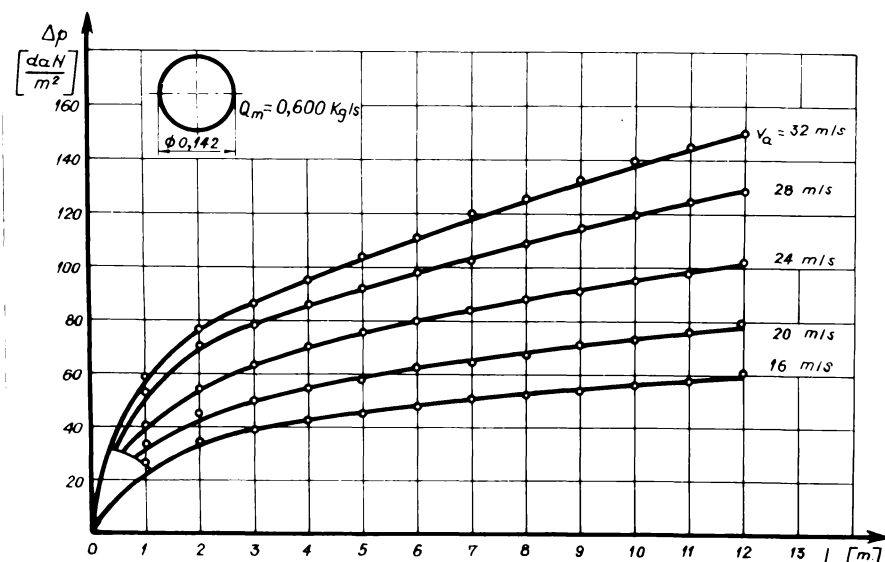


Fig.59. Dependența pierderilor de presiune $\Delta p_f(l)$ la transportul pneumatic al cărăței pentru $Q_m = 0,6 \text{ kg/s}$

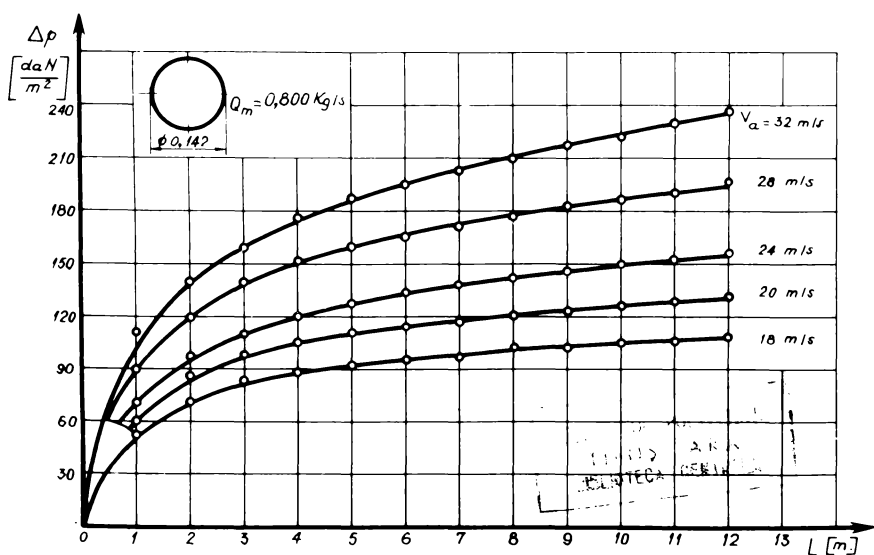


Fig.60. Dependența pierderilor de presiune $\Delta p_f(l)$ la transportul pneumatic al cărăței pentru $Q_m = 0,8 \text{ kg/s}$

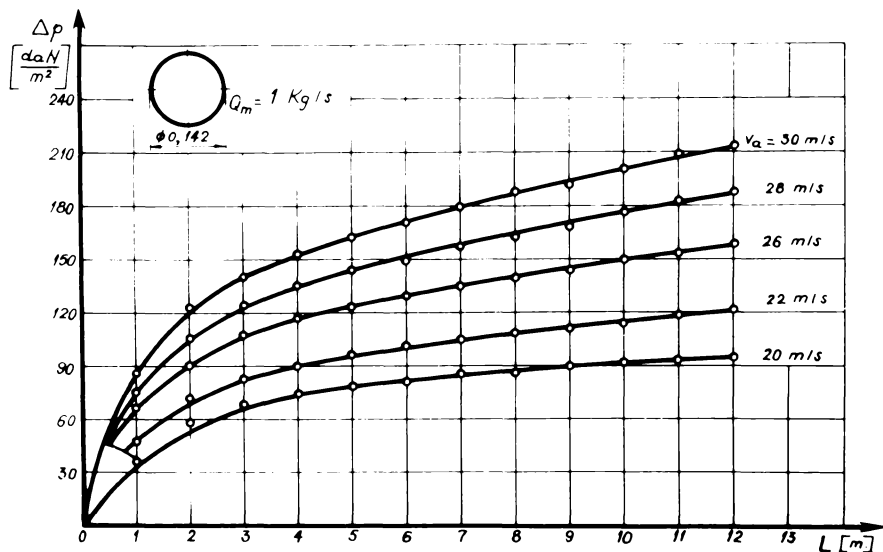


Fig.61. Dependența pierderilor de presiune $\Delta p = f(L)$ la transportul pneumatic al cărării pentru $Q_m = 1 \text{ Kg/s}$

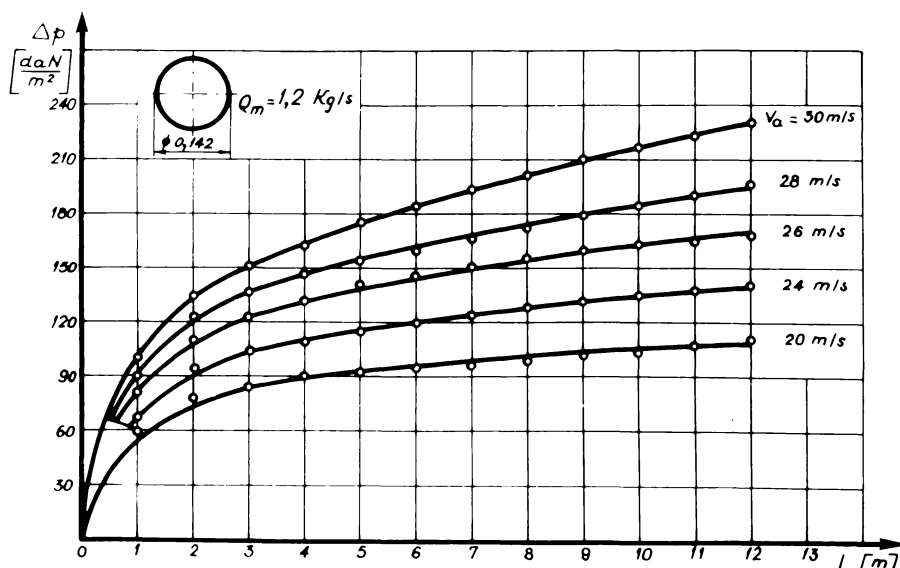


Fig.62. Dependența pierderilor de presiune $\Delta p = f(L)$ la transportul pneumatic al cărării pentru $Q_m = 1,2 \text{ kg/s}$

Analizând diagramele din fig. 53 - 62 se constată în mod evident că pierderile de presiune totale, cresc o dată cu creșterea lungimii conductei, mai accentuat pe primii metri după secțiunea de alimentare. În continuare pierderile de presiune totale au tendința de a se uniformiza, astfel încât în zona mijlocării stabilisate ele cresc aproximativ liniar cu lungimea conductei.

Dependența $\Delta p = f(L)$ obținută de autor pe cale experimentală pentru materialele utilizate la încercări, poate fi comparată cu rezultatele altor cercetători [4, 13, 32, 35 și al.] dar numai în privința altuiai curbelor de variație, nu și sub aspectul mărimii valorilor pentru că pînă în prezent nu s-a studiat sub aspect cantitativ și calitativ transportul pneumatic al nutrețurilor concentrate măcinante în conducte orizontale cu secțiune circulară, sau cel puțin în literatură de speciațitate nu se întîlnesc date cu privire la aceste materiale.

Sub aspectul altuiai curbelor, se constată o asemănare cu cele stabilită în cercetările realizate pentru alte materiale ca: gălbenele, mătășage, porc de cărbune etc.

2.6.5. Influenta debitului de material asupra pierderilor totale de presiune

Dependența $\Delta p = f(Q_d)$ în conductă orizontală cu secțiune circulară, la diferite vînsoale curentului de aer, pentru diferite nutrețuri concentrate măcinante, este prezentată în fig. 63 - 68.

Din analiza acestor diagrame reprezentate cu ajutorul datelor experimentale obținute de autor, reiese faptul că pierderile de presiune totale cresc liniar o dată cu creșterea debitului de alimentare. Desigur că această dependență liniară este valabilă pentru un anumit domeniu. Deoarece debitul de alimentare al conductei de transport este într-un regim de funcționare, destul de considerabil, atunci pot să apară modificări structurale ale transportului care ar conduce la modificarea caracterului variației pierderilor de presiune totale, în funcție de debitul de alimentare.

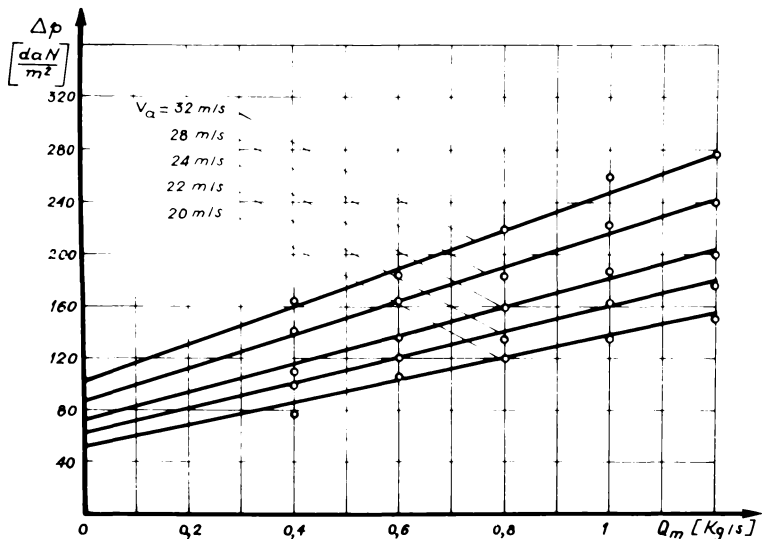


Fig.63. Dependenta pierderilor de presiune $\Delta p = f(Q_m)$ la transportul parometric al parumbului micinat

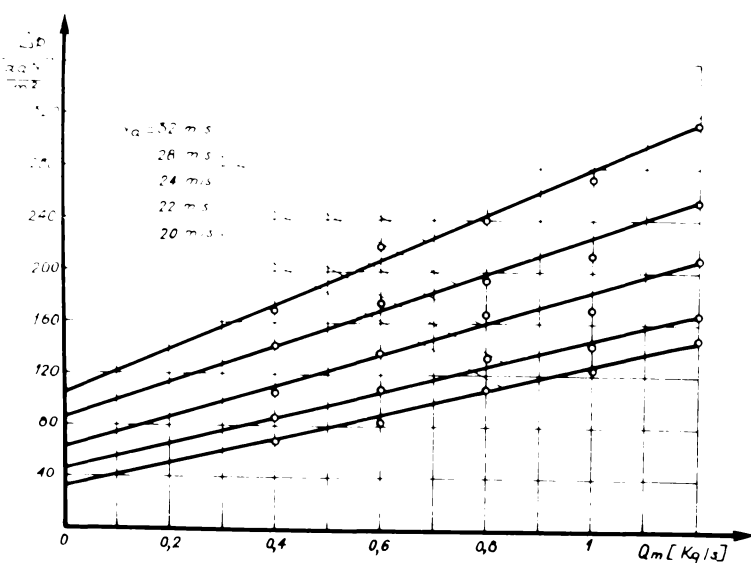


Fig.64. Dependenta pierderilor de presiune $\Delta p = f(Q_m)$ la transportul parometric al cenușei micinat

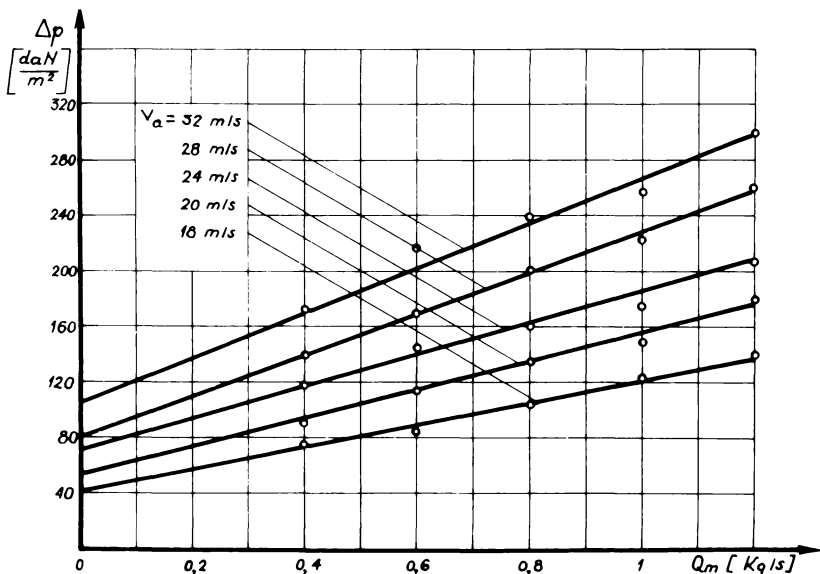


Fig. 65. Dependenta pierderilor de presiune $\Delta p=f(Q_m)$ la transportul pneumatic al砂ului de in

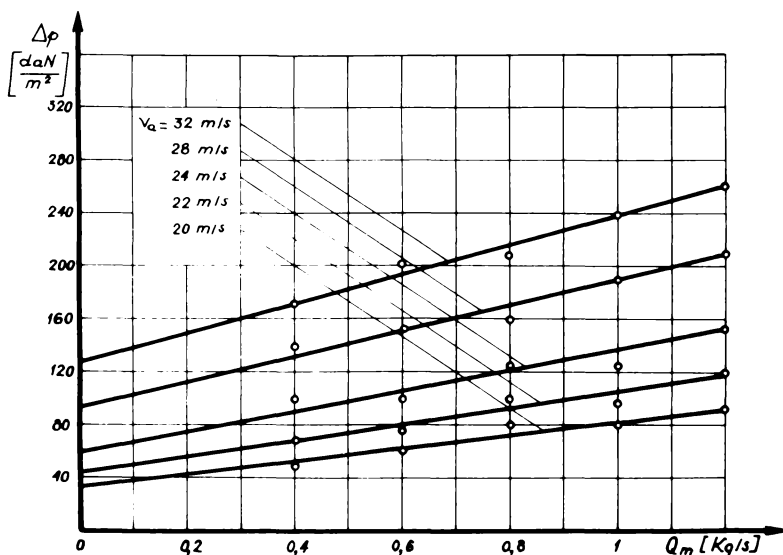


Fig. 66. Dependenta pierderilor de presiune $\Delta p=f(Q_m)$ la transportul pneumatic al砂ului de scăe

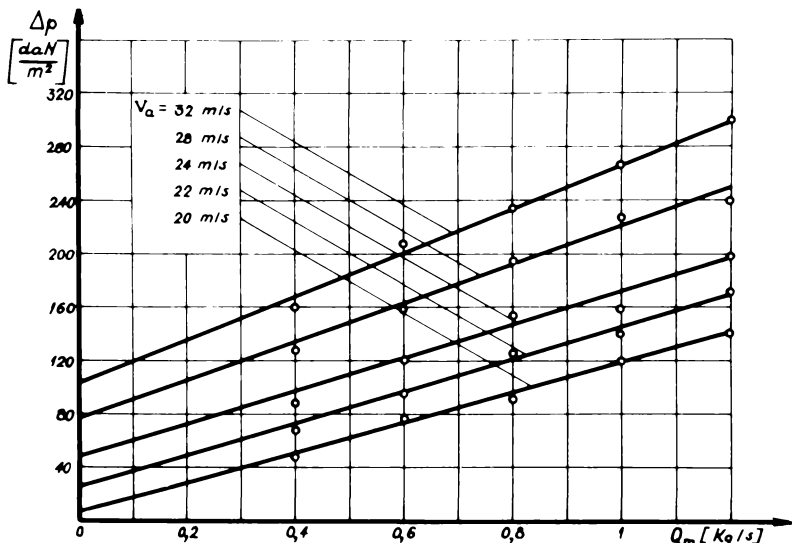


Fig.67. Dependența pierderilor de presiune $\Delta p = f(Q_m)$ în transportul pneumatic al creștului de fierbere scoselui

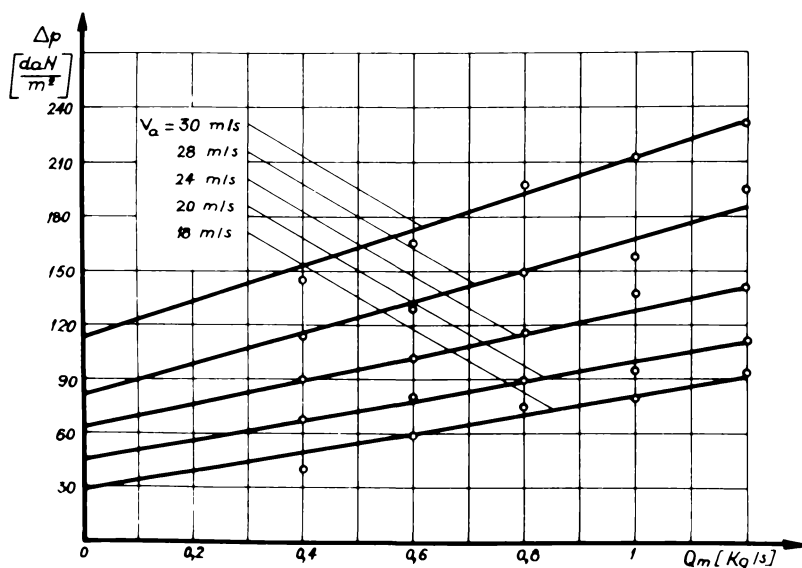


Fig.68. Dependența pierderilor de presiune $\Delta p = f(Q_m)$ în transportul pneumatic al turățelor

De asemenea se poate constata că pierderile de presiune totale în funcție de debitul de alimentare, au valori mai ridicate pentru arz și șrotul de în zi mai scăzute pentru tărîte.

Având în vedere rezultatele obținute de alți cercetători cu privire la dependența pierderilor totale de presiune față de concentrația gravimetrică, dependență care pentru toate datele întinute, este liniară, rezultă că valorile obținute de autor în cadrul încercărilor experimentale sunt corespunzătoare.

2.6.6. Influenta vitezei curentului de aer, asupra pierderilor specifice de presiune

Dependența pierderilor specifice de presiune $\Delta p_{sf}(v_a)$ pentru diferite valori ale vitezei curentului de aer și pentru diferite debite de alimentare cu material în conductă de transport, este prezentată în fig.69 - 74.

Analizând diagramele din aceste figuri se pot constata următoarele:

Pentru valori reduse ale vitezei curentului de aer, în conductă de transport au loc depunerile de materiale. Acest fenomen se produce datorită creșterii concentrației gravimetrice care conduce în final la infundarea conductei. În acest domeniu pierderile specifice de presiune scad o dată cu creșterea vitezei curentului de aer, prezentând un minim caracteristic fiecărui debit de alimentare, pentru fiecare material. Acest minim corespunde punctului de transport pneumatic optim, adică punctului de consum minim de energie, pentru transportul materialului dat.

La mărimea vitezei aerului peste punctul optim, pierderile specifice de presiune cresc din nou, consumul de putere necesar transportului pneumatic mărinindu-se.

Rezultă că regimul optim de funcționare corespunde vitezei curentului de aer pentru care pierderile de presiune prezintă un minim, sau, în domeniul învecinat la dreapta acestui minim.

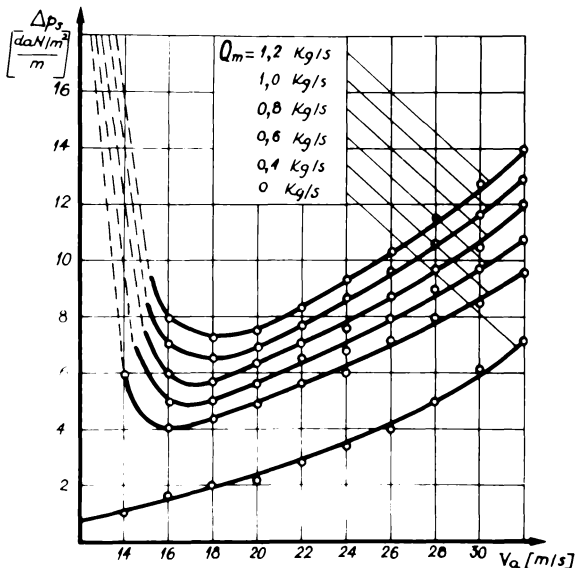


Fig.6). Dependența pierderilor de presiune specifică $\Delta p_s = f(v_a)$ la transportul pneumatic al porumbului măcinat

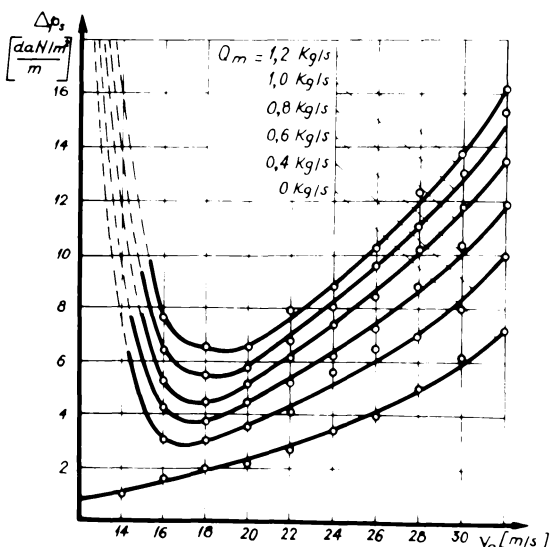


Fig.7). Dependența pierderilor de presiune specifică $\Delta p_s = f(v_a)$ la transportul pneumatic al orezului măcinat

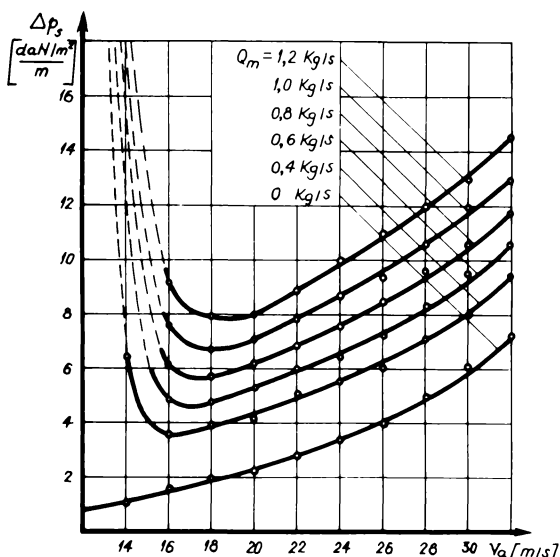


Fig.71. Dependenta pierderilor specifice de presiune $\Delta P_s=f(v_a)$ la transportul pneumatic al grotului de in

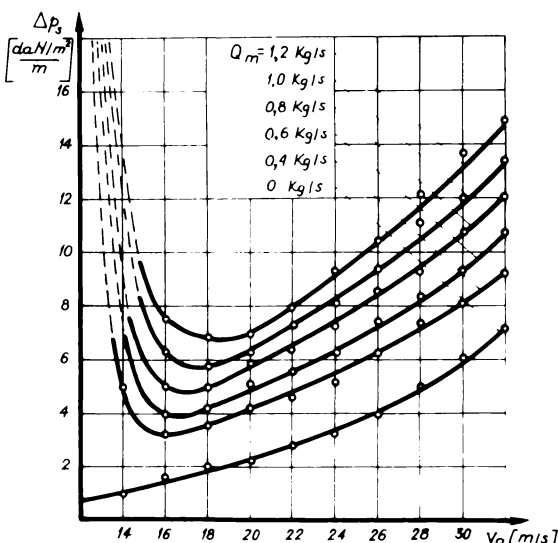


Fig.72. Dependenta pierderilor specifice de presiune $\Delta P_s=f(v_a)$ la transportul pneumatic al grotului de soia

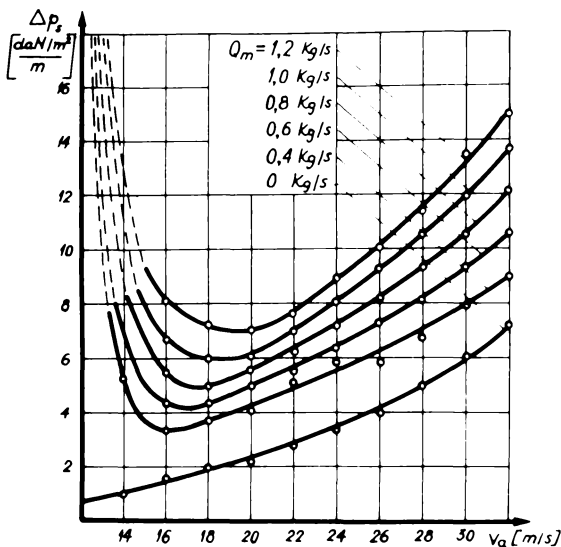


Fig.73. Dependenta pierderilor de presiune $\Delta p_s = f(v_a)$ la transportul pneumatic al șrotului de floarea scărelui

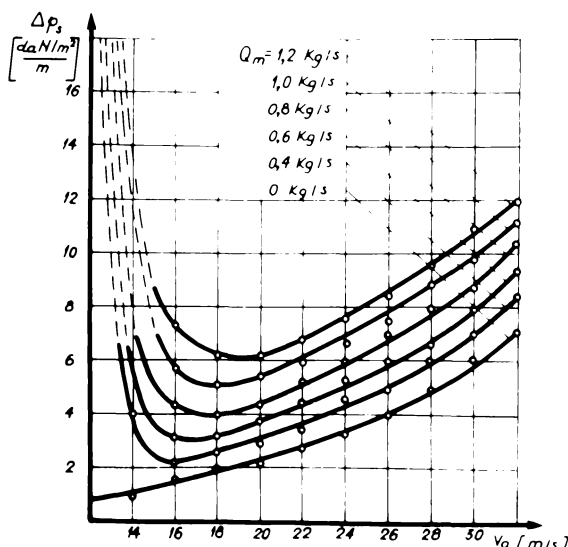


Fig.74. Dependenta pierderilor specifice de presiune $\Delta p_s = f(v_a)$ la transportul pneumatic al tărîtelor

Bu este indicat să se folosească valori ale vitezei curentului de aer situate în stînga minimului datorită fenomenelor descrise mai sus.

Astea evidență că pentru diferite debite de alimentare poziția punctului ce exprimă minimul pierderilor specifice de presiune se deplasează spre dreapta către valori mai mari ale vitezei curentului de aer.

Pentru debitele de alimentare $v_m = 0,4 \text{ kg/s} - 1,2 \text{ kg/s}$ vitezele optime ale curentului de aer pentru materialele utilizate în cadrul încercărilor, sunt cuprinse în limitele:

$v_a = 15 - 19 \text{ m/s}$	- porumb măcinat
$v_a = 16,8 - 21 \text{ m/s}$	- orez măcinat
$v_a = 16,2 - 20 \text{ m/s}$	- șrot de in
$v_a = 16,8 - 20,8 \text{ m/s}$	- șrot de soia
$v_a = 15,3 - 19 \text{ m/s}$	- șrot de floarea soarelui
$v_a = 15,4 - 18,4 \text{ m/s}$	- tărîiye

Aceste valori ale vitezei curentului de aer, stabilite din diagramele traseate de autor, lipseau din literatură de specialitate. Astfel ele vin să completeze un gol existent, oferind serviciilor de proiectare noi date cu privire la transportul pneumatic al nutrețurilor concentrate prin conducte orizontale cu secțiune circulară.

2.6.7. Influenta diametrului conductei de transport, asupra pierderilor specifice de presiune

Pentru a analiza influența diametrului conductei cu secțiune circulară, asupra pierderilor specifice de presiune, pentru transportul pneumatic al porumbului măcinat, la viteza curentului de aer $v_a = 19 \text{ m/s}$, s-a traseat diagrama din fig.75.

Din diagramă rezultă că pierderile specifice de presiune Δp_g decresc cu creșterea diametrului D al conductei mai pronunțat pentru $D < 0,1 \text{ m}$.

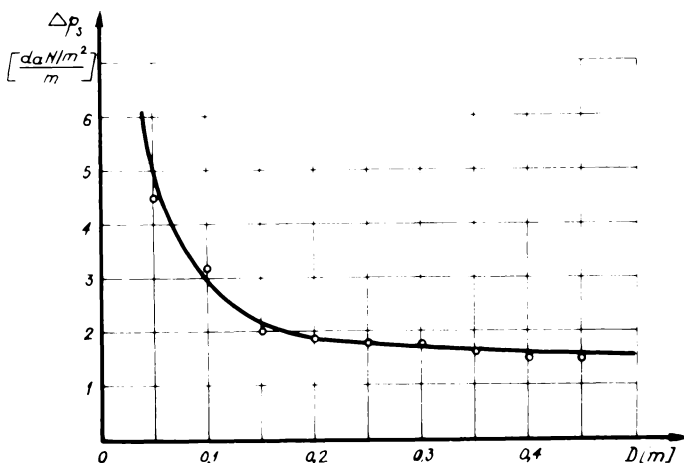


Fig.75. Dependenta pierderilor specifice de presiune Δp_s de D pentru transportul pneumatic al porumbului măcinat

Pentru valori ale diametrului $D > 0,3$ m, pierderile specifice de presiune au o descreștere neînsemnată. Rezultă că alegerea diametrului conductei astfel, încât corelat cu ceilalți factori să asigure valori reduse ale pierderilor de presiune, asigură funcționarea ratională a instalației de transport.

2.7. Determinarea vitezei particulelor de putruit concentrat măcinat, în conductă de transport orizontală cu secțiune circulară

În studiul făcut în capitolul 2 este prezentată cinematica particulelor solide în condițiile transportului pneumatic în conducte orizontale cu secțiune circulară, a rezultat că viteza

za particulelor de material depinde de mărimea vitezei curentului de aer, de debitul de alimentare, de viteză de plutire a particulelor și bineînțeles de parametrii constructivi ai conductei.

Incercurile care s-au făcut pînă în prezent în vederea stabilirii unei legi de variație a vitezei particulelor de material în dependență de parametrii emițiți, nu au permis să se obțină date care ar putea fi generalizate pentru domeniile mai largi de utilizare sau pentru o gamă mai mare de materiale. Din acest motiv, cunoscind că în cazul transportului pneumatic, mișcarea vitezei particulelor de material în scopul mișcării pierderilor de presiune, pentru mărimea rădămentului unei instalații, este limitată în ceea ce îl corespunde fenomenul de depunere, s-a considerat necesar să se determine pe cale experimentală mărimea vitezei minime a particulelor, la care transportul se execută în condiții normale.

Acest lucru este posibil deoarece în cadrul lucrărilor efectuate de autor pe standul experimental, s-a putut stabili cu exactitate mărimea pierderilor de presiune totale, cît și a pierderilor de presiune cauzate numai de circulația curentului de aer curat. Legătura între acești parametri și viteza particulelor de material este redată prin ecuația (122) stabilită de autor :

$$\frac{\frac{v_m}{v_a}}{(1 - \frac{v_m}{v_a})^2} = \frac{C_m \cdot V_a \cdot S \cdot L}{(\Delta p - \Delta p_{sc}) \Delta v_p^2}$$

Avind în vedere multitudinea factorilor care influențează simultan viteza materialului în conductă orizontală de transport, precum și numărul mare de valori ai acestor factori care au fost luate în considerație la determinarea pierderilor de presiune, autorul a programat în limbaj FORTRAN această emiție, iar soluțiile numerice pentru v_m au fost obținute după rularea programului la calculatorul FILIX 3-256.

Pentru întocmirea organigramei (fig.76) în baza căreia s-a făcut programarea calculelor pentru viteza materialu-

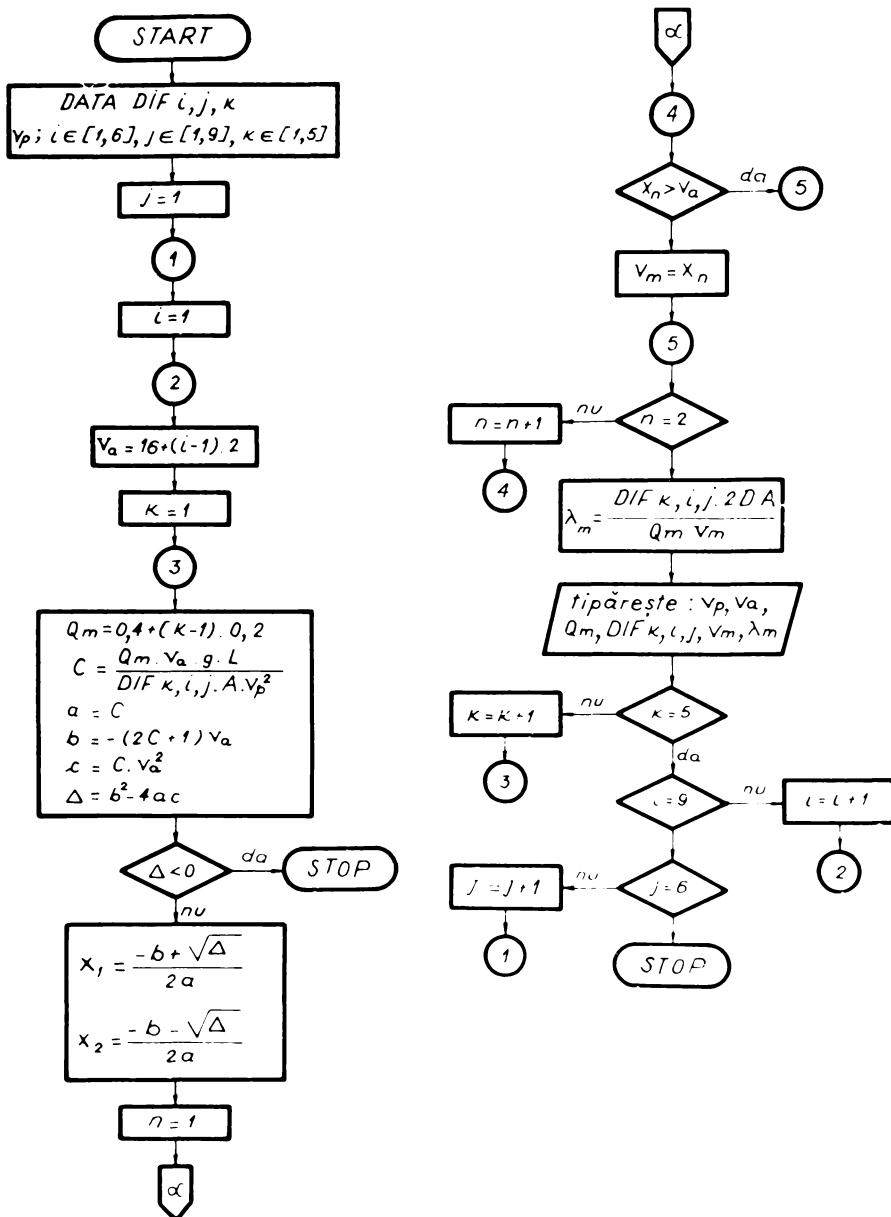


Fig.76. Dezmigrana pentru calculul vitezei materialelorui (v_m) și a coeficientului de rezistență (λ_m)

lui v_m s-a explicitat ecuația (122).

In vederea obținerii soluțiilor numerice ale vitezei materialului, au fost luate în considerație următoarele valori pentru elementele conținute în organigramă:

$$v_m = 0,4; 0,6; 0,8; 1,0 \text{ și } 1,2 \text{ m/s}$$

$$v_a = 16; 18; 20; 22; 24; 26; 28; 30 \text{ și } 32 \text{ m/s}$$

v_p = valorile corespunzătoare stabilite pentru fiecare material;

$\Delta p - \Delta p_{ac}$ = valorile care au reieșit din încercările experimentale pentru valorile lui v_m și v_a luate în considerație;

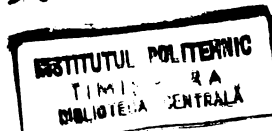
$$L = 10 \text{ m}$$

$$A = 0,0156 \text{ m}^2$$

In bază soluțiilor numerice oferite de calculator, au fost întocmite diagrame de variație $v_p = f(v_m)$ pentru diferite debite de alimentare, corespunzătoare celor șase materiale folosite pentru încercările experimentale, prezентate în fig.77 - 42.

Analizind aceste diagrame se poate constata că în timpul transportului pneumatic, în conductă orizontală cu secțiune circulară, o dată cu creșterea vitezei curentului de aer crește și viteză particulelor. Această lucru este firesc dat fiind faptul că mișcarea particulelor este produsă de acțiunea curentului de aer. De asemenea se poate observa că viteză particulelor de material este mai mică decât viteză curentului de aer. Acest fenomen constatat de altfel și de alții cercetători [7, 19, 72, 73 și alții], a putut fi pus în evidență prin diferite metode în cadrul experimentărilor efectuate și prezентate în literatură dar cu erori de determinare evaluate în cele mai multe cazuri la circa 25%, ceea ce considerăm ca neexistăfăcător.

Prin metoda folosită, autorul a eliminat în mare parte posibilitatea introducerii de erori în măsurători, astfel încât valoarea lor s-a situat la circa 5%.



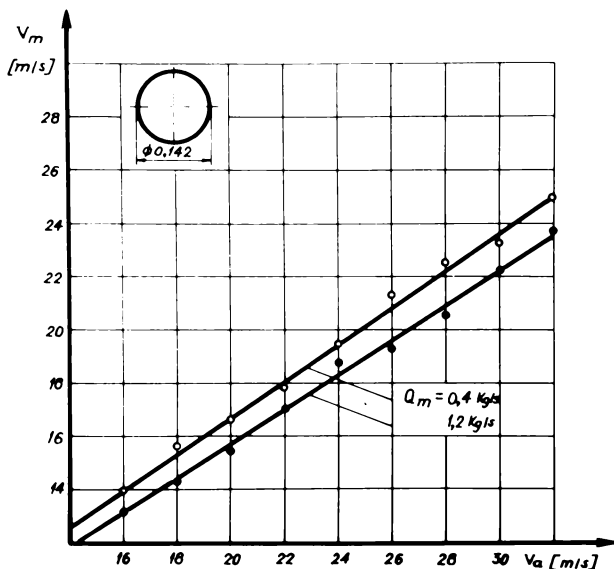


Fig.77 Dependența vitezei particulelor de material $v_m=f(v_a)$ într-o conductă orizontală cu $D = 142 \text{ mm}$ pentru posumb măcinat

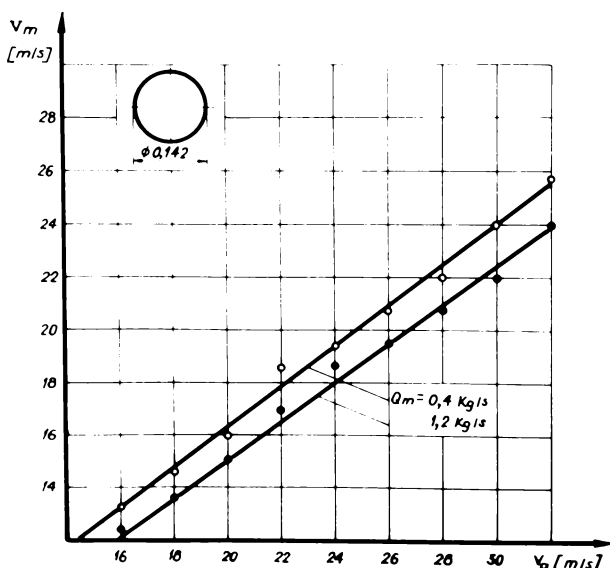


Fig.78. Dependența vitezei particulelor de material $v_m=f(v_a)$ într-o conductă orizontală cu $D = 142 \text{ mm}$, pentru ora măcinat

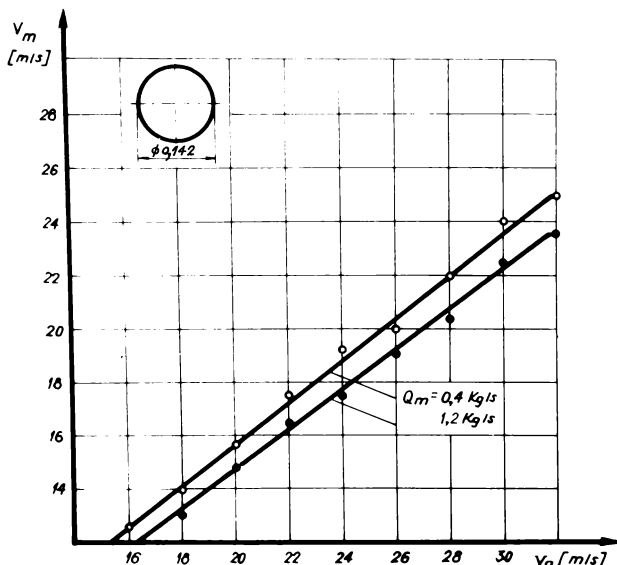


Fig.79. Dependența vitezei particulelor de material $v_m = f(v_a)$ într-o conductă orizontală cu $D = 142$ mm pentru șrot de in

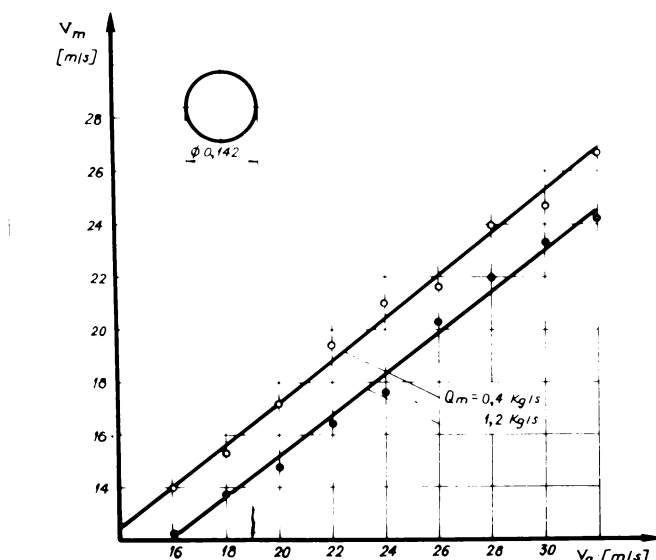


Fig.80. Dependența vitezei particulelor de material $v_m = f(v_a)$ într-o conductă orizontală cu $D = 142$ mm pentru șrot de soiă

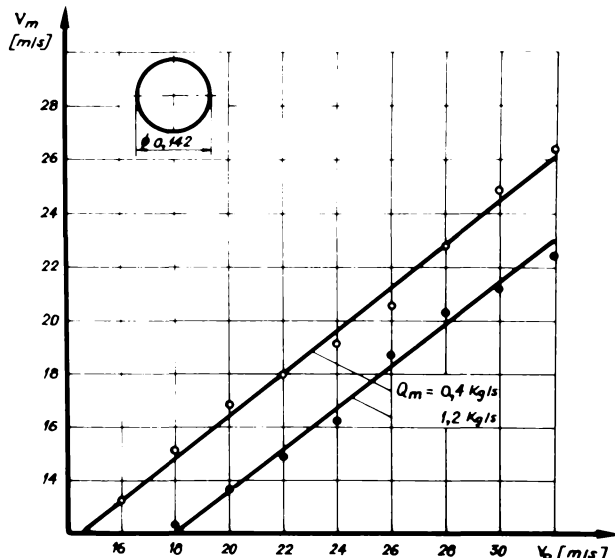


Fig. 81. Dependenta vitezei particulelor de material $v_m=f(v_a)$ intr-o conductă orizontală cu $D = 142 \text{ mm}$ pentru șrot de floarea soarelui

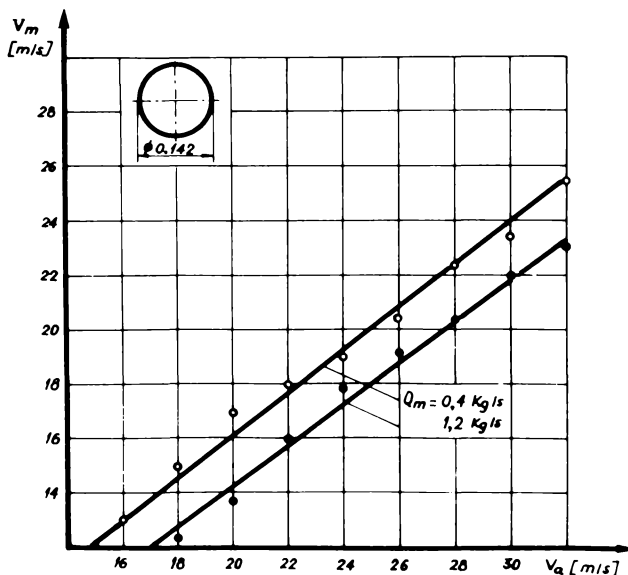


Fig. 82. Dependenta vitezei particulelor de material $v_m=f(v_a)$ intr-o conductă orizontală cu $D = 142 \text{ mm}$ pentru tărîte

Trebui să menționăm faptul că dependența liniară $v_m = f(v_a)$ stabilită de autor, este valabilă numai în domeniul transportului pneumatic pentru valori ale curentului de aer $v_a = 16 - 32$ m/s. În afara acestor valori este posibil ca această legătură să nu mai fie respectată și acest lucru mai ales pentru $v_a < 16$ m/s.

În diagramele trase au fost prezentate dreptele de variație $v_m = f(v_a)$ numai pentru $\rho_m = 0,7$ și 1,2 kg/s. Este evident că pe măsură ce debitul de alimentare, respectiv concentrația gravimetrică a amestecului de aer - particule solide - crește, crește și diferența între viteza curentului de aer și cea a particulelor de material. Aceste diagrame au mare importanță practică, întrucât oferă posibilitatea de determinare a vitezei materialului în funcție de viteza curentului de aer din conductă de transport, în mod operativ și cu o precizie satisfăcătoare. Diagramele sunt valabile însă numai pentru materialele folosite pentru încercări și în condițiile de transport pneumatic admisibile.

Stabilirea unei legi generale de variație $v_m = f(v_a)$ în baza acestor rezultate, nu este posibilă încă, datorită cunoșterii insuficiente în stadiul actual, a influenței simultane a tuturor factorilor care conditionează transportul pneumatic. Din această cauză sunt necesare noi corectări teoretice și experimentale asupra acestui important parametru.

Se menționează că ecuația (122) stabilită de autor, în baza căreia s-a determinat viteza materialului pentru diverse regimuri de transport, conține principaliii factori care condiționează dinamica particulelor și ca atare redă mai exact fenomenul ce are loc în conductă orizontală de transport, în comparație cu relațiile folosite pînă în prezent în acest scop.

2.3. Determinarea coeficientului de rezistență λ_m pentru rețelele concentrate năcinate transportare pneumatică

Stabilirea pe care teoretică a coeficientului de re-

sistенță datorită frecurii și ciocnirii particulelor de material cu peretele conductei (λ_{nc}) și a coeficientului de rezistență datorită ciocnirii între particulele de material (λ_{mm}) este posibil, așa cum am mai menționat, numai în cazuri speciale dacă particulele existente în conductă de transport, se deosebesc chiar într-o caracteristică a lor.

În cazul nătreurilor concentrate năcigate, aceeași condiție nu poate fi satisfăcută din cauza stării în care se prezintă materialul. I-a impus astfel căcierea unei alte metode de determinare.

Autorul, analizând ecuația (117) care a stabilit-o pentru calculul pierderilor totale de presiune în conductă orizontală cu secțiune circulară, a ajuns la concluzia că cei doi coeficienți λ_{nc} și λ_{mm} se pot determina împreună în cadrul unui coeficient global;

$$\lambda_g = \lambda_{nc} + \lambda_{mm} = \frac{2(\Delta p - \Delta p_{sc})_{tot}}{\eta \cdot v_m^2} \quad (163)$$

Întrucât calculul numeric al coeficientului global de rezistență λ_g având în vedere numărul mare de valori pe care le poate luce prin variația elementelor de care depinde, autorul a programat în limbaj Fortran și această ecuație. Astfel tînărul se sănătătă că acest coeficient dobinde și de valoarea vitezei materialului (v_m) în conductă de transport, verificarea stabilității tot cu ajutorul calculatorului, a întocmit organigrama pentru λ_g (fig.76) în continuarea organigrammei pentru v_m în scopul folosirii directe a acestor valori. Prin urmarea programului complet la calculatorul ZILIX C-256 s-a obținut atît valorile numerice pentru viteza materialului (v_m) cît și pentru coeficientul global de rezistență (λ_g). În ajutorul valorilor lui λ_g s-a trăsat apoi diagramele din fig.83 - 86.

Din analiza acestor diagrame se poate observa că coeficientul λ_g , crește odată cu majorarea numărului lui Froude, mai pronunțat dacă particulele de material au o suprafață uscată. Într-o valori mici ale numărului lui Froude

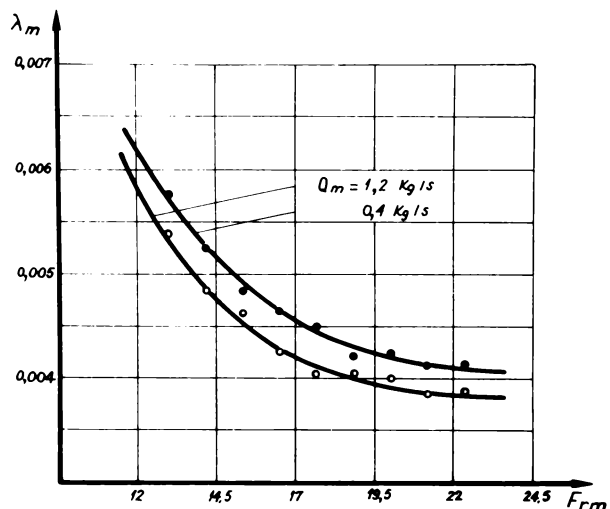


Fig.33. Dependenta coeficientului global de rezistență $\lambda_m=f(F_{rm})$ la transportul pneumatic într-o conductă orizontală cu $D=142 \text{ mm}$ a porumbului măcinat

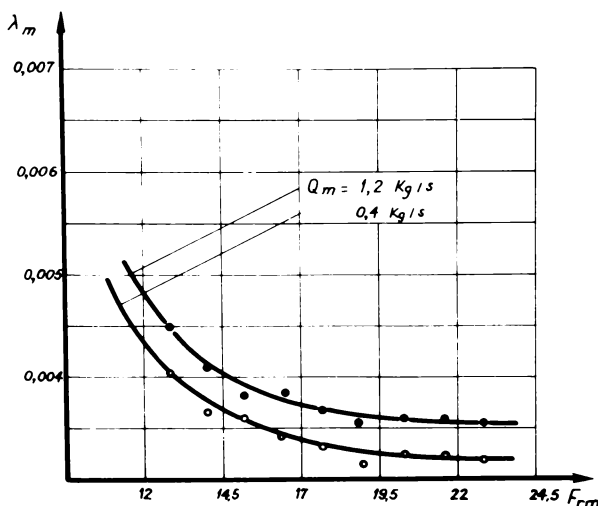


Fig.34. Dependenta coeficientului global de rezistență $\lambda_m=f(F_{rm})$ la transportul pneumatic într-o conductă orizontală cu $D=142 \text{ mm}$ a orezului măcinat

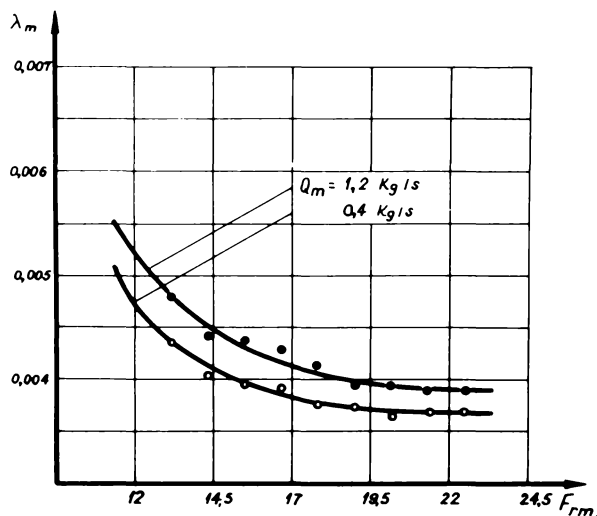


Fig.35. Dependența coeficientului global de rezistență $\lambda_m=f(F_{rm})$ la transportul pneumatic într-o conductă orizontală cu $D=142$ mm a șrotului de in

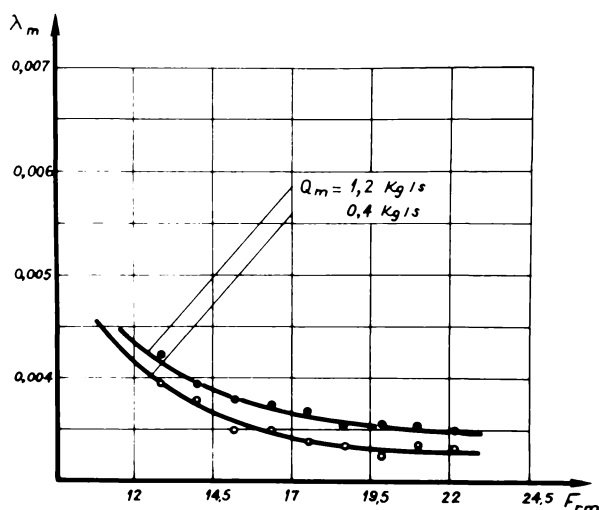


Fig.36. Dependența coeficientului global de rezistență $\lambda_m=f(F_{rm})$ la transportul pneumatic într-o conductă orizontală cu $D=142$ mm a șrotului de soia

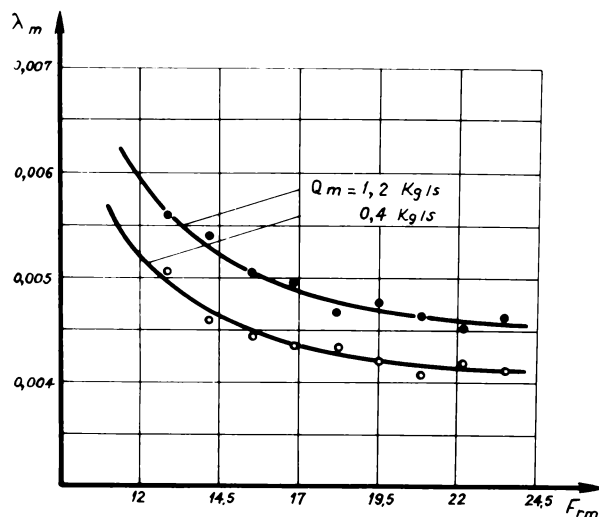


Fig.37. Dependența coeficientului global de rezistență λ_m de la transportul pneumatic într-o conductă orizontală cu $D=142$ mm a zăpezii de floareea neagrului

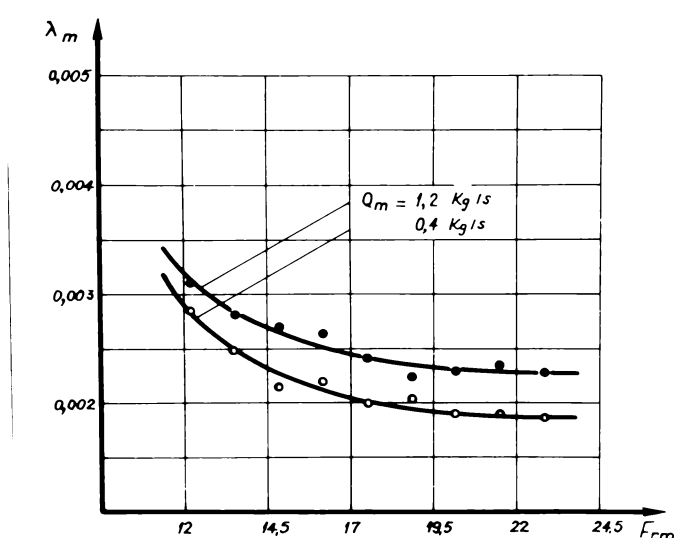


Fig.38. Dependența coeficientului global de rezistență λ_m de la transportul pneumatic într-o conductă orizontală cu $D=142$ mm a tărîțelor

corespunzătoare limitei de infundare, λ_m crește foarte mult. În funcție de dimensiunile conductei de transport, doar se urmărește relația (163) se constată că, coeficientul λ_m crește cu creșterea diametrului conductei (d) și scade cu creșterea lungimii (L). De asemenea este evident că pe măsură ce debitul de alimentare crește, crește și valoarea coeficientului de rezistență λ_x .

Pentru $Fr_m < 15$ variația $\lambda_m = f(Fr_m)$ este proastă, pentru ca la valori ale numărului lui Froude $Fr_m > 15$ această variație să fie considerabilă.

Diagramele traseate de autor pentru fiecare din cele cinci materiale utilizate în cadrul cercetărilor, au o mare importanță practică. Astfel se menționează că în literatura de specialitate sunt prezentate un număr mare de relații stabilite analitic sau pe cale experimentală de diferiți cercetători, pentru determinarea coeficientului de rezistență în cazul transportului pneumatic. Dar domeniul lor de utilizare, nu se extinde și asupra unor materiale de tipul nutrețurilor concentrate nucinate care sunt transportate pneumatic într-o conductă orizontală, ori pentru aceste materiale pînă în prezent se folosesc date aproximative prin comparație cu cele ale altor cercetători (ex. runcină de lemn, talc, semințe etc.).

În concluzie, diagramele din fig. 39 - 40 pot fi folosite în practică pentru determinarea coeficientului global de rezistență cauzat de prezenta materialului în conductă de transport. Trasate pentru prima dată pentru nutrețurile concentrate nucinate, ele vin să completeze golul existent în literatură în acest domeniu.

Metoda folosită de autor pentru determinarea acestui parametru, nu este întîlnită în literatură. Erorile de măsurare cîntându-se sub 5% considerăm că precizia acestor determinări este satisfăcătoare.

2.9. Influența vitezei curentului de aer v_a , asupra gradului de utilizare a energiei η_n

În analiza relației (127) stabilită de autor pentru determinarea gradului de utilizare a energiei, reiese că aceasta

este influențat în mod determinant de viteza curentului de aer v_a .

Pentru instalația experimentală folosită, s-a exprimat grafic dependența $\eta_u = f(v_a)$ pentru diferite debite de alimentare, cu porumb măcinat (fig.89).

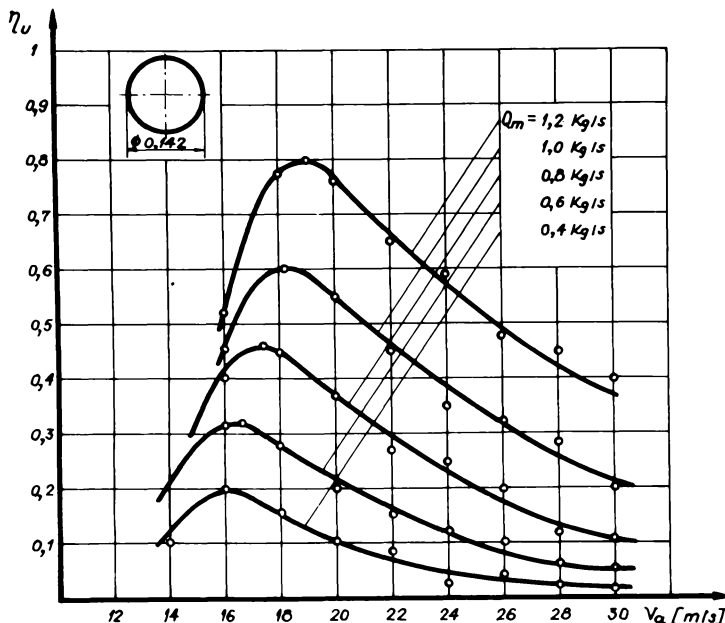


Fig.89. Dependența gradului de utilizare $\eta_u = f(v_a)$ într-o conductă orizontală cu $D=142$ mm pentru porumb măcinat

În această diagramă reiese faptul că gradul de utilizare al energiei mediului de transport are valorile maxime pentru anumite debite de material, la viteză ale curentului de aer situate în apropierea limitei de infundare. De asemenea rezultă că η_u crește o dată cu creșterea debitului de material pînă la o anumită valoare. În încărcări foarte mari cu material, η_u se înrăutățește și această situație trebuie evitată în exploatarea instalațiilor de transport pneumatic.

Desigur, avind în vedere că η_u este influențat și de lungimea conductei, o apreciere reală asupra acestui parametru important, se poate face numai în cazuri concrete, la

instalații de transport pneumatic al nutrețurilor concentrate măcinate, unde lungimea conductei este impusă prin tema de proiectare.

CONCLuzIu GENERAL

Cercetările teoretice și experimentale ale autorului privind: stabilirea unei metode de calcul a pierderilor de presiune ce se produc la deplasarea nutrețurilor concentrate măcinate, în condițiile transportului pneumatic, într-o conductă orizontală cu secțiune circulară constantă; stabilirea dependenței vitezei particulelor de nutră concentrat măcinat, în funcție de viteză curentului de aer; stabilirea gradului de utilizare a energiei pentru transportul pneumatic al acestor nutrețuri; determinarea exprimării unor caracteristici fizico-mecanice ale nutrețurilor concentrate măcinate și determinarea coeficiențului global de rezistență la deplasarea acestor nutrețuri în conductă de transport, sunt în evidență următoarele:

1. În baza analizei fenomenelor ce se produc în timpul transportului pneumatic în conducte orizontale cu secțiuni circulare, autorul a stabilit relația (69) pentru calculul pierderilor de presiune produse de frecarea aerului cu pereții conductelor lungi, întinute în cadrul fabricilor de nutrețuri concentrate combinate.

Spre deosebire de relațiile utilizate pînă în prezent în acest scop, relația (69) conține și variația gradientului de presiune a aerului de transport, exprimând astfel mai exact fenomenul ce are loc în instalațiile de transport pneumatic, în conducte lungi;

2. În lucrare se făc completări originale asupra dinamicii particulelor de material, în conductă orizontală. Aceast lucru a permis autorului să stabilească pe cale teoretică relația (95) pentru calculul pierderilor de presiune datorită frecărîi și ciocnirîi particulelor de nutră concentrat măcinat,

cu peretii conductei de transport, considerind că aceste pierderi sunt influențate de debitul de material existent în conductă, de numărul de ciocniri al particulelor de nutreț la parcurgerea unei anumite lungimi de conductă, de pierderile de viteză la fiecare ciocnire și de parametrii constructivi ai conductei de transport.

3. Nutrețurile concentrate măcinate se prezintă în general sub formă unor particule cu dimensiuni ce variază în limitele $0,1 - 3$ mm. În timpul transportului pneumatic, în conductă orizontală cu secțiune circulară, aceste particule de nutreț sunt antrenate în mișcare de curentul de aer, cu viteză de deplasare diferite. Din acestă cauză, particulele se ciocnesc între ele, producindu-se o dissipare a energiei lor cinetice.

Autorul considerind acest fenomen ca o particularitate a transportului pneumatic al nutrețurilor concentrate măcinate, care nu a fost studiată pînă în prezent, a stabilit pe cale teoretică relația (116) pentru calculul pierderilor de presiune datorate ciocnirii particulelor între ele.

Relațiile (95) și (116) conțin termenul $\frac{\rho}{\pi} A \cdot V_m^2$, care reprezintă densitatea reală a particulelor de material în conductă de transport. Folosit pentru prima dată, acest termen mărește gradul de precizie a calculului pierderilor de presiune cauzate de prezența materialului în conductă de transport.

4. Autorul a stabilit în cadrul cercetărilor teoretice, relația (117) pentru calculul pierderilor totale de presiune datorate mișcării particulelor de nutreț concentrat măcinat, în sensul de deplasare al curentului de aer, în conductă de transport orizontală cu secțiune circulară. Această relație conține termeni care țin seama de influența principaliilor factori (P_1 , v_s , V_m , δ_a , β_{av} , L , ν , λ_{ec} , λ_{nc} , λ_{nn}) asupra pierderilor totale de presiune.

5. Relația (122) stabilită de autor pentru determinarea vitezei particulelor de nutreț concentrat măcinat, ce se deplasează într-o conductă orizontală cu secțiune circulară, precizează că acest parametru depinde de viteză curentului de aer, de debitul de alimentare cu material, de para-

metrii constructivi ai conductei și de viteză de plutire a particulelor.

6. Autorul a definit sub o formă originală, gradul de utilizare a energiei în cadrul transportului pneumatic și apreciază că acesta este indicatorul principal în raport cu care se pot analiza sub aspect energetic diferențele instalații de transport.

Relația (127) stabilită de autor pentru calculul gradului de utilizare a energiei, arată că pentru fiecare secțiune de conductă, există o valoare optimă a acestui parametru, atât pentru o anumită încărcare cu material a conductei cât și pentru o anumită putere a curentului de aer utilizat pentru transport.

7. Încercările experimentale asupra procesului de transport pneumatic al nutrețurilor concentrate măcinate, în conductă orizontală cu secțiune circulară, au fost efectuate pe o instalație concepută, proiectată și realizată prin colaborare în cadrul laboratorului Catedrei de Mașini agricole de la Facultatea de mecanică agricolă din Timișoara.

Instalația realizată este prevăzută cu dispozitive pentru reglarea vitezei curentului de aer și a debitului de alimentare cu nutreț concentrat măcinat. În conductă de transport sunt prinse pentru tuburi Pitot și prinse pentru măsurarea presiunii statice legate la un panou cu piezometre.

8. Metodica încercărilor stabilită de autor, a permis studiul influenței unui număr mare de factori asupra transportului pneumatic al nutrețurilor concentrate măcinate, în conductă orizontală cu secțiune circulară.

9. Pentru determinarea granulosității nutrețurilor concentrate măcinate, autorul a conceput, proiectat și realizat un dispozitiv destinat sortării particulelor de nutreț, după dimensiuni. Datele obținute, stăpânește faptul că aceste materiale, se prezintă sub forma unor particule cu dimensiuni de 0,1 - 3 mm.

10. Măsurările privind determinarea densității nutrețurilor concentrate măcinate s-au făcut cu o precizie satisfăcătoare. Astfel datele obținute pot fi folosite în cadrul serviciilor de proiectare a instalațiilor de transport pneumatic, completindu-se totodată golul existent în literatura de specialitate cu privire la această proprietate a nutrețurilor.

11. Autorul a conceput, proiectat și realizat un aparat original pentru determinarea coeficientului de frecare dinamic al materialelor utilizate în încercările experimentale. Metodica încercărilor a permis stabilirea mărimii coeficientelor de frecare dinamici pentru nutrețurile concentrate măcinate, în raport cu viteza, valori care lipesc din literatura de specialitate.

12. Pierderile specifice de presiune datorită frecării curentului de aer cu peretii conductei, au fost determinate în raport cu variația vitezei medii a curentului de aer. Se poate constata perfecta concordanță a valorilor măsurătorilor experimentale cu valorile calculate.

Acest lucru atestă că ipoteza făcută de autor cu privire la influența variației gradientului de presiune are un suport real. Ca atare relația (69) permite stabilirea cu exactitate a pierderilor de presiune cauzate de frecarea curbei cu peretii conductei orizontale cu secțiune circulară și se impune pentru a fi utilizată în calculul instalațiilor de transport pneumatic.

13. Pierderile de presiune totale, la transportul nutrețurilor concentrate măcinate în conductă orizontală cu secțiune circulară, după determinările experimentale ale autorului, cresc o dată cu creșterea lungimii conductei de transport. Această creștere este mai accentuată pe primii metri după secțiunea de alimentare, pentru ca în zonele mișcării stabilizate să aibă tendința de a se uniformiza. În această zonă, variația lor este aproximativ liniară, cu creșterea lungimii conductei.

14. Autorul a stabilit în baza cercetărilor experimentale, că pierderile de presiune totale la transportul pneumatic al nutrețurilor concentrate măcinate, în conductă orizontală, cu secțiune circulară, cresc liniar cu creșterea debitului de material. Această dependență liniară este valabilă pentru domeniul în care au fost efectuate încercările.

15. Pierderile specifice de presiune la transportul pneumatic al nutrețurilor concentrate măcinate, în conductă orizontală cu secțiune circulară, după datele experimentale ale autorului, cresc o dată cu creșterea debitului de material.

Astfel, pentru valori reduse ale vitezei curentului de aer (in general pentru $v_a < 16$ m/s) in conducte de transport au loc depunerile de material.

In acest domeniu pierderile specifice de presiune, scad o dată cu creșterea vitezei curentului de aer, prezintând un minim caracteristic fiecărui debit de alimentare, pentru fiecare material. Acest minim corespunde punctului de consum minim de energie pentru transportul pneumatic al materialului respectiv. La mărirea vitezei aerului peste punctul optim, pierderile specifice de presiune cresc din nou, consumul de putere necesar transportului pneumatic mărinindu-se.

Rezultă că regimul rational de funcționare, corespunzător vitezei curentului de aer, pentru care pierderile de presiune prezintă un minim sau în domeniul învecinat la dreapta de acest minim.

16. Pentru debitele de alimentare $q_m = 0,4 - 1,2$ kg/s corespunzătoare productivității morilor cu ciocane MC-3 și MC-5 care echipaază fabricile de nutrețuri combine, vitezele optime ale curentului de aer pentru transportul pneumatic al nutrețurilor concentrate măcinate utilizate în cadrul încercărilor pe instalția experimentală, sunt cuprinse în limitele: $v_a = 16,8 - 21$ m/s pentru orz măcinat; $v_a = 16,2 - 20$ m/s pentru șrot de in; $v_a = 16,8 - 20,8$ m/s pentru șrot de soia; $v_a = 15,8 - 19$ m/s pentru șrot de floarea soarelui; $v_a = 15,4 - 18,4$ m/s pentru tărită.

ACESTE VALORI ale vitezei curentului de aer, nu lipesc pînă în prezent în literatura tehnică de specialitate. Astfel se oferă serviciilor de proiectare noi date cu privire la transportul pneumatic al nutrețurilor concentrate măcinate prin conductă orizontală cu secțiuni circulare.

17. Valorile numerice ale vitezei particulelor de material concentrat măcinat și a le coeficientului global de rezistență, calculate cu relațiile (122) și (163) stabilite pe cale teoretică de autor, s-au obținut prin utilizarea calculatorului Felix 3-256. În acest scop autorul a întocmit programele de calcul în limbaj FORTRAN, organigramele acestor programe fiind prezentate în lucrare.

18. În baza soluțiilor numerice oferite de calculator a fost stabilită dependența $v_g = f(v_a)$ pentru diferite debite de

alimentare, corespunzătoare celor șase nutrețuri concentrate măcinante folosite pentru încercările experimentale. Se constată că cu dată cu creșterea vitezei curentului de aer crește și viteză particulelor de material. Dependența liniară $v_{n,af}(v_a)$ stabilită de autor, este valabilă numai în domeniul transportului pneumatic pentru valori ale curentului de aer $v_a = 15,4 - 32$ m/s. În afara acestor valori este posibil ca această lege de variație să nu mai fie respectată și acest lucru mai este pentru $v_a < 15$ m/s, cind în conductă de transport apar depunerile de material. Diagramele traseate de autor pentru această dependență, au importanță practică, intrucât oferă posibilitatea de determinare a vitezei materialului în funcție de viteză curentului de aer în conductă de transport, în mod operativ și cu o precizie satisfăcătoare.

19. Valorile numerice oferite de calculator au permis autorului să stabilisească dependența $\lambda_m = f(Fr_m)$.

Se poate constata că, coeficientul global de rezistență, crește cu micșorarea numărului lui Froude, mai pronunțat decă particulele de material au o suprafață mare. Pentru valori mici ale numărului lui Froude, corespunzătoare limitei de infundare, coeficientul λ_m crește foarte mult.

Folosind o metodă originală, autorul a determinat mărimea coeficientului global de rezistență, pentru fiecare nutreț concentrat măcinat folosit în încercările experimentale, ceea ce reprezintă o contribuție însemnată în studiul transportului pneumatic al acestor materiale, având totodată în vedere că pînă în prezent aceste valori lipseau din literatura de specialitate.

Prin stabilirea acestui coeficient precum și a celorlalte caracteristici ale nutrețurilor concentrate măcinate (granulositate, densitate, coeficient de frecare dinamică) se oferă serviciilor de proiectare date sigure pentru calculul instalațiilor de transport pneumatic al acestor materiale.

20. Cercetările autorului au arătat că, gradul de utilizare a energiei mediului de transport, are valori maxime pentru anumite debite de material, la viteză ale curentului de aer situată în apropierea limitei de infundare a conductei. În încărcări mari cu material η_u se înrăutățește și această

situatie trebuie evitată în exploatarea instalațiilor de transport pneumatic. Desigur, având în vedere că gradul de utilizare a energiei este influențat în mod hotăritor de lungimea conductei, o apreciere reală asupra acestui parametru important se poate face numai în cazuri concrete la instalatii de transport pneumatic unde lungimea conductei este impusă prin tema de proiectare.

Date parțiale din prezentul studiu teoretic și experimental, au fost utilizate la elaborarea lucrării „Cercetări privind stabilirea parametrilor principali ai transportoarelor pneumatice pentru cereale boabe și măcinișuri”, executată, în baza contractului de colaborare cu Institutul de Cercetări pentru mecanizarea agriculturii din București – nr. 8054/1972.

BIBLIOGRAFIE

1. Adam O. - Feststoffbeladene Luftströmung Geschwindigkeit. Chemie Ing. Technic nr. 3/1957
2. Allen R.W. - Transportul pneumatic al făinii în vrac. Mordrit și panificatie CS-I.D.T. nr. 4/1965
3. Arrivo A. - Caratteristiche dei prodotti agricoli in relazione al trasporto pneumatico. Macchine Motori Agr. nr. 4/1971
4. Barth W. - Neuere Untersuchungen über die Vorgänge bei der pneumatischen Förderung. Die Mühle Bd. 91/1954
5. Barth W. - Neuer Verfahren zur Bestimmung der augenblicklich geförderte sten Gutmengen im Luftstrom bei pneumatischer Förderung. Chemie Ing. Technic nr. 9/1957
6. Barth W. - Strömungsvorgänge beim Transport von Festteilchen und Flüssigkeitsteilchen in Gasen mit besonderer Berücksichtigung der Vorgänge bei pneumatischer Förderung. Chemie Ing. Technic nr. 3/1958
7. Barth W. - Physikalische und wirtschaftliche Probleme des Transportes von Festteilchen in Flüssig und gasen. Chemie Ing. Technic nr. 3/1960
8. Barth W. - Der Druckverlust bei der Durchströmung von Füllkörperzäulen mit und der Beisechung. Chemie Ing. Technic nr. 31/1960
9. Barth W. - Absetzung Transport und wiederanwendung von staubförderungem Gut im Luftstrom. Chemie Ing. Technic nr. 3/1963
10. Bîngășan A. - Încercarea mașinilor hidraulice și pneumatice. Editura Tehnică, Bucuresti, 1959
Anton I., Anton V. Preda I.

11. Bild A.
12. Bode C.
Schultz W.
13. Bohnet M.
14. Brownstein B.I.
15. Busvici A.
16. Behrke H.
17. Bulet A.
18. Chand P.
Ghosh D.P.
19. Chand P.
Ghosh D.P.
20. Clark R.
Richardson I.
- Pneumatika doprava II. Studijní podkladí Z.V.V.Z. Milovice, 1962
 - Untersuchungen über den Schwerkrafteinfluss beim horizontalen pneumatischen Transport. Chemie Ing. Technik nr.1/1965
 - Experimentelle und theoretische Untersuchungen über das Abstauben des Aufwibels und den Transport feiner staubteilchen in pneumatischen Förderleitungen. V.D.I. Forschungsheft 507/1965
 - Ocenovi teorii pnevmatichesogo transporta I-II. Jurian tehnikoekhi fiziki nr.1/1953.
 - Fluctuații cîsla ciastă și plottii dispersiuni sistemei. Inginerio-fizicii Jurnal nr.3/1968
 - Elementare Bewegungsvorgänge bei der pneumatischen Förderung in wassergeförderten Leitungen. Chemie Ing. Technic nr.11/1966
 - Instalații de transport pneumatic. Editura Tehnică, București, 1962
 - Critical Analysis of Pressure Drop under Pneumatic Conveyance of soil. Journal of Agric. Engng. Res. nr. 1/1960
 - Dynamics of Particles under Pneumatic Conveyance. Journal of Agric. Engng. Res. nr. 1/1968
 - Pneumatic conveying I. Indust. Engng. Chem. 30/1952

21. Crane J.W.
Conleton W.
22. Descomps E.
Huglo B.
23. Dickinson G.B.
24. Dietrich P.
25. Imitrescu S.
26. Lebber W.
27. Dobrescu P.
28. Degin M.N.
Lebedev I.
29. Dorfman M.H.
30. Dniednio A.N.
31. Dniednio A.N.
Kemmer A.S.
- Predicting Pressure Drop in Pneumatic Conveying of Grains. Agricultural Engineering nr.3/1957
 - Instalații pneumatice de transport pentru produse în vrac. Biblioteca I.D.T. - D-03376
 - Instalații de transport pneumatic în mori. Morărit și panificație CS-IDT nr.1/1964
 - Silo für kunststofffüllver. Chemie Ing. Technik nr.2/1959
 - Posibilitățile de îmbinare a cerealelor într-un curent de aer de mare viteză. Morărit și panificație CS-IDT nr.2/1963
 - Transportul pneumatic al prafului de cărbune, betonitei și nisipului quartes. Biblioteca I.D.T. D-66025
 - Realizări în transportul pneumatic. Biblioteca I.D.T. B-233767
 - Dependence of resistance in pneumatic conveying pipeline on the fundamental parameter of two phase flow. Industr. Engng. Chem 2/1962
 - Transportul pneumatic al cerealelor și ai produselor de prelucrare a acestora. Biblioteca I.D.T. B- 51459
 - R.voprosu o gidrodinamische pnevmatiko-cesskogo transporta. Revestia VUZ „Pisocvaja Tehnologia“ nr.4/1959
 - Pnevmaticheskij transport sernennih produktov o gorizontalnih trubah. Izvestia VUZ „Pisocvaja Tehnologia“ nr.3/1960

32. Dainisică A. N.
Kosmar A. S.
33. Barico T.
34. Paniberg S.
35. Farber L.
36. Flatt J.
37. Ghosh D.P.
38. Gluth E.
39. Golițanu D.
40. Godman R.G.
Pinnel A.I.
41. Gurvit A.A.
- Pneumaticeskil transport na sernoperepebivaiuscih pre- priatich. Izdatelstvo „Kolos“ Moskva, 1967
 - Transportul pneumatic. Transpor- ti industriali nr.12/1969
 - Instalație pneumatică pentru transportul deșeuriilor. Morărit și panificatie CS-I.D.T. nr.12/1967
 - Flow characteristics of solid gas mixture in a horizontal and ver- tical conduct. Industr.Engng.Chem. nr.41/1949
 - Aerul ca element de transport. Mo- rărit și panificatie. CS-I.D.T. nr.5/1965
 - Pressure drops due to solids. Around. Horizontal Elbow Bend during Pneumatic Conveyance. Journal Agri- c. Eng. Res. nr.2/1970
 - Untersuchungen zur wirtschaftliche Förderung. V.D.I. Forschungsheft nr.544/1971
 - Material documentar privind calculul și proiectarea instalațiilor de transport pneumatic. Biblioteca Academiei-III- 51Mod/1966
 - Automatizarea transportului pne- umatic. Mecanizare și automati- zare- CS- I.D.T. nr.12/1961
 - K voprosu o dvijenije tvorboi obor- titi v potoku gase. Investitie VUZ „Anergetika“ nr.8/1963

42. Hlebnov N.M.
- Opyredelenie optimalki dlini truboserno-pulta i skorosti tel v nakhlonom potoku. Traktori i selkhozmasinu nr.2/1959
43. Hudakov G.J.
- O dvijenii tverdih ciastic v gazovoci. Izvestia AN. SSSR-OTS nr.7/1955
44. Ignatovski N.P.
- Caracteristice aerodinamicki a bombelor sparte si a fiamii de fata. Merkuri si purificatie. CS - I.C.P. nr.3/1963
45. Juharov R.A.
- Experimentalnoe issledovanie karaktera dvijenija ciastic o truboprovodah transporta. Injinerino fiziceskii jurnal nr.2/1959
46. Juharov R.A.
- Izmerenie skorosti dvijenija ciastic spalivih materialov v truboprovodah pnevmaticheskogo transporta. Injinesrno fiziceskii jurnal nr.1/1959
47. Kalininskia N.P.
- Pnevmaticheskiy transport v stroitelstve. Gostroizdat Moscow, 1961
48. Kamyk R.
- Theoretische und experimentelle Untersuchungen an wurfgeblässen. V.D.I. Forschungsbericht, 436/1970
49. Kaspov A.I.
- Experimentalnoe issledovanie skorosti ciastici i soprotivlenii pri pustotnom transporde. Izvestia VIZ „Inzergenie“ nr.3/1961
50. Komarov A.S.
Dokladnie N.A.
- Kinetika dlia rassita truboprovodov gerizontalinogo pnevmaticheskogo transporde. Izvestia VIZ „Pissovaiia Tekhnologie“ nr.3/1962
51. Komarov A.S.
Dokladnie N.A.
- Analiza energospososti gerizontalinogo pnevmaticheskogo transporde. Izvestia VIZ „Pissovaiia Tekhnologie“ nr.4/1962
52. Komarov A.S.
Dokladnie N.A.
- Razosit skorosti vitazia v svobodnih i starnenih usloviah. Izvestia VIZ „Pissovaiia Tekhnologie“ nr.5/1962

53. Kommer A.S.
- Posibilitatea de reducere a consumului de energie în mărlile cu transport pneumatic. Monografie și publicație CS - I.D.T. nr.12/1963
54. Kikunaga Sh.
- Research on the pneumatic Conveyance of Densely Concentrated solid Particles in a Horizontal Pipe. Bulletin of J.S.M.E. nr.24/1963
55. Kikunaga Sh.
Utsunomiya R.
Sakai K.
- On the Pressure Drop andugging Limit in the Horizontal Pneumatic Conveyance Pipe. Bulletin of J.S.M.E. nr.52/1965
56. Kočinba K.
- Prispevok k praktike svedeniam o obilniho arna I-II. Zemedeleska Technika nr.4 și 5/1962
57. Kriegel E.
- Procedee de transport hidraulic al materialelor solide cu granule mici. Transport intern unical CS-I.D.T. nr.3/1969
58. Kusmin B.
- Povestire privind posibilitatea preluării transportatorii. Mechanizatia și electric. selh-hos. nr.5/1966
59. Lappe H.
- Transportarea pneumatică pentru boabe în agricultură. Mehanizarea agricolă CS- I.D.T. nr.2/1966
60. Lehmann W.
- Pozierea unei instalații pneumatică de aspirație în etajerie. Biblioteca I.D.T. D-95129
61. Lempp H.
- Physikalische und wirtschaftliche Probleme der pneumatischen Förderung und Fördermittel nr.1/1961
62. Lipert A.
- Die Staub-Luft-Förderung von Pulvern und Schüttgütern mit hohen Konzentrationen im Gasstrom-Ein neuer Fördervergang. Experimentelle und theoretische untersuchung. Dissertation Techn. Hochschule Karlsruhe, 1965

63. Lipov I.
Pateev N.
64. Makuch P.
65. Malakauskas N.
66. Mateescu C.
67. Minagou R.
68. Modiga M.
Dănilă I.
Ionescu N.
Pîrcaru L.
69. Modiga M.
Dănilă I.
Ionescu N.
Pîrcaru L.
70. Montarov E.
71. Morev N.E.
72. Müller H.
73. Muschallmeister E.
- Transportul pneumatic. Tractoare și mașini agricole nr.11/1961
 - Rentabilitatea transportului pneumatic al produselor intermedii de măinare. Normări și punificare. CS- I.D.T. nr. 12/1963
 - Transportare pneumatică. Tractoare și mașini agricole nr.9/1962
 - Hidraulica. Editura Didactică și Pedagogică, București, 1965
 - Instalații de transport pneumatic în industrie și agricultură. Biblioteca Academiei D-III-382720
 - Cometrii asupra transportului pneumatic al semințelor în conducte de lungime mică dispuse vertical. „Studii și cercetări de mecanică agricolă” nr.4/1970
 - Studii privind alizarea pneumatică cu semințe a selectorului SU-4. Caiet selectiv cu lucrări de colaborare cu producție - I.P.T. - 1970
 - Elaborarea unei teorii asupra transportului pneumatic. Transport intern și depozitare. CS- I.D.T. nr.10/1968
 - Calculul conductelor de fântă la instalațiile de transport pneumatic. Normări și punificare C.S. - I.D.T. nr.3/1963
 - Untersuchungen über den pneumatischen Transport von Feinstaub in einer horizontalen Förderleitung. Dissertation Techn. Hochschule Karlsruhe, 1957
 - Theoretische und experimentelle Untersuchungen über die Druckverluste pneumatischer Förderleitungen. V.D.I. Forschungsaussch., #76/1959

74. Muschelklaus S. - Vereinfachte Berechnung horizontaler pneumatischer Förderleitungen bei hoher Gutfüllendung mit feinkörnigen Produkten. Chemie Ing. Technik nr.2/1959.
75. Müller W. - Formule de securitate ale transportului pneumatic. Transport intern usinat CB-I.D.T. nr.8/1967
76. Niccolardi A. - Transportul hidraulic și transportul pneumatic. Biblioteca I.D.T.-D - 95129
77. Papai L. - Examination of the starting section in pneumatic grain conveying. Acta Technica - Tom XIV/1955
78. Pottschayus G.A. - Pneumatic Conveying. Acta-Tehnica, Tom VIII/1954
79. Pavlis M. Flischi V. - Calculile de bază ale transportului pneumatic. Biblioteca I.D.T.- D - 78967
80. Pawlak J. - Diametral cel mai economic al condutelor folosite la transportul pneumatic. Morărit și panificație 12/1951.
81. Popescu Is. - Transportul produselor cu presiune de aer. Morărit și panificație - CB-I.D.T. nr.7/1964
82. Pălcăinteanu I.T. - Teoria exacerelor de măsurare și metodele celor mai noi filtre. Editura Tehnică, București, 1958.
83. Prajek V. - Pneumatische deportva. Učebníkem vysokých škol ČSFL-Praga, 1961
84. Raman N. - Statistica matematică cu aplicații în producție. Editura Academiei, București, 1963
85. Rausch W. - Untersuchung über die pneumatische Dichtstoffförderung. Flöten u Heber nr.12/1955

86. Richardson S.P. - Pneumatic Conveying of Solid velocities and pressure gradient in one inch horizontal Pipe. Industr. Chem. Engng. vol. 38/1960
87. Rîck Parid - Pneumatische Förderung von Kunststoffgranulaten in horizontalen Schleifungen unter Berücksichtigung des Gewichtseinflusses in zusammenhang mit Gut- und Rohrwerkstoffeigenschaften in abwechselndem optimalen Förderbereich. Dissertation Tech. Hochschule Kaiserslautern, 1973
88. Rîbă P. - Instalații pneumatice de ridicare și transport. Transport intern uzinel. CS - I.D.T. nr.4/1967
89. Seiba S.E. - Cîntărilecnicie aspectivionia pri turbulentem dvijenii tomoedisperzrah aeromassei. Inginerse Finisceskii Jurnal Tom XIV nr.4/1968
90. Seiba S.E. - Oprendelenie criticeekot secresti vav-sesmusccego potch. Inginerse Finisceskii Jurnal Tom IVLII nr.5/1970
91. Schröter A. - Instalații moderne de transport pneumatic intr-o uzină de ingrășaminte chimice Transport intern uzinel CS-IMP nr.6/967
92. Schuchert P. - Widerstandsgesetze für den Feststofftransport in gewundenen Rahmen und Schlaufen. Dissertation Tech. Universität Berlin, 1968
93. Schuchert P. - Widerstandsgesetze für den hydraulischen und pneumatischen Feststofftransport in waagerechten geraden Röhren. Chemie Ing. Tech. nr.23/1969
94. Segler G. - Pneumatičeskie transporata sarma. Seljkoce hosenistvo za rubejom nr.3/1959

95. Siegal N.
- Experimentelle Untersuchungen zur pneumatischen Förderung körniger Stoffe in waagerechten Rohren und Überprüfung der Abhängigkeitsgesetze. N.D.I. Festschrift 538/1970
96. Skrzivna Z.
- Transportor cu aspirare regula de portu cereale. Matriu si panificatie CS = I.D.T. 11/1966
97. Smith Y.M.
Mabita M.C.
- Pressure drop in Solid flow sistem. Industr. Ingng. Chem. nr. 49/1957
98. Smoldinov A.E.
- O deljenii aeromasa v trubah. Investicija AM = SSSR ODN nr. 9/1957
99. Smoldinov A.E.
- Truboprovodni transport. Geogorodnij - Moscow - 1961
100. Selioviev M.I.
- Chladjenie zerna pri pnevmatoprevoze v horizontalnich truboprovode. Investicija VUB "Pisecovaja Tekhnologija" nr. 6/1963
101. Selioviev M.I.
- K voprosu vysasivaniia i transportirovaniia sennistogo materiala v horizontalnom truboprovode. Inzhinskoe Pisecenii jurnal nr. 10/1964
102. Stannard B.
- Theoretical analysis of pneumatic Conveying. Industr. Ingng. Chem. nr. 39/1961
103. Stepanov N.V.
- Ustroistvo dlia pnevmaticheskogo transportirovaniia sennistogo materialov. Mehanika tred. i tiazelih robot nr. 7/1957
104. Thorley B.
- An analysis of Air and Solid Flow in a Spouted Wheat Bed. The Canadian Journal of Chemical Eng. nr. 3/1959
105. Todes G.N.
- Metodi i protsessi himiceskoi tekhnologii. sb. AM=5332-1965
106. Train D.
Lewis C.J.
- Agglomeration of solids by Compaction. Industr. Chem. Ing. nr. 48/1962

107. Treibalmann G. - Transportul pneumatic in întreprinderile din industria de prelucrare a lemnului. Biblioteca Academiei - II - 328922/1955-III 37892a/1958
108. Turcoac P. - Calculul transportului pneumatic al produselor intermedii în masă de gru. Mortarit și panificatie CS- I.D.T. nr. 9/1962
109. Urechean T. - Pressure Loss in the Pneumatic Conveyance of Granular Solids. Buletin of JSME nr.7/1960
110. Urechean T.
Morihara Y. - Druckverluste in Masse einer ungesiebten Förderung von Körnigen Gütern. Buletin of JSME nr.12/1960
111. Urechean T. - Die experimentelle Untersuchung über die Teilchenbewegung und über die Geschwindigkeitsverteilung des Förderluft in einer pneumatischen Förderleitung. Buletin of JSME nr.15/1961
112. Urechean T. - Pneumatische Förderung in letzterer Rohrleitung. Buletin of JSME nr.30/1965
113. Urban I. - Pneumatická doprava. SNTL-SVTL-Práha, 1954.
114. Usenckij V.A. - Pnevmaticheskij transport. Metalurgizdat Sverdlovsk, 1959
115. Vacca A. - Rychlosť ciastic pri pneumatickej doprave I. Teoretické rezultáty. Zemedelska Technika nr.10/1965
116. Vacca A. - Rychlosť ciastic pri pneumatickej doprave II - Experimentálne výsledky. Zemedelska Technika nr.5/1966.
117. Vacca A. - Cestovnosť súčinitov pri pneumatickej doprave. Zemedelska Technika nr. 5/1967

118. Yerush A. - A Contribution to the Theory of impeller-blenders - kinematics of the Conveying Process. Zemodesta Technika nr. 5/1960
119. Wurthing I. - Prelucrarea datelor experimentale. Editura Tehnică, Bucureşti, 1959
120. Weigmann D. - Omogenizarea pneumatică a substanțelor pulvarelente. Biblioteca IDT - D - 96792
121. Weidner G. - Grundtümliche Untersuchung über den pneumatischen Fördervorgang insbesondere über die Verhältnisse bei Beschleunigung und Umlenkung. Forschung aus dem Gebiete Ing.nr. 5/1955
122. Welscher G. - Pneumaticenii transport na predpriatia piasevoi premislenosti. Piscesrimind dnu ML - 1960
123. Welscher G. - Pneumatische Förderung bei grossen Flugdurchmesserzentrationen. VDI Forschungsheft nr. 492/1962
124. Zane P.A. - Convayability of materials of mixed particle size. Engng.Chem.Pand.nr. 3/954
125. Zanev P.G. - Inlectovanie procesa pnevmaticheskogo transportirovaniia metodom piasevistotnoi minuscianki. Investia Vuz „Pnevmaticheskaya Tekhnologiya“ nr. 4/1960
126. x ³ x - Transportarea pneumatică pentru cereale. Biblioteca IDT - B - 57519
127. x ³ x - Transportarea pneumatică. Calculul, cimitrare și funcționarea. Biblioteca IDT - B - 1376
128. x ³ x - Transportul pneumatic în nerile agricole. Biblioteca IDT - B - 26342
129. x ³ x - Instalațiile pneumatice de transport în industrie și agricultură. Biblioteca IDT - C - 6299

130. x x x - Realizări în transportul pneumatic din industrie și agricultură. Biblioteca IDR-B - 61374
131. x x x - Procedee moderne de transport, depozitare și păstrare a flinii. Biblioteca I.D.T. - B - 52616
132. x x x - Transportul pneumatic al produselor de măcinare a cerealelor în mori. Biblioteca I.D.T. - B - 25492
133. x x x - Capacitatea și proporția de amestec între o conductă de transport pneumatic la o întreprindere de furaje combinate. Morărit și panificatie CS- I.D.T. nr.4/1968

2.5.3. Influența diametrului conductei de transport D, asupra coeficientului λ_2	36
2.6. Ecouația generală a pierderilor de presiune, în conducte de transport orizontală	36
2.7. Concluzii.	37
PARTEA II-a. CONTRIBUȚII TEORETICE PRIVIND PIERDERE- LE DE PRESIUNE LA TRANSPORTUL PNEUMATIC AL NUTRE- RILOR CONCENTRATE MACINATE, ÎN CONDUCTE ORIZONTALE CU SECȚIUNE CIRCULARĂ.	40
CAPITOLUL 1. DETERMINAREA PIERDERILOR DE PRESIUNE ÎN CONDUCTA DE TRANSPORT ORIZONTALĂ, CU SECȚIUNE CIRCULARĂ.	41
1.1. Determinarea pierderilor de presiune produse de frecarea aerului cu peretele conductei.	43
1.2. Determinarea pierderilor de presiune produse de frecarea și cicoanirea particulelor de nu- trez concentrat măcinat, cu peretele conductei.	46
1.3. Determinarea pierderilor de presiune produse de cicoanirea între particulele de nutrezi măci- nat concentrat, în conductă de transport pneu- matic.	54
CAPITOLUL 2. CONTRIBUȚII TEORETICE PRIVIND DETERMI- NAREA VITESII PARTICULILOR DE NUTREZ CONCENTRAT MA- CINAT, ÎN CONDIȚIILE TRANSPORTULUI PNEUMATIC, ÎN CONDUCTE ORIZONTALE CU SECȚIUNE CIRCULARĂ.	60
CAPITOLUL 3. CONTRIBUȚII TEORETICE PRIVIND DETER- MINAREA GRADULUI DE UTILIZARE A ENERGIEI, ÎN CON- DIȚIILE TRANSPORTULUI PNEUMATIC AL NUTREURILOR CONCENTRATE MACINATE, ÎNTR-O CONDUCTĂ ORIZONTALĂ CU SECȚIUNE CIRCULARĂ.	64
CONCLUZII.	65
PARTEA III-a. CONTRIBUȚII EXPERIMENTALE PRIVIND STABILIREA REGIMULUI OPTIM DE TRANSPORT PNEUMATIC AL NUTREURILOR CONCENTRATE MACINATE, ÎN CONDUCTE ORIZONTALE CU SECȚIUNE CIRCULARĂ.	

	pag.
CAPITOLUL 1. INSTALATIA EXPERIMENTALA	66
CAPITOLUL 2. METODICA INCERCARILOR	74
2.1. Determinarea granulositatii nutreturilor . . .	74
2.2. Determinarea densitatii nutreturilor concentrete macinate, utilizate pentru incercarile experimentale	77
2.3. Determinarea coeficientului de frecare al nutreturilor concentrate macinate utilizate pentru incercarile experimentale	81
2.4. Determinarea debitului dozatorului de alimentare a conductei de transport	95
2.5. Determinarea profilului vitezei curentului de aer in conducta cu sectiune circulara	97
2.6. Determinarea pierderilor de presiune in conducta de transport pneumatic	99
2.6.1. Determinarea pierderilor de presiune datorita frecarii aerului cu peretele conductei . .	100
2.6.2. Influenta diametrului conductei D, asupra pierderilor specifice de presiune datorita curentului de aer	102
2.6.3. Determinarea pierderilor totale de presiune, in conducta orizontală cu sectiune circulară	104
2.6.4. Influenta lunginii conductei de transport, asupra pierderilor de presiune totale	106
2.6.5. Influenta debitului de materiel asupra pierderilor totale de presiune	122
2.6.6. Influenta vitezei curentului de aer, asupra pierderilor specifice de presiune	126
2.6.7. Influenta diametrului conductei de transport asupra pierderilor specifice de presiune . .	130
2.7. Determinarea vitezei particulelor de nutret concentrat macinat, in conducta de transport orizontală cu sectiune circulară	131
2.8. Determinarea coeficientului de rezistență λ_n pentru nutreturile concentrate macinate transportate pneumatic	138

2.9. Influența vitezei curentului de aer v_a , asupra gradului de utilizare a energiei η_{m}	143
CONCLIZII GENERALE	145
BIBLIOGRAFIE	152
CUPRINSUL	166